

ระบบป้องกันข้อมูลภาพดิจิทัล
DIGITAL IMAGE WATERMARKING



เลขหมู่.....
เลขทะเบียน... 46536
วัน, เดือน, ปี... 4 เม.ย. 2546

b.....
i.....

ปริญญานิพนธ์เป็นส่วนหนึ่งของการศึกษาตามหลักสูตรปริญญาอุตสาหกรรมศาสตรบัณฑิต
สาขาเทคโนโลยีอิเล็กทรอนิกส์ ภาควิชาวิศวกรรมสารสนเทศ
คณะวิศวกรรมศาสตร์
สถาบันเทคโนโลยีพระจอมเกล้าเจ้าคุณทหารลาดกระบัง
ปีการศึกษา 2544

เอกสารนี้เป็นเอกสารที่สงวนไว้สำหรับการใช้งานเพื่อการศึกษาเท่านั้น ไม่อนุญาตให้นำไปใช้ประโยชน์ด้านการค้า
ไม่ว่ากรณีใดๆ ทั้งสิ้น อีกทั้งห้ามมิให้ตัดแปลงเนื้อหา และต้องอ้างอิงถึงเจ้าของเอกสารทุกครั้งที่มีการนำไปใช้

DIGITAL IMAGE WATERMARKING

Mr.KAJOHNSAK WORAPOJPHANOMKORN
Mr.PICHET SANSUDSAWAD

A THESIS SUBMITTED IN PARTIAL FULFILLMET
OF THE REQUIREMENT FOR FOR THE DEGREE OF
BACHELOR OF THE TECHNOLOGY ELECTRONIC
DEPARTMENT OF INFORMATION ENGINEERING
FACULTY OF ENGINEERING
KING MONGKUT'S INSTITUTE OF TECHNOLOGY LADKRABANG

2001

เอกสารนี้เป็นเอกสารที่สงวนไว้สำหรับการใช้งานเพื่อการศึกษาเท่านั้น ไม่อนุญาตให้นำไปใช้ประโยชน์ด้านการค้า
ไม่ว่ากรณีใดๆ ทั้งสิ้น อีกทั้งห้ามมิให้ตัดแปลงเนื้อหา และต้องอ้างอิงถึงเจ้าของเอกสารทุกครั้งที่มีการนำไปใช้

หัวข้อวิทยานิพนธ์

ระบบป้องกันข้อมูลภาพดิจิทัล

DIGITAL IMAGE WATERMARKING

นักศึกษา

นาย ขจรศักดิ์ วรพจน์พนมกร รหัสประจำตัว 43015715

นาย พิเชษฐ์ แสนสุขสวัสดิ์ รหัสประจำตัว 43015738

อาจารย์ผู้ควบคุมวิทยานิพนธ์

ผศ. ดร อรรถสิทธิ์ หล้าสกุล

ระดับการศึกษา

ปริญญาอุตสาหกรรมศาสตรบัณฑิต

สาขาวิชาเทคโนโลยีอิเล็กทรอนิกส์

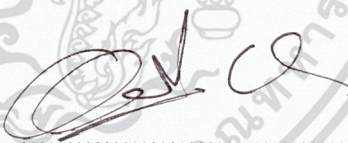
ภาควิชา

วิศวกรรมสารสนเทศ

ปีการศึกษา

2544

คณะวิศวกรรมศาสตร์ สถาบันเทคโนโลยีพระจอมเกล้าเจ้าคุณลาดกระบังอนุมัติให้
นับวิทยานิพนธ์ฉบับนี้เป็นส่วนหนึ่งของการศึกษาตามหลักสูตรอุตสาหกรรมศาสตรบัณฑิต



(ผศ. ดร อรรถสิทธิ์ หล้าสกุล)

อาจารย์ผู้ควบคุมวิทยานิพนธ์

ลิขสิทธิ์ของคณะวิศวกรรมศาสตร์

สถาบันเทคโนโลยีพระจอมเกล้าเจ้าคุณลาดกระบัง

เอกสารนี้เป็นเอกสารที่สงวนไว้สำหรับการใช้งานเพื่อการศึกษาเท่านั้น ไม่อนุญาตให้นำไปใช้ประโยชน์ด้านการค้า
ไม่ว่ากรณีใดๆ ทั้งสิ้น อีกทั้งห้ามมิให้คัดแปลงเนื้อหา และต้องอ้างอิงถึงเจ้าของเอกสารทุกครั้งที่มีการนำไปใช้

หัวข้อปริญญานิพนธ์

ระบบป้องกันข้อมูลภาพดิจิทัล
Digital Image Watermarking

นักศึกษา

นายขจรศักดิ์ วรพจน์พนมกร รหัสประจำตัว 43015715
นายพิเชษฐ์ แสนสุคตสวัสดิ์ รหัสประจำตัว 43015738

อาจารย์ที่ปรึกษา

ผศ.ดร. อรรถสิทธิ์ หล้าสกุล

ภาควิชา

วิศวกรรมสารสนเทศ

ปีการศึกษา

2544



ปัจจุบันระบบป้องกันข้อมูลระบบดิจิทัล เช่น ภาพ เสียง และเอกสารอื่น ๆ นับได้ว่าการพัฒนาไปเป็นอย่างมาก ระบบนี้นอกจากการป้องกันข้อมูลแล้วยังสามารถนำไปประยุกต์ใช้ในการติดตามข้อมูลในเครือข่ายได้อีกด้วย และนับวันจะมีการหาเทคนิคที่ดีขึ้นเรื่อย ๆ และมีการพัฒนาถึงวิธีการทำลายระบบด้วยเช่นกันจากกลุ่มตรงข้าม ในงานปริญญานิพนธ์ฉบับนี้ จะได้เริ่มศึกษาถึงเทคนิคและคุณสมบัติต่าง ๆ ที่ควรจะต้องรู้เบื้องต้นของระบบดังกล่าวก่อน เช่น การใส่สัญญาณลงในข้อมูลภาพดิจิทัลและการถอดสัญญาณออกจากข้อมูลภาพดิจิทัล เป็นต้น

เอกสารนี้เป็นเอกสารที่สงวนไว้สำหรับการใช้งานเพื่อการศึกษาเท่านั้น ไม่อนุญาตให้นำไปใช้ประโยชน์ด้านการค้า ไม่ว่าจะกรณีใดๆ ทั้งสิ้น อีกทั้งห้ามมิให้คัดแปลงเนื้อหา และต้องอ้างอิงถึงเจ้าของเอกสารทุกครั้งที่มีการนำไปใช้

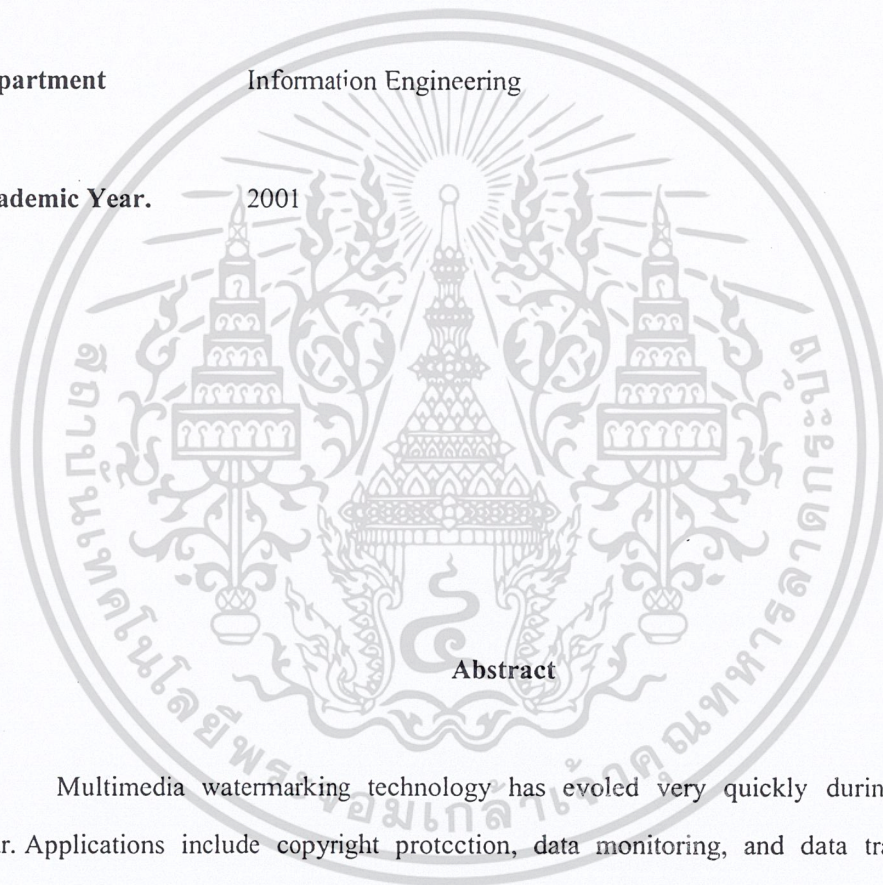
Thesis Title. Digital Image Watermarking.

Student. Mr.Kajohnsak Worapojphanomkorn ID 43015715
Mr.Pichet Sansudsawad ID 43015738

Advisor. Assit.Prof.Dr.Attasit Lasakul

Department Information Engineering

Academic Year. 2001



Abstract

Multimedia watermarking technology has evolved very quickly during the last few year. Applications include copyright protection, data monitoring, and data tracking. At the first semester, the characteristics and many methods of pervious research are investigated then in the second semester the new method of digital watermarking will be proposed. Following the robustness of the proposed methods also will be presented to show the performance.

เอกสารนี้เป็นเอกสารที่สงวนไว้สำหรับการใช้งานเพื่อการศึกษาเท่านั้น ไม่อนุญาตให้นำไปใช้ประโยชน์ด้านการค้า
ไม่ว่ากรณีใดๆ ทั้งสิ้น อีกทั้งห้ามมิให้ตัดแปลงเนื้อหา และต้องอ้างอิงถึงเจ้าของเอกสารทุกครั้งที่มีการนำไปใช้

กิตติกรรมประกาศ

การที่ปริญญาบัตรฉบับนี้สำเร็จได้ ก็เนื่องจากความช่วยเหลือและคำแนะนำจากท่าน ผศ.ดร.อรรถสิทธิ์ หล้าสกุล ที่ได้ให้คำแนะนำในการแก้ปัญหาต่าง ๆ ที่พบในการทำโครงการ ตลอดจนเป็นที่ปรึกษาและชี้แนะแนวทางที่มีประโยชน์เป็นอย่างสูงในการทำปริญญาบัตรและโครงการนี้

หากไม่มีท่าน ผศ.ดร.อรรถสิทธิ์ หล้าสกุล แล้วปริญญาบัตรฉบับนี้อาจจะไม่สามารถจัดทำขึ้นมาได้ หรืออาจไม่สมบูรณ์เท่าที่ควร



คณะผู้จัดทำปริญญาบัตร

เอกสารนี้เป็นเอกสารที่สงวนไว้สำหรับการใช้งานเพื่อการศึกษาเท่านั้น ไม่อนุญาตให้นำไปใช้ประโยชน์ด้านการค้า ไม่ว่ากรณีใดๆ ทั้งสิ้น อีกทั้งห้ามมิให้ตัดแปลงเนื้อหา และต้องอ้างอิงถึงเจ้าของเอกสารทุกครั้งที่มีการนำไปใช้

สารบัญ

	หน้า
บทคัดย่อภาษาไทย	ก
บทคัดย่อภาษาอังกฤษ	ข
กิตติกรรมประกาศ	ค
สารบัญ	ง
สารบัญรูปภาพ	ฉ
สารบัญตาราง	ณ
บทที่ 1 บทนำ	1
1.1 ที่มาของโครงการ	1
1.2 จุดประสงค์	1
บทที่ 2 พื้นฐานการประมวลผลภาพดิจิทัล	3
2.1 ลักษณะของเพิ่มข้อมูลภาพดิจิทัล	3
2.2 วิธีการในสเปาเรียลโดเมน	4
บทที่ 3 พื้นฐานของภาพ	9
3.1 โมเดลภาพ	9
3.2 การสุ่มตัวอย่าง (Sampling) และการควอนไทซ์	10
บทที่ 4 การแปลงฟูรีเยอร์และการแปลงฟูรีเยอร์ผกผันของภาพ	13
4.1 การแปลงฟูรีเยอร์เต็มหน่วย	13
4.2 การแปลงฟาสฟูรีเยอร์	15
4.3 การแปลงฟูรีเยอร์ผกผัน	18
4.4 การย้ายตำแหน่งจุดศูนย์กลางของผลการแปลงฟูรีเยอร์เต็มหน่วย	18
บทที่ 5 การประมวลผลสัญญาณ	21
5.1 กระบวนการในโดเมนความถี่	21
5.2 ตัวกรอง 2 มิติ (Filter)	23
5.2.1 ตัวกรองผ่านความถี่ต่ำ (Lowpass Filter)	23
5.2.2 ตัวกรองผ่านความถี่สูง (Highpass Filter)	26
5.2.3 ตัวกรองผ่านช่วงความถี่อุดมคติ	29

เอกสารนี้เป็นเอกสารที่สงวนไว้สำหรับการใช้งานเพื่อการศึกษาเท่านั้น ไม่อนุญาตให้นำไปใช้ประโยชน์ด้านการค้า
ไม่ว่ากรณีใดๆ ทั้งสิ้น อีกทั้งห้ามมิให้คัดแปลงเนื้อหา และต้องอ้างอิงถึงเจ้าของเอกสารทุกครั้งที่มีการนำไปใช้

	หน้า
5.2.4 ตัวกรองหุคช่วงความถี่อุดมคติ	29
5.3 การกรองภาพระดับสี่เทา	30
บทที่ 6 การเลือกช่วงที่เหมาะสมใน 2-D DFT DOMAIN	32
บทที่ 7 การทดลองใส่และถอดค่าน้ำในรูปแบบของ FREQUENCY DOMAIN	38
ผลการทดลองครั้งแรก	42
ผลการทดลองครั้งสอง	46
บทที่ 8 สรุปและแนวทางการพัฒนา	51
บรรณานุกรม	53
ภาคผนวก	
โปรแกรมการใส่และถอดค่าน้ำ	54



สารบัญรูปภาพ

รูปที่	หน้า
1.1a แสดงกระดาศที่จะทำการใส่ลายน้ำ	1
1.1b แสดงเครื่องพิมพ์ลายน้ำ	1
1.2 แสดงบัตรเครดิตซึ่งสามารถที่จะใส่บาร์โค้ดหรือตัวเลขลงไป	2
1.3 แสดงป้ายทะเบียนรถซึ่งสามารถที่จะใส่สัญลักษณ์หรือบาร์โค้ดลงไป	2
1.4 แสดงการใส่ลายเส้นลงไปบนแผ่น CD-ROM	2
2.1.1 เมตริกซ์ของรูปขนาด 256×256	3
2.1.2 lena.tiff	4
2.2.2 แสดงลักษณะของฟังก์ชันการแปลงค่าระดับสีเทาโดยกระทำกับจุด ๆ เดียวใน 1 ครั้ง	5
2.2.3 แสดงหน้ากากคอนโวลูชันขนาด 3×3	6
2.2.4 แสดงจุดข้างเคียงต่าง ๆ ในบริเวณเมตริกซ์ขนาด 3×3 ของภาพต้นแบบ	6
2.6 การขาดจุดข้างเคียงในบริเวณของการทำคอนโวลูชันในบริเวณกรอบภาพ	8
3.1 แสดงผลของ N ที่มีผลต่อคุณภาพของภาพ	12
4.1 การซ้ำคาบของผลการแปลงฟูรีเยอร์เต็มหน่วย	19
4.2 แสดงการย้ายจุดกำเนิดเพื่อความสะดวกในการมอง	19
5.1ก แสดงการจัดการของระบบเชิงเส้น เอาท์พุทของระบบเป็นการประสาน $h(x,y)$ กับอินพุท	22
5.1ข เอาท์พุทเป็นผลคูณของ $H(u,v)$ กับอินพุท	22
5.2a แสดงตัวกรองผ่านความถี่สูงอุดมคติแสดงรูป 3 มิติ	25
5.2b แสดงภาพตัดขวาง	25
5.3ก แสดงบัตเตอร์เวิร์ด Lowpass Filter แสดงรูป 3 มิติ	26
5.3ข แสดงภาพตัดขวาง	26
5.4ก แสดงตัวกรองผ่านความถี่สูงอุดมคติแสดงรูป 3 มิติ	27
5.4ข แสดงภาพตัดขวาง	27
5.5ก แสดงตัวกรองผ่านความถี่สูงแบบบัตเตอร์เวิร์ดแสดงรูป 3 มิติ	28
5.5ข แสดงภาพตัดขวาง	28
5.6 แสดงตัวกรองผ่านช่วงความถี่	29
5.7 แสดงตัวกรองหยาบช่วงความถี่	30

เอกสารนี้เป็นเอกสารที่สงวนลิขสิทธิ์ไว้เพื่อการศึกษาเท่านั้น ไม่อนุญาตให้นำไปใช้ประโยชน์ด้านการค้า
ไม่ว่ากรณีใดๆ ทั้งสิ้น อีกทั้งห้ามมิให้ตัดแปลงเนื้อหา และต้องอ้างอิงถึงเจ้าของเอกสารทุกครั้งที่มีการนำไปใช้

รูปที่	หน้า
5.8 แสดงการทำกรรอง	31
6.1 แสดงรูป ORIGINAL	33
6.2 แสดงรูปเมื่อผ่านการ Fourier	33
รูปผลการทดลองการเลือกช่วงความถี่	37
7.1 แสดงภาพ ORIGINAL	38
7.2 WATERMARK ORIGINAL	38
7.3 แสดงการฝัง WATERMARK	40
7.4 แสดงการถอด WATERMARK	41
7.5 แสดงรูป ORIGINAL และรูปลายน้ำ	42
7.6 แสดงให้เห็นถึงความแตกต่างภาพ ORIGINAL กับภาพที่ผ่านการบีบอัดข้อมูลภาพ JPEG 25%	42
7.7 แสดงผลความแตกต่างของลายน้ำที่เกิดจากการบีบอัดภาพ JPEG ที่กระทำการใน FREQUENCY DOMAIN และ SPATIAL DOMAIN	43
7.8 แสดงให้เห็นถึงความแตกต่างภาพ ORIGINAL กับภาพที่ผ่านการทำให้ BLUR	43
7.9 แสดงผลความแตกต่างของลายน้ำที่เกิดจากการทำการ BLUR ที่กระทำการใน FREQUENCY DOMAIN และ SPATIAL DOMAIN	44
7.10 แสดงให้เห็นถึงความแตกต่างภาพ ORIGINAL กับภาพที่ผ่านการ CROPPED, SCALE DOWN และ ROTATED	45
7.11 แสดงผลความแตกต่างของลายน้ำที่เกิดจากการทำการ CROPPED, SCALE DOWN และ ROTATED ที่กระทำการใน FREQUENCY DOMAIN และ SPATIAL DOMAIN	45
7.12 แสดงรูป ORIGINAL และรูปลายน้ำ	46
7.13 แสดงให้เห็นถึงความแตกต่างภาพ ORIGINAL กับภาพที่ผ่านการบีบอัดข้อมูลภาพ JPEG 25%	46
7.14 แสดงผลความแตกต่างของลายน้ำที่เกิดจากการบีบอัดภาพ JPEG ที่กระทำการใน FREQUENCY DOMAIN และ SPATIAL DOMAIN	47
7.15 แสดงให้เห็นถึงความแตกต่างภาพ ORIGINAL กับภาพที่ผ่านการทำให้ BLUR	47
7.16 แสดงผลความแตกต่างของลายน้ำที่เกิดจากการบีบอัดภาพ JPEG ที่กระทำการใน FREQUENCY DOMAIN และ SPATIAL DOMAIN	48

เอกสารนี้เป็นเอกสารที่สงวนไว้สำหรับการใช้งานเพื่อการศึกษาเท่านั้น ไม่อนุญาตให้นำไปใช้ประโยชน์ด้านการค้า ไม่ว่ากรณีใดๆ ทั้งสิ้น อีกทั้งห้ามมิให้ตัดแปลงเนื้อหา และต้องอ้างอิงถึงเจ้าของเอกสารทุกครั้งที่มีการนำไปใช้

รูปที่	หน้า
7.17 แสดงให้เห็นถึงความแตกต่างภาพORIGINALกับภาพที่ผ่านการ CROPPED, SCALE DOWN และ ROTATED	48
7.18 แสดงผลความแตกต่างของสายน้ำที่เกิดจากการทำการ CROPPED, SCALE DOWN และ ROTATED ที่กระทำการใน FREQUENCY DOMAIN และ SPATIAL DOMAIN	49



เอกสารนี้เป็นเอกสารที่สงวนไว้สำหรับการใช้งานเพื่อการศึกษาเท่านั้น ไม่อนุญาตให้นำไปใช้ประโยชน์ด้านการค้า
ไม่ว่ากรณีใดๆ ทั้งสิ้น อีกทั้งห้ามมิให้ตัดแปลงเนื้อหา และต้องอ้างอิงถึงเจ้าของเอกสารทุกครั้งที่มีการนำไปใช้

สารบัญตาราง

ตารางที่	หน้า
3.1 แสดงจำนวนบิตที่ใช้การจัดเก็บที่แปลตามค่า N,m	12
3.2 แสดงจำนวนบิตที่ใช้การจัดเก็บที่แปลตามค่า N,m	12
ตารางค่าผลการทดลองใน Frequency Domain	50
ตารางค่าผลการทดลองใน Spatial Domain	50



เอกสารนี้เป็นเอกสารที่สงวนไว้สำหรับการใช้งานเพื่อการศึกษาเท่านั้น ไม่อนุญาตให้นำไปใช้ประโยชน์ด้านการค้า
ไม่ว่ากรณีใดๆ ทั้งสิ้น อีกทั้งห้ามมิให้ตัดแปลงเนื้อหา และต้องอ้างอิงถึงเจ้าของเอกสารทุกครั้งที่มีการนำไปใช้

บทที่ 1

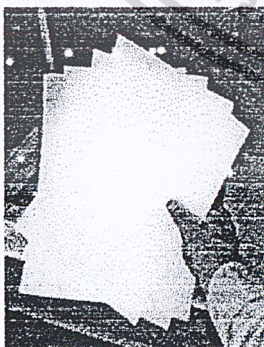
บทนำ

1.1 ที่มาของโครงการ

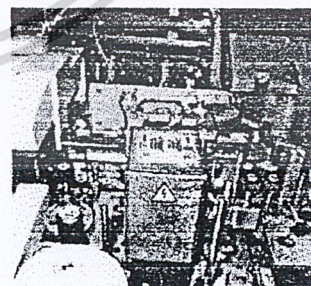
ในปัจจุบันนี้คอมพิวเตอร์เป็นที่นิยมแพร่หลายมากกว่าในอดีต ระบบเครือข่าย Network ก็กว้างขวางมากกว่าแต่ก่อน ท่ามกลางเทคโนโลยีที่ก้าวหน้าไปมากนั้นก็ยังมีผู้ใช้ประโยชน์จากข้อมูลดิจิทัลมากมาย เช่นสั่งซื้อสินค้าทางอินเทอร์เน็ตส่งแผนผังหรือข้อมูลสำคัญที่เป็นภาพ ซึ่งโดยปกติแล้วการที่เราจะ copy ข้อมูลเหล่านี้สามารถทำได้โดยง่าย เพียง copy แบบธรรมดา และยากที่จะทำการป้องกัน ในส่วนนี้จึงได้มีความคิดที่จะทำการป้องกันข้อมูลภาพ ในการทำการซ่อนลายน้ำลงไป ข้อมูลสามารถทำได้หลายวิธี เราได้ศึกษาถึงการทำการซ่อนลายน้ำ ลงไปในข้อมูลภาพดิจิทัลด้วย รูปแบบ DFT Domain

1.2 จุดประสงค์

จุดประสงค์ของโครงการนี้คือ สร้างโปรแกรมป้องกันข้อมูลดิจิทัล นอกจากโปรแกรมที่สร้างขึ้นจะช่วยในการป้องกันข้อมูลแล้วยังสามารถนำไปประยุกต์ใช้ในการติดตามข้อมูลในเครือข่ายได้อีกด้วย ตัวอย่างของการป้องกันข้อมูลดิจิทัลที่มีใช้กันอยู่ในปัจจุบันก็ได้แก่ บัตรเครดิต ป้ายทะเบียนรถยนต์ หรือ CD-ROM



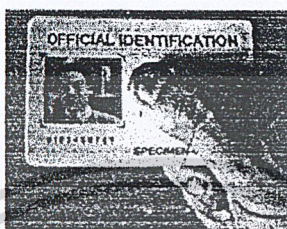
รูปที่ 1.1a แสดงกระดาษที่จะทำการใส่ลายน้ำ



รูปที่ 1.1b แสดงเครื่องพิมพ์ลายน้ำ

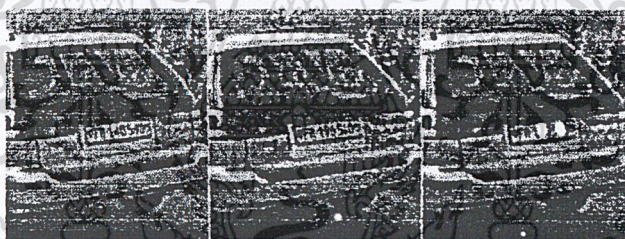
เอกสารนี้เป็นเอกสารที่สงวนไว้สำหรับการใช้งานเพื่อการศึกษาเท่านั้น ไม่อนุญาตให้นำไปใช้ประโยชน์ด้านการค้า ไม่ว่ากรณีใดๆ ทั้งสิ้น อีกทั้งห้ามมิให้ตัดแปลงเนื้อหา และต้องอ้างอิงถึงเจ้าของเอกสารทุกครั้งที่มีการนำไปใช้

ในส่วนที่เป็นรูปภาพเจ้าของของบัตรเครดิตนั้น ก็สามารถใส่ส่วนที่เป็นบาร์โค้ดหรือไม่ก็ตัวเลขลงไป โดยที่จะไม่สามารถมองเห็นได้ด้วยตาเปล่า ผู้ที่ปลอมบัตรเครดิตนั้นก็จะได้ไปเพียงรูปแต่จะไม่สามารถปลอมข้อมูลที่อยู่ภายในรูปได้



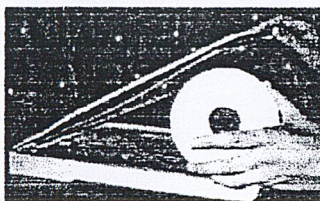
รูปที่ 1.2 แสดงบัตรเครดิตซึ่งสามารถที่จะใส่บาร์โค้ดหรือตัวเลขลงไป

ในส่วนของป้ายทะเบียนรถยนต์ก็มีการใส่สัญลักษณ์หรือบาร์โค้ดลงไป เพื่อให้ยากในการปลอมป้ายทะเบียน



รูปที่ 1.3 แสดงป้ายทะเบียนรถซึ่งสามารถที่จะใส่สัญลักษณ์หรือบาร์โค้ดลงไป

ในส่วนของ CD-ROM ก็มีการใส่ลายเส้นลงไป เพื่อป้องกันการ copy ข้อมูล เมื่อมีการ Copy ข้อมูลก็จะไม่สามารถใช้ข้อมูลนั้นๆ ได้



รูปที่ 1.4 แสดงการใส่ลายเส้นลงไปบนแผ่น CD-ROM

เอกสารนี้เป็นเอกสารที่สงวนไว้สำหรับการใช้งานเพื่อการศึกษาเท่านั้น ไม่อนุญาตให้นำไปใช้ประโยชน์ด้านการค้า ไม่ว่าจะกรณีใดๆ ทั้งสิ้น อีกทั้งห้ามมิให้ตัดแปลงเนื้อหา และต้องอ้างอิงถึงเจ้าของเอกสารทุกครั้งที่มีการนำไปใช้

บทที่ 2

พื้นฐานการประมวลผลภาพดิจิทัล

ก่อนที่เราจะได้ทำการศึกษถึงการประมวลผลทางภาพดิจิทัลนั้นเราต้องมาศึกษากันก่อนว่าลักษณะการเก็บภาพให้อยู่ในระบบข้อมูลแบบดิจิทัลนั้นเป็นอย่างไรและการประมวลผลนั้นสามารถทำได้วิธีใดบ้าง

2.1 ลักษณะของแฟ้มข้อมูลภาพดิจิทัล

ลักษณะของแฟ้มข้อมูลภาพจะมีการกำหนดตำแหน่งเหนือกับเมตริกโดยที่จำนวนคอลัมน์(column) และ ไร้ว์(Row) จะแทนจำนวนจุดภาพ(Pixel) ของภาพเช่น ภาพขนาด 256×256 จะหมายถึง แฟ้มข้อมูลของภาพดังกล่าวมีขนาด 256 คอลัมน์ และ 256 ไร้ว์ จะสามารถแสดงได้ดังนี้

$$A = \begin{array}{cccccc} f(1,1) & f(1,2) & f(1,3) & \text{-----} & f(1,256) \\ f(2,1) & f(2,2) & f(2,3) & \text{-----} & f(2,256) \\ f(3,1) & f(3,2) & f(3,3) & \text{-----} & f(3,256) \\ \vdots & \vdots & \vdots & & \vdots \\ f(256,1) & f(256,2) & f(256,3) & \text{-----} & f(256,256) \end{array}$$

รูปที่ 2.1.1 เมตริกซ์ของรูปขนาด 256×256

จากรูปที่ 2.1.1 จะเห็นว่าแฟ้มข้อมูลภาพจะประกอบไปด้วยสมาชิกของเมตริกซ์ทั้งหมด $i \times j$ ตัวและที่ตำแหน่งในเมตริกซ์ต่างๆก็จะมี $f(i,j)$ ซึ่งเป็นค่าระดับสีเทา(Gray Level) ของภาพที่จุดนั้นโดยที่ค่าระดับสีเทาอาจมีได้ตั้งแต่ 2 ระดับ จนถึง 256 ระดับ โดยจะเพิ่มขึ้นในอัตราที่เป็นตัวเลข 2^n โดยที่ $n = 1,2,3,\dots$ ขึ้นอยู่กับลักษณะของคุณภาพของภาพที่เราต้องการประมวลผล โดยในโครงการนี้เราจะใช้ค่าระดับสีเทาที่ 256 ระดับสี ซึ่งตัวอย่างของภาพสามารถแสดงได้ในรูปที่ 2.1.2

ซึ่งจะเห็นว่าภาพหนึ่งภาพนั้นเกิดจากการเรียงตัวกันของจุดภาพที่มีระดับค่าสีเทาต่างๆกัน ซึ่งการเอกสารนี้เป็นเอกสารที่สงวนไว้สำหรับการใช้งานเพื่อการศึกษาเท่านั้น ไม่อนุญาตให้นำไปเผยแพร่ในวงกว้างไม่ว่ากรณีใดๆ ทั้งสิ้น อีกทั้งห้ามมิให้ตัดแปลงเนื้อหา และต้องอ้างอิงถึงเจ้าของเอกสารทุกครั้งที่มีการนำไปใช้

มองภาพใดๆให้อยู่ในรูปของเมตริกซ์เราจะเรียกการกระทำโดยตรงกับจุดภาพนี้ว่าวิธีการสเปซเชิงลโคเมน



รูปที่ 2.1.2 lena.tiff

2.2 วิธีการสเปซเชิงลโคเมน

จุดหลักของวิธีการนี้อยู่ที่ เราจะปรับปรุงภาพหรือกระทำโดยตรงกับจุดภาพ โดยที่ฟังก์ชันในการปรับปรุงภาพในวิธีนี้สามารถเขียนเป็นสมการดังต่อไปนี้

$$g(i,j) = T[f(i,j)]$$

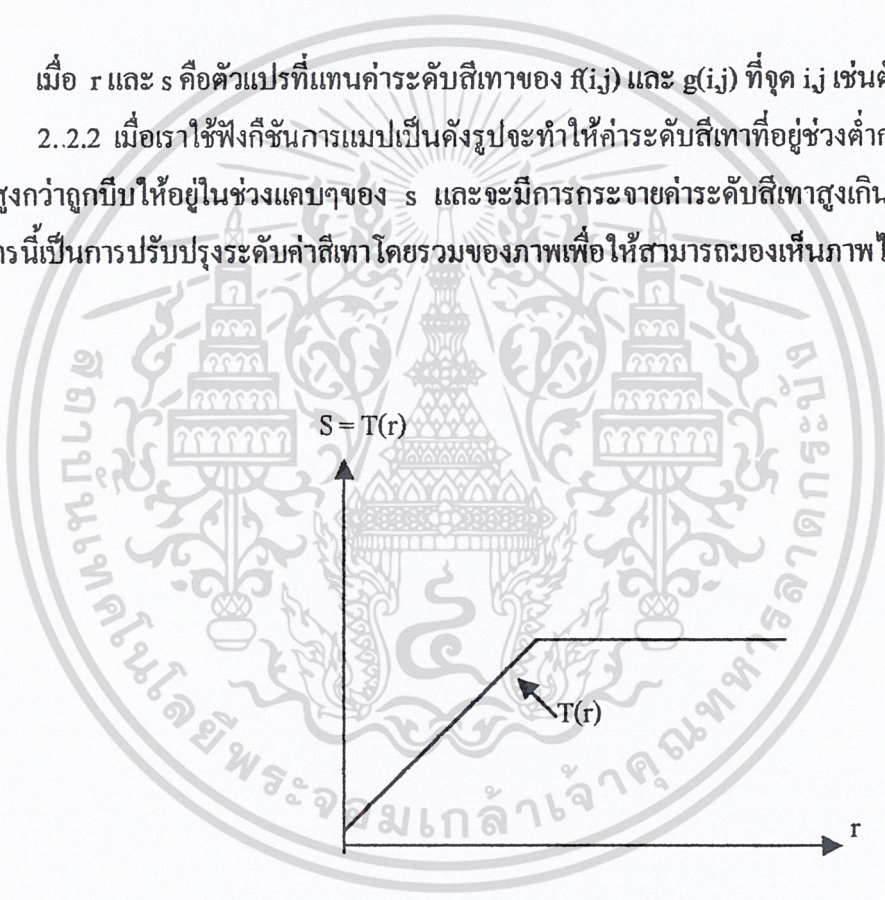
ซึ่ง $f(i,j)$ ที่นำมาใช้ประมวลผลแล้วและ T คือ ตัวปฏิบัติการ (Operator) บน f ที่กำหนดในบริเวณตำแหน่ง (i,j) จะเห็นได้ว่าวิธีการสเปซเชิงลโคเมนนี้จะทำให้ง่ายในการออกแบบเขียน โปรแกรมหรือศึกษาอัลกอริทึมเนื่องจากหากเราทราบขนาดความกว้างและความยาวของภาพโดยกำหนดเป็นจำนวนจุดภาพออกมาแล้วทำการมองภาพนั้นเป็นเมตริกซ์ตัวหนึ่งเราก็สามารถใช้ดั่งปฏิบัติการไปกระทำกับจุดภาพได้ตามหลักการทางคณิตศาสตร์ สำหรับวิธีการสเปซเชิงลโคเมนนี้แบ่งได้เป็น เอกสารนี้สองกรณีดังนี้
 1. กรณีแรก เป็นการแปลงภาพเพื่อใช้ในการศึกษาเท่านั้น ไม่อนุญาตให้นำไปใช้ประโยชน์ด้านการค้า
 2. กรณีที่สอง เป็นการแปลงภาพเพื่อใช้ในการค้า และต้องอ้างอิงถึงเจ้าของเอกสารทุกครั้งที่มีการนำไปใช้

2.2.1 ตัวปฏิบัติการกระทำต่อจุดภาพเพียงจุดเดียวต่อหนึ่งครั้ง หมายถึงว่าเมื่อตัวปฏิบัติการกระทำกับเมตริกซ์ของภาพแล้ว $g(i,j)$ ที่ได้ออกมาจะขึ้นอยู่กับค่าของ $f(i,j)$ ตัวเดียวเท่านั้นและตัวปฏิบัติการจะกลายเป็นฟังก์ชันการแปลง(Transfer Function)หรือฟังก์ชันการแปลงแม(Mapping Function) ซึ่งอยู่ในรูป

$$s = T(r)$$

เมื่อ r และ s คือตัวแปรที่แทนค่าระดับสีเทาของ $f(i,j)$ และ $g(i,j)$ ที่จุด i,j เช่นตัวอย่างในรูป

2.2.2 เมื่อเราใช้ฟังก์ชันการแมเป็นดังรูปจะทำให้ค่าระดับสีเทาที่อยู่ช่วงต่ำกว่าที่ระดับ B และสูงกว่าถูกบีบให้อยู่ในช่วงแคบๆของ s และจะมีการกระจายค่าระดับสีเทาสูงเกินกว่าระดับ B วิธีการนี้เป็นการปรับปรุงระดับค่าสีเทาโดยรวมของภาพเพื่อให้สามารถมองเห็นภาพได้ดีขึ้น



รูปที่ 2.2.2 แสดงลักษณะการของฟังก์ชันการแปลงค่าระดับสีเทาโดยกระทำกับจุดๆเดียวในหนึ่งครั้ง

2.2.3 ตัวปฏิบัติการกระทำกับจุดภาพที่อยู่บริเวณรอบๆกับจุดที่กำลังกระทำอยู่ หมายถึงเมื่อเราต้องจะให้ตัวปฏิบัติการกระทำกับจุดใดๆแล้วนั้นตัวปฏิบัติการจะต้องนำเอาค่าข้างเคียงของจุดนั้นมาคำนวณด้วยเสมอเราเรียกการทำงานแบบนี้ว่าการทำงานที่ต้องใช้จุดข้างเคียง(Neighborhood operation) ซึ่งการปฏิบัติการอย่างนี้เรามักจะใช้วิธีการคอนโวลูชัน(Convolution) โดยที่การทำ

เอกสารนี้เป็นเอกสารที่สงวนลิขสิทธิ์ไว้สำหรับการใช้งานเพื่อการศึกษาเท่านั้น ไม่อนุญาตให้นำไปเผยแพร่โดยไม่ได้รับอนุญาต
ไม่ว่ากรณีใดๆ ทั้งสิ้น อีกทั้งห้ามมิให้ตัดแปลงเนื้อหา และต้องอ้างอิงถึงเจ้าของเอกสารทุกครั้งที่มีการนำไปใช้

คอนโวลูชันนี้จะเป็นการคำนวณผลบวกของผลคูณ (Sum of product) รูปที่ 2.4 แสดงหน้าภาพของคอนโวลูชัน

$$M = \begin{bmatrix} m(-1,-1) & m(0,-1) & m(1,-1) \\ m(-1,0) & m(0,0) & m(1,0) \\ m(-1,1) & m(0,1) & m(1,1) \end{bmatrix}$$

รูปที่ 2.2.3 แสดงหน้าภาพคอนโวลูชันขนาด 3×3

$$F = \begin{bmatrix} F(i-1,j-1) & F(i,j) & F(i+1,j-1) \\ F(i-1,j) & F(i,j) & F(i+1,j) \\ F(i-1,j+1) & F(i,j+1) & F(i+1,j+1) \end{bmatrix}$$

รูปที่ 2.2.4 แสดงจุดข้างเคียงต่างๆในบริเวณเมตริกซ์ขนาด 3×3 ของภาพต้นแบบ

ตัวชี้ในหน้าภาพจะมีหน้าจุดเริ่มต้นที่คั่นจุดศูนย์กลาง โดยเริ่มที่มุมบนด้านซ้ายของภาพ สามารถเขียนสมการคอนโวลูชัน ได้ดังนี้

เอกสารนี้เป็นเอกสารที่สงวนไว้สำหรับการใช้งานเพื่อการศึกษาเท่านั้น ไม่อนุญาตให้นำไปใช้ประโยชน์ด้านการค้า ไม่ว่าจะกรณีใดๆ ทั้งสิ้น อีกทั้งห้ามมิให้ตัดแปลงเนื้อหา และต้องอ้างอิงถึงเจ้าของเอกสารทุกครั้งที่มีการนำไปใช้

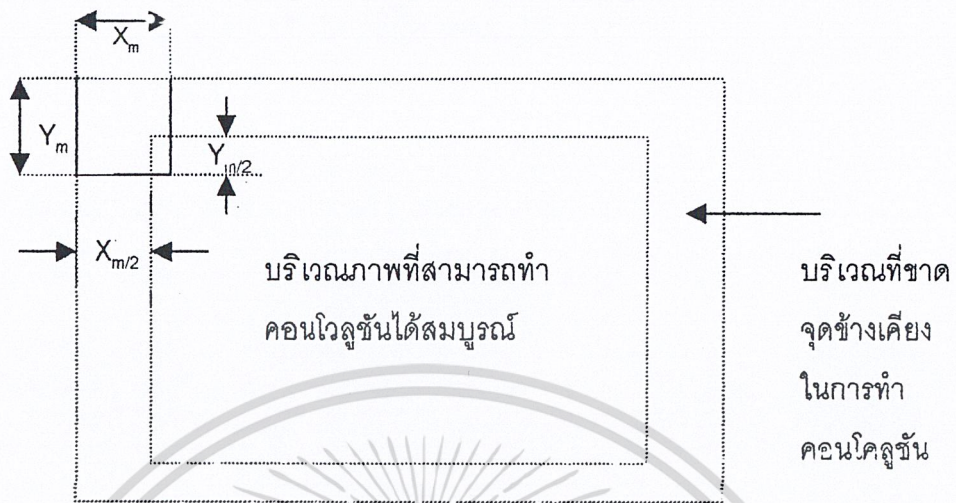
$$C(i,j) = \sum_{k=1}^{i+1} \sum_{l=1}^{j+1} F(k,l)M(i-k, j-l)$$

แต่ละจุดภาพจะเป็นการวนเอามาจากจุดรอบข้างและคูณด้วยค่าที่เป็นตำแหน่งเดียวกันกับหน้ากานำผลคูณของแต่ละตัวนั้นรวมกันก็จะได้ค่าจุดภาพผลลัพธ์ซึ่งการคำนวณที่ทำนั้นสามารถกระจายแสดงออกมาได้ดังนี้

$$\begin{aligned} C(i,j) = & F(i-1,j-1)M(1,1)+F(i,j-1)M(0,1)+F(i+1,j+1)M(-1,1)+F(i-1,j) \\ & M(1,0)+F(i,j)M(0,0)+F(i+1,j)M(-1,0)+F(i-1,j+1)M(1,-1)+ \\ & F(i,j+1)M(0,-1)+F(i+1,j+1)M(-1,-1) \end{aligned}$$

จากสมการเราพบว่ามีการจัดเรียงเทอมต่างๆ โดยลำดับในหน้ากาก็มีการจัดเรียงจากบนซ้ายลงไปยังล่างขวาและตำแหน่งที่ตรงกันในหน้ากาก็มีลำดับตรงข้ามกัน โดยเริ่มจากล่างขวาขึ้นไปถึงมุมบนซ้ายสำหรับขนาดของหน้ากานั้นจะเป็นเท่าไรก็ได้และไม่จำเป็นต้องมีสมาชิกแนวตั้งเท่ากับแนวนอนเสมอไป แต่โดยทั่วไปแล้วการประยุกต์ที่ใช้กันอยู่จะใช้หน้ากาก็มีจำนวนสมาชิกแนวตั้งเท่ากับแนวนอน มีจำนวนคงที่และมักเป็นจำนวนเลขคู่เพื่อที่จะทำให้สามารถได้จุดศูนย์กลางของหน้ากาคือเป็นจุดศูนย์กลางได้

ปัญหาอีกอย่างหนึ่งที่เราพบในการทำคอนโวลูชันภาพคือการขาดจุดข้างเคียงในบริเวณของการทำคอนโวลูชันในบริเวณขอบรอบนอกภาพหมายถึงการที่เราจะใช้หน้ากาคอนโวลูชันมาทำการคอนโวลูชันบริเวณขอบภาพซึ่งไม่สามารถทำได้เนื่องจากการคำนวณจะขาดจุดภาพบริเวณนอกขอบบริเวณของภาพดังแสดงในรูปที่ 2.6 โดยทั่วไปแล้ววิธีการแก้ปัญหานี้ก็มักจะใช้วิธีการกำหนดจุดในบริเวณกรอบภาพทั้งสี่ด้านให้เป็นค่าเดิมหรือเป็นศูนย์หรือแล้วแต่กรณี ความกว้างของแถบด้านบนและด้านล่างของภาพมีค่าเท่ากับ $(Y_m-1)/2$ และข้างซ้ายและขวาเท่ากับ $(X_m-1)/2$ เมื่อ X_m คือความกว้างของหน้ากาคอนโวลูชันและ Y_m คือความสูงของหน้ากาคอนโวลูชัน ตัวอย่างเช่น หน้ากาคอนโวลูชันขนาด 3×3 จะมีแถบกว้าง 1 จุดภาพซึ่งไม่สามารถคำนวณได้รอบๆ ภาพ



รูปที่ 2.6 การขาดจุดข้างเคียงในบริเวณของการทำคอนโวลูชันในบริเวณกรอบภาพ

ในการใช้งานจะต้องรู้ว่าเราจะนำภาพที่ได้จากการประมวลผลแล้วไปทำอะไรต่อไป เพราะอาจเป็นไปได้ที่ภาพผลลัพธ์อาจมีขนาดเล็กกว่าต้นแบบ บางระบบ ต้องการการคำนวณที่ถูกต้องสมบูรณ์แบบอย่างแท้จริงโดยนำข้อมูลบริเวณอื่นๆมาใช้แทนบริเวณโรว์และคอลัมน์ของจุดภาพที่เลเยอร์ออกจากต้นแบบไป วิธีการหนึ่งนั้นทำได้โดยการใช้โรว์ทางด้านล่างของภาพมาใช้เป็นข้อมูลที่ต้องการของการคำนวณทางด้านบน และในทำนองเดียวกันที่ใช้โรว์ทางด้านบนมาเป็นข้อมูลในการคำนวณของคอลัมน์ทางด้านซ้ายและคอลัมน์ทางด้านซ้ายของภาพนำมาเป็นข้อมูลที่ต้องการคำนวณทาลดาเนาเช่นกันถึงแม้ว่าวิธีเช่นนี้จะเป็นการไม่เหมาะสมนักก็ตามแต่ผลลัพธ์ที่ได้ก็ให้ภาพผลลัพธ์มีขนาดเท่ากับต้นแบบ เนื่องจากการทำคอนโวลูชันนี้ค่อนข้างจะใช้การคำนวณมากครั้ง เช่นหากเป็นหน้าภาพขนาด 3×3 ในการที่จะได้ผลลัพธ์ 1 จุดภาพต้องมีการคูณ 9 ครั้ง การบวก 9 ครั้งและการหารอีกหนึ่งครั้งและหากเรามีการใช้ขนาดของหน้าภาพที่ใหญ่ขึ้นก็ย่อมต้องมีการคำนวณมากขึ้นเราจึงต้องพยายามใช้ขนาดของหน้าภาพที่เล็กที่สุดเท่าที่จะทำได้ในการทำคอนโวลูชัน

บทที่ 3

พื้นฐานของภาพ

3.1 โมเดลภาพ

ภาพ (Image) หมายถึงฟังก์ชันของความเข้มแสงที่กำหนดโดยฟังก์ชัน $f(x,y)$ เมื่อค่าแอม-
พลิจูด (amplitude) ของ $f(x,y)$ ที่สเปเชียลโคออดิเนต (spatial coordinate) (x,y) ให้ค่าความ
เข้มแสง (intensity) ที่จุดนั้นเนื่องจากแสงเป็นรูปหนึ่งของพลังงาน $f(x,y)$ จึงไม่เป็นศูนย์ และ
อนันต์

$$0 < f(x,y) < \infty \quad (3.1.1)$$

ภาพที่มองเห็นโดยทั่วไปประกอบด้วยแสงสะท้อนวัตถุ ตามธรรมชาติแล้ว $f(x,y)$ จะถูก
กำหนดคุณสมบัติจากองค์ประกอบ 2 ประการ อย่างแรกได้แก่ปริมาณแสงที่แพร่มาจากแหล่ง
กำเนิดมายังจากที่กำลังมอง ซึ่งเรียกอองค์ประกอบนี้ว่า ความสว่าง (illumination) แทนด้วย $i(x,y)$
อีกอย่างคือปริมาณแสงสะท้อนออกจากวัตถุในฉากซึ่งเรียกว่าการสะท้อน (reflection) แทนด้วย r
 (x,y) ซึ่งผลคูณของ $r(x,y)$ และ $i(x,y)$ จะได้เป็น $f(x,y)$

$$f(x,y) = I(x,y)r(x,y) \quad (3.1.2)$$

เมื่อ

$$\begin{aligned} 0 < I(x,y) < \infty \\ 0 < r(x,y) < 1 \end{aligned} \quad (3.1.3)$$

สมการที่ 3.1.3 แสดงว่าการสะท้อนมีค่าขอบเขตอยู่ระหว่าง 0 คือดูดซับแสงทั้งหมด และ
เป็น 1 เมื่อสะท้อนแสงทั้งหมด คุณลักษณะของ $I(x,y)$ กำหนดโดยแหล่งกำเนิดแสง ส่วน $r(x,y)$
กำหนดโดยคุณลักษณะของฉาก

สำหรับภาพโมโนโครมความเข้มของฟังก์ชันภาพ $f(x,y)$ ที่จุด (x,y) ใด ๆ จะเรียกว่าระดับ
สีเทา (gray level) I ของภาพ ที่จุดนั้น ๆ มีค่าอยู่ในช่วงที่กำหนดคือ

$$L_{\min} \leq I \leq L_{\max} \quad (3.1.4)$$

เมื่อ $L_{\min} = i_{\min} r_{\min}$ เป็นบวก และ $L_{\max} = i_{\max} r_{\max}$ สามารถหาค่าได้

เอกสารนี้เป็นเอกสารที่สงวนไว้สำหรับการใช้งานเพื่อการศึกษาเท่านั้น ไม่อนุญาตให้นำไปใช้ประโยชน์ด้านการค้า
ไม่ว่ากรณีใดๆ ทั้งสิ้น อีกทั้งห้ามมิให้ตัดแปลงเนื้อหา และต้องอ้างอิงถึงเจ้าของเอกสารทุกครั้งที่มีการนำไปใช้

3.2 การสุ่มตัวอย่าง (Sampling) และการควอนไทซ์ (Quantization)

ในการที่จะทำให้ภาพอยู่ในรูปแบบที่เหมาะสมกับคอมพิวเตอร์ ฟังก์ชันของภาพ $f(x,y)$ ต้องทำให้เป็นดิจิทัล ทั้งทางสเปเชียล และแอมพลิจูด การทำให้เป็นดิจิทัลของทาง สเปเชียล โคออดิเนต (x,y) จะเรียกว่าการสุ่มตัวอย่างภาพ (image sampling) ในขณะที่การทำให้เป็นจำนวนเชิงเลขในแง่ของแอมพลิจูดจะเรียกว่าการควอนไทซ์ระดับสีเทา (gray-level quantization)

การสุ่มตัวอย่างภาพจะต้องมีการคำนึงถึงแถบความถี่ปฏิบัติงาน (bandwidth) ของภาพ เนื่องจากเราจะเลือกความถี่ของการสุ่มตัวอย่าง (sampling rate) ให้มีค่าน้อยกว่า 2 เท่าของความถี่ปฏิบัติงานของภาพ มิฉะนั้นค่าที่ได้จากการสุ่มตัวอย่างจะไม่สามารถใช้เป็นตัวแทนของภาพได้ เนื่องจากจะเกิดปัญหาความถี่ขึ้นเนื่องจากผลของการเอเลียซิง (aliasing effect) รายละเอียดเกี่ยวกับการเลือกความถี่ของการสุ่มตัวอย่างแสดงไว้ในภาคผนวก

ภาพต่อเนื่อง $f(x,y)$ จะได้รับการประมาณค่าโดยการสุ่มตัวอย่างแล้วนำมาเรียงกันในรูปแบบของ $N \times N$ อาร์เรย์ดังแสดงในสมการที่ 3.2.1 เมื่อแต่ละอีลิเมนต์ (element) ในอาร์เรย์เป็นจำนวนเต็มหน่วย

$$f(x,y) \approx \begin{bmatrix} f(0,0) & f(0,1) & \dots & f(0,N-1) \\ f(1,0) & f(1,1) & \dots & f(1,N-1) \\ \dots & \dots & \dots & \dots \\ f(N-1,0) & f(N-1,1) & \dots & f(N-1,N-1) \end{bmatrix} \quad (3.2.1)$$

ทางค้ำขวางของสมการ จะเรียกว่าภาพดิจิทัล (digital image) ในขณะที่แต่ละอีลิเมนต์ของอาร์เรย์จะเรียกว่า องค์ประกอบภาพ (image element , picture element , pixel หรือ pel)

กระบวนการทำให้เป็นดิจิทัล ต้องการข้อมูลเกี่ยวกับค่าของ N และจำนวนระดับสีเทาเต็มหน่วย (discrete gray - level) ที่มีได้ในแต่ละจุดภาพ (pixel) โดยปกติแล้วในทางปฏิบัติค่าทั้งสองจะเป็นค่าของสองยกกำลังจำนวนเต็ม

$$N = 2^k \quad (3.2.2)$$

$$G = 2^l \quad (3.2.3)$$

เมื่อ G เป็นจำนวนของระดับสีเทาจำนวนของบิตที่ต้องการในการเก็บภาพดิจิทัลแสดงในสมการที่ 3.2.4

$$b = N \times N \times m \quad (3.2.4)$$

ตารางที่ 3.1 แสดงจำนวนบิต ที่ใช้ในการจัดเก็บที่แปรตามค่า N, m

$N \times m$	1	2	3	4	5	6	7	8
32	1024	2048	3072	4096	5120	6144	7168	8192
64	4096	8192	12288	16384	20480	24576	28672	32768
128	16384	32768	49152	65536	81920	98304	114688	131072
256	65536	131072	196608	262144	327680	393216	458752	524288
512	262144	524288	786432	1048576	1310720	1572864	1835008	2097152

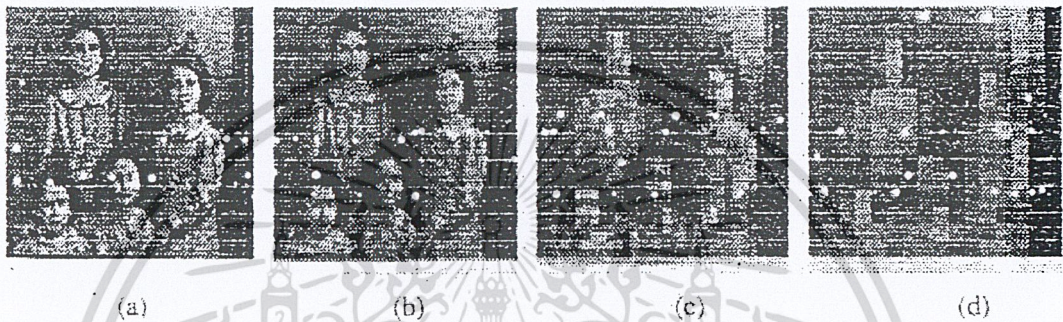
ตารางที่ 3.2 แสดงจำนวนบิต ที่ใช้ในการจัดเก็บที่แปรตามค่า N, m

$N \times m$	1	2	3	4	5	6	7	8
32	128	256	512	512	1024	1024	1024	1024
64	512	1024	2048	2048	4096	4096	4096	4096
128	2048	4096	8192	8192	16384	16384	16384	16384
256	8192	16384	32768	32768	65536	65536	65536	65536
512	32768	65536	131072	131072	262144	262144	262144	262144

อย่างเช่นภาพ 128×128 กับ 64 ระดับสีเทาต้องการที่เก็บ 98304 บิต ตารางที่ 3.1 แสดงค่าของ b กับค่าของ N และ m ตารางที่ 3.2 แสดงจำนวนบิตกับค่าของ N และ m จากสมการ 3.2.1 คือ การประมาณค่าของภาพต่อเนื่อง คำถามในตอนนี้นี้คือการสุ่มตัวอย่างเท่าไรจึงจะเพียงพอ เพื่อจะได้การประมาณค่าที่ดี ความละเอียด (resolution) ของภาพขึ้นอยู่กับค่า N และ m อยู่มาก การเพิ่มค่าเหล่านี้จะทำให้ ภาพดิจิทัลที่ได้มีความใกล้เคียงกับความเป็นจริงมากขึ้น แต่ว่าจากสมการ 3.2.4 จำนวนบิตที่ต้องการใช้ในการเก็บข้อมูลจะเพิ่มขึ้นด้วย

เอกสารนี้เป็นเอกสารที่สงวนไว้สำหรับการใช้งานเพื่อการศึกษาเท่านั้น ไม่อนุญาตให้นำไปใช้ประโยชน์ด้านการค้า ไม่ว่าจะกรณีใดๆ ทั้งสิ้น อีกทั้งห้ามมิให้ตัดแปลงเนื้อหา และต้องอ้างอิงถึงเจ้าของเอกสารทุกครั้งที่มีการนำไปใช้

ผลกระทบของ N และ m จะมีผลกระทบต่อคุณภาพของภาพการพิจารณาว่าภาพนั้น ๆ ดี เป็นการยารกที่จะนิยามว่าคุณภาพที่ต้องการแปรผันตามงานที่ใช้ รูปที่ 3.1 แสดงผลของค่า N (การสุ่มตัวอย่าง) จากรูปที่ 3.1 (a) เป็นภาพต้นฉบับขนาด 128×128 (b), (c) และ (d) เป็นภาพเดียวกันแต่มีขนาด 64×64 , 32×32 และ 16×16 ตามลำดับ



รูปที่ 3.1 แสดงผลของ N ที่มีผลต่อคุณภาพของภาพ จะเห็นว่าใน รูปที่ 3.1 (b) จะพอดูได้แต่คุณภาพจะลดลงจากภาพต้นฉบับ ในรูปที่ 3.1 (c) ยังจะพอมองเห็นเค้าโครง ในรูปที่ 3.1 (d) ไม่สามารถบอกได้ว่าเป็นภาพอะไร

บทที่ 4

การแปลงฟูรีเยอร์ และการแปลงฟูรีเยอร์ผกผันของภาพ

4.1 การแปลงฟูรีเยอร์เต็มหน่วย

การแปลงฟูรีเยอร์ (Fourier Transform) เป็นขั้นตอนการเปลี่ยนโดเมนของสัญญาณให้กลายเป็นโดเมนความถี่เพื่อความสะดวกในการวิเคราะห์ความถี่ของสัญญาณ และเพื่อตัดสินใจเลือกขั้นตอนในการปรับปรุงสัญญาณที่เหมาะสมกับองค์ประกอบทางความถี่ของสัญญาณนั้น ๆ

เนื่องจากในปริภูมิพีซีใช้เครื่องคำนวณเชิงเลขในการคำนวณ ดังนั้นข้อมูลที่จะใช้คำนวณในทุกขั้นตอนของการประมวลผลจะต้องอยู่ในรูปแบบที่เครื่องคำนวณเชิงเลขสามารถจัดการได้ ก็จะต้องเป็นข้อมูลเชิงเลข (digital data) ด้วยเหตุผลดังกล่าวเราจึงไม่สามารถที่จะนำเครื่องคำนวณเชิงเลขคำนวณหาผลของการแปลงฟูรีเยอร์ของสัญญาณต่อเนื่อง (continuous signal) ได้โดยตรง แต่เราต้องสร้างลำดับสัญญาณเชิงเลขเต็มหน่วย (discrete digital signal) ซึ่งต่อไปจะเรียกว่า ระดับสัญญาณเต็มหน่วย (discrete signal) ที่สามารถใช้เป็นตัวแทนของสัญญาณต่อเนื่อง แล้วนำลำดับสัญญาณเต็มหน่วยไปคำนวณบนเครื่องคำนวณเชิงเลขแทน

การสร้างลำดับสัญญาณเต็มหน่วยเพื่อใช้เป็นตัวแทนของสัญญาณต่อเนื่องนั้นจะใช้การสุ่มตัวอย่าง และการควอนไทซ์ที่ได้อธิบายไปแล้ว ในกรณีของสัญญาณ 1 มิติหากกำหนดให้ลำดับลำดับสัญญาณเต็มหน่วย $\{f(x)\}$ $x = 0, 1, 2, \dots, N - 1$ เป็นลำดับสัญญาณเต็มหน่วยที่ได้จากกระบวนการสุ่มตัวอย่าง และการควอนไทซ์แล้ว เราจะสามารถหาผลของการแปลงฟูรีเยอร์เต็มหน่วย 1 มิติ (One Dimensional Discrete Fourier Transform) ซึ่งหากกำหนดให้ลำดับสัญญาณ $\{F(k)\}$ เป็นผลของการแปลงฟูรีเยอร์เต็มหน่วย 1 มิติของ $\{f(x)\}$ แล้วจะได้ว่า

$$\begin{aligned} F(k) &= DFT_{N,k} \{ f(n) \} \\ &= \sum_{n=0}^{N-1} f(n) e^{-j\frac{2\pi}{N}kn} \end{aligned} \quad (4.1.1)$$

เนื่องจากภาพมี 2 มิติ ดังนั้นการประมวลผลภาพจึงเป็นการประมวลผลลำดับสัญญาณเต็มหน่วย 2 มิติ ซึ่งในที่นี้จะกำหนดให้ลำดับสัญญาณ $\{ f(x,y) \}$ $x = 0, 1, 2, \dots, N-1$ และ $y = 0, 1, 2, \dots, M-1$ แทนลำดับสัญญาณของภาพเริ่มต้นซึ่งมีความกว้าง N จุด สูง M จุด สำหรับการหาผลของการแปลงฟูริเยอร์ของลำดับสัญญาณ $\{ f(x,y) \}$ นี้จะใช้การแปลงฟูริเยอร์เต็มหน่วย 2 มิติ (Two Dimensional Discrete Fourier Transform) ซึ่งหากกำหนดให้ลำดับสัญญาณ $\{ F(u,v) \}$ $u = 0, 1, 2, \dots, N-1$ และ $v = 0, 1, 2, \dots, M-1$ เป็นการแปลงฟูริเยอร์เต็มหน่วย 2 มิติของ $\{ f(x,y) \}$ แล้ว

$$F(u,v) = \sum_{n=0}^{N-1} \sum_{m=0}^{M-1} f(n,m) e^{-j\frac{2\pi}{M}vm} e^{-j\frac{2\pi}{N}un} \quad (4.1.2)$$

การคำนวณสมการที่ 4.1.2 นั้น นิยมแปลงรูปสมการ 4.1.2 ซึ่งเป็นการแปลงฟูริเยอร์เต็มหน่วย 2 มิติให้อยู่ในรูปแบบของการแปลงฟูริเยอร์เต็มหน่วย 1 มิติในสมการที่ 4.1.1 ซึ่งจะกระทำได้โดยการกระจายสมการ 4.1.2 ดังนี้

$$F(u,v) = \left(\sum_{m=0}^{M-1} f(0,m) e^{-j\frac{2\pi}{M}vm} \right) e^{-j\frac{2\pi}{N}u(0)} + \left(\sum_{m=0}^{M-1} f(1,m) e^{-j\frac{2\pi}{M}vm} \right) e^{-j\frac{2\pi}{N}u(1)} + \dots + \left(\sum_{m=0}^{M-1} f(N-1,m) e^{-j\frac{2\pi}{M}vm} \right) e^{-j\frac{2\pi}{N}u(N-1)} \quad (4.1.3)$$

เมื่อพิจารณาพจน์ในแต่ละวงเล็บจะพบว่า $\{ f(x,y) \}$ มีการแปรค่าในแนวเดียวคือแนว y จึงเสมือนเป็นลำดับสัญญาณ 1 มิติ และพจน์ในวงเล็บจึงกลายเป็นการหาการแปลงฟูริเยอร์เต็มหน่วยของลำดับสัญญาณ 1 มิติ หากลำดับสัญญาณ 1 มิติ $\{ g_x(y) \}$ โดยที่ $g_x(y) = f(x,y)$ และให้ $G_x(k)$ เป็นผลการแปลงฟูริเยอร์เต็มหน่วย 1 มิติตำแหน่งที่ v ของ $\{ g_x(y) \}$ เราจะได้ว่า

$$G_x(k) = DFT_{M,v} \{ f(k,y) \} = \sum_{m=0}^{M-1} f(k,m) e^{-j\frac{2\pi}{M}vm} \quad (4.1.4)$$

เอกสารนี้เป็นเอกสารที่สงวนไว้สำหรับการใช้งานเพื่อการศึกษาเท่านั้น ไม่อนุญาตให้นำไปใช้ประโยชน์ด้านการค้า ไม่ว่าจะกรณีใดๆ ทั้งสิ้น อีกทั้งห้ามมิให้ตัดแปลงเนื้อหา และต้องอ้างอิงถึงเจ้าของเอกสารทุกครั้งที่มีการนำไปใช้

เราอาจเขียนสมการ 4.1.3 ได้เป็น

$$\begin{aligned} F(u, v) &= G_v(0) e^{-j\frac{2\pi}{N}u(0)} + G_v(1) e^{-j\frac{2\pi}{N}u(1)} + \dots + G_v(N-1) e^{-j\frac{2\pi}{N}u(N-1)} \\ &= \sum_{n=0}^{N-1} G_v(n) e^{-j\frac{2\pi}{N}un} \\ &= DFT_{N,u} \{ G_v(n) \} \end{aligned} \quad (4.1.5)$$

จากสมการที่ 4.1.4 และ 4.1.5 เราจะได้ว่าเราสามารถที่จะหาการแปลงฟูริเยร์เต็มหน่วย 2 มิติได้จากการหาการแปลงฟูริเยร์เต็มหน่วย 1 มิติ ขั้นตอนที่กล่าวมาทั้งหมดนั้นจะได้สมาชิกตำแหน่งเดียวของ $\{ F(u, v) \}$ หากต้องการหา $\{ F(u, v) \}$ ทั้งลำดับจะต้องทำซ้ำสำหรับทุกค่าของ u และ v

4.2 การแปลงฟาสต์ฟูริเยร์

จากสมการที่ 4.1.1 เราจะพบว่าในการคำนวณหาผลการแปลงฟูริเยร์เต็มหน่วยเพื่อหา $F(k)$ สำหรับ k เพียงค่าเดียวเราต้องใช้ในการคูณจำนวนเชิงซ้อน N ครั้ง และต้องใช้ในการบวกจำนวนเชิงซ้อนอีก $N-1$ ครั้ง ดังนั้นหากเราต้องการหา $\{ F(k) \}$ ซึ่งประกอบไปด้วย $F(k)$ ทั้งหมด N ค่า เราต้องใช้ในการคูณจำนวนเชิงซ้อนทั้งสิ้น N^2 ครั้ง และการบวกจำนวนเชิงซ้อนอีก $N(N-1)$ ครั้ง ซึ่งใช้เวลาในการคำนวณมาก

เพื่อแก้ไขปัญหาดังกล่าวจึงมีการคิดค้นวิธีที่จะทำให้สามารถคำนวณผลการแปลงฟูริเยร์เต็มหน่วยได้เร็วขึ้นโดยอาศัยการจัด การแบ่งข้อมูล และการใช้คุณสมบัติการซ้ำคาบ(periodicity) เราเรียกวิธีการดังกล่าวว่า การแปลงฟาสต์ฟูริเยร์ (Fast Fourier Transform ,FFT) ซึ่งในปัจจุบันมีผู้คิดค้นมาแล้วหลายวิธี ในปริณฎณานิพนธ์นี้ใช้วิธีการคิดค้นโดยคูลี (J.W. Cooley) และ ทูคี (J.W. Tukey) ซึ่งมีชื่อว่าการแปลงฟาสต์ฟูริเยร์แบบฐานสอง (Radix 2 FFT) เพื่อความสะดวกจะกำหนดฟังก์ชัน $w(x)$ โดยที่

$$W_N(x) = e^{-j\frac{2\pi}{N}x} \quad (4.2.1)$$

$w_N(x)$ นี้เรียกว่าตัวประกอบทวน (twiddle factor) ซึ่งทำให้เขียนสมการของ $F(k)$ ได้เป็น

$$F(k) = \sum_{n=0}^{N-1} f(n)w_N(nk)$$

แบ่งทางด้านซ้ายมือของสมการออกเป็นผลบวกของสมชีกลำดับคู่ และผลบวกของสมชีกลำดับคี่ ดังนี้

$$F(k) = \sum_{n=0}^{N/2-1} f(2n)w_N(2nk) + \sum_{n=0}^{N/2-1} f(2n+1)w_N(2n+1)k$$

เพราะว่า $F(k) = w_{N/2}(nk)$ และ $w_N(2n+1)k = w_N(k)w_{N/2}(nk)$ ดังนั้น

$$F(k) = \sum_{n=0}^{N/2-1} f(2n)w_{N/2}(nk) + w_N(k) \sum_{n=0}^{N/2-1} f(2n+1)w_N(nk)$$

ณ จุดนี้ เราสามารถนำคุณสมบัติการซ้ำคาบมาใช้เพื่อลดจำนวนครั้งของการคำนวณได้ สมมติให้ $I = 0, 1, 2, \dots, N/2 - 1$ เราจะพบว่า

$$F(i) = \sum_{n=0}^{N/2-1} f(2n)w_{N/2}(ni) + w_N(i) \sum_{n=0}^{N/2-1} f(2n+1)w_{N/2}(ni)$$

$$F(i + \frac{N}{2}) = \sum_{n=0}^{N/2-1} f(2n)w_{N/2}(n(i + \frac{N}{2})) + w_N(i + \frac{N}{2}) \sum_{n=0}^{N/2-1} f(2n+1)w_{N/2}(n(i + \frac{N}{2}))$$

$$F(i + \frac{N}{2}) = \sum_{n=0}^{N/2-1} f(2n)w_{N/2}(ni) - w_N(i) \sum_{n=0}^{N/2-1} f(2n+1)w_{N/2}(ni)$$

จะพบว่ากรหา $F(k)$ ในช่วง $N/2 \leq k < N$ เราไม่มีความจำเป็นที่จะต้องคำนวณ

$$\sum_{n=0}^{N/2-1} f(2n)w_{N/2}(nk) \text{ และ } w_N(k) \sum_{n=0}^{N/2-1} f(2n+1)w_{N/2}(nk)$$

นำค่าในช่วง $0 \leq k < N/2$ มาแทนที่ได้เพียงแต่นำมาลบกันแทน ดังนั้นเราความจำเป็นที่จะต้องคำนวณในช่วง $0 \leq k < N/2$ เท่านั้นซึ่งจะได้ว่าในช่วงของ k ดังกล่าวนั้น

เอกสารนี้เป็นเอกสารที่สงวนไว้สำหรับการใช้งานเพื่อการศึกษาเท่านั้น ไม่อนุญาตให้นำไปใช้ประโยชน์ด้านการค้า ไม่ว่ากรณีใดๆ ทั้งสิ้น อีกทั้งห้ามมิให้ตัดแปลงเนื้อหา และต้องอ้างอิงถึงเจ้าของเอกสารทุกครั้งที่มีการนำไปใช้

$$\sum_{n=0}^{N/2-1} f(2n)w_{N/2}(nk) = DFT_{N/2,k} \{f(2n)\}$$

และ

$$\sum_{n=0}^{N/2-1} f(2n+1)w_{N/2}(nk) = DFT_{N/2,k} \{f(2n+1)\}$$

เขียนสมการที่ 4.2.2 ใหม่ได้ว่า

$$F(k) = DFT_{N/2,k} \{f(2n)\} + w_N(k) DFT_{N/2,k} \{f(2n+1)\}$$

โดยที่ $I =$ จากสมการ 4.2.3 เราจะพบว่าหลังการแบ่งข้อมูล 1 ครั้ง ในการหา $F(k)$ สำหรับค่า k เพียงค่าเดียว เราต้องใช้การคูณจำนวนเชิงซ้อนจำนวน $N/2 + N/2+1 = N+1$ ครั้ง และการบวกจำนวนเชิงซ้อนอีก $(N/2-1) + (N/2-1) = N-1$ ครั้งซึ่งจำนวนครั้งของการคูณจำนวนเชิงซ้อนมากกว่าในการคำนวณด้วยการแปลงฟูรีเยอร์เต็มหน่วย แต่ถ้าต้องการหา $\{F(k)\}$ ซึ่งประกอบด้วย $F(k)$ สำหรับ $k = 0, 2, \dots, N-1$ การหาจำนวนครั้งของการคำนวณแบ่งเป็น 2 ช่วง ในช่วง $0 \leq k < N/2$ จำนวนครั้งของการคูณจำนวนเชิงซ้อนจะเป็น $(n/2)(N+1) = N(N+1)/2$ ครั้ง และจำนวนครั้งของการบวกจำนวนเชิงซ้อนจะเป็น $(n/2)(N-1) = N(N-1)/2$ ครั้ง ส่วนในช่วง $N/2 \leq k < N$ นั้นเนื่องจากเราไม่ต้องคำนวณ $\sum_{n=0}^{N/2-1} f(2n)w_{N/2}(nk)$ และ $\sum_{n=0}^{N/2-1} f(2n+1)w_{N/2}(nk)$ ในช่วงนี้จึงมีแต่ลักษณะขั้นตอนของการลบจำนวนเชิงซ้อนซึ่งหากเราจะถือว่าการลบจำนวนเชิงซ้อนเป็นเสมือนการบวกชนิดหนึ่งแล้ว จะมีการบวกจำนวนเชิงซ้อนทั้งหมด $(N/2)(1) = N/2$ ครั้ง เมื่อรวมทั้งสองช่วงแล้วจึงจะได้ว่าการแบ่งข้อมูล 1 ครั้งทำให้จำนวนครั้งของการคูณจำนวนเชิงซ้อนเป็น $N(N+1)/2$ ครั้ง และจำนวนครั้งของการบวกจำนวนเชิงซ้อนจะเป็น $N(N-1)/2 + N/2 = N^2/2$ ครั้งซึ่งน้อยกว่ากรณีที่

การคำนวณด้วยการแปลงฟูรีเยอร์เต็มหน่วยมาก

1. การคำนวณจะเป็นในลักษณะแทนที่ นั่นคือตำแหน่งที่ใช้เก็บสัญญาณขาเข้าในตอนเริ่มคำนวณจะถูกเติมด้วยสัญญาณขาออกต่างหากทำให้สามารถประหยัดพื้นที่เก็บข้อมูลได้
2. ลำดับสัญญาณขาเข้าจะต้องถูกจัดลำดับใหม่ก่อนที่จะเริ่มคำนวณ โยที่ข้อมูลตำแหน่งใด ๆ ของลำดับสัญญาณขาเข้าจะต้องถูกย้ายไปเก็บในตำแหน่งใหม่ที่เกิดจากการกลับบิตของค่าตำแหน่งของข้อมูลนั้น ๆ เราเรียกการจัดลำดับแบบนี้ว่า ลำดับกลับบิต (bit-reversed order)

เอกสารนี้เป็นเอกสารที่สงวนไว้สำหรับการใช้งานเพื่อการศึกษาเท่านั้น ไม่อนุญาตให้นำไปใช้ประโยชน์ด้านการค้า ไม่ว่ากรณีใดๆ ทั้งสิ้น อีกทั้งห้ามมิให้ตัดแปลงเนื้อหา และต้องอ้างอิงถึงเจ้าของเอกสารทุกครั้งที่มีการนำไปใช้

ในการหาผลการแปลงฟาสท์ฟูรีเยอร์เราจะได้ผลการแปลงในทุกตำแหน่งมีใช้เพียงตำแหน่งเดียวเหมือนการหาผลการแปลงฟาสท์ฟูรีเยอร์เต็มหน่วย

4.3 การแปลงฟูรีเยอร์ผกผัน

การแปลงฟูรีเยอร์ผกผันของลำดับสัญญาณ 2 มิติกระทำได้จากสมการ 4.3.1

$$f(x,y) = \frac{1}{M} \frac{1}{N} \sum_{n=0}^{N-1} \sum_{m=0}^{M-1} F(n,m) e^{j\frac{2\pi}{M}xm} e^{j\frac{2\pi}{N}ym} \quad (4.3.1)$$

ในการประมวลผลภาพเรายังจะละพจน์ $\frac{1}{M} \frac{1}{N}$ ทั้งนี้เนื่องจาก จะต้องมีการปรับข้อมูลเพื่อให้เหมาะสมกับการแสดงผลบนจอภาพในภายหลังอยู่แล้ว หลังจากที่เราละพจน์ดังกล่าวสมการที่ 4.1.1 จะกลายเป็น

$$f(x,y) = \sum_{n=0}^{N-1} \sum_{m=0}^{M-1} F(n,m) e^{j\frac{2\pi}{M}xm} e^{j\frac{2\pi}{N}ym} \quad (4.3.2)$$

สมการดังกล่าวมีรูปแบบเดียวกับสมการการหาผลการแปลงฟูรีเยอร์เต็มหน่วย 2 มิติ ต่างกันที่เพียงเครื่องหมายของเอ็กซ์โพเนนเท่านั้น ดังนั้นเราสามารถที่จะใช้ฟังก์ชันในการหาผลการแปลงฟูรีเยอร์เต็มหน่วย 2 มิติ มาหาการแปลงฟูรีเยอร์ผกผันได้โดยการหาเครื่องหมายเอ็กซ์โพเนนที่เท่านั้น

4.4 การย้ายตำแหน่งจุดศูนย์กลางของผลการแปลงฟูรีเยอร์เต็มหน่วย

จากคุณสมบัติการซ้ำคาบของผลการแปลงฟูรีเยอร์เต็มหน่วย

$$\begin{aligned} F(u-N,v-N) &= \sum_{n=0}^{N-1} \sum_{m=0}^{M-1} f(n,m) e^{-j\frac{2\pi}{N}((u-N)n+(v-N)m)} \\ &= \sum_{n=0}^{N-1} \sum_{m=0}^{M-1} f(n,m) e^{-j\frac{2\pi}{N}((nu+mv) - j\frac{2\pi}{N}N(n+m))} \\ &= \sum_{n=0}^{N-1} \sum_{m=0}^{M-1} f(n,m) e^{-j\frac{2\pi}{N}(un+vm)} \\ &= F(u,v) \end{aligned}$$

จะทำให้ได้ภาพผลการแปลงเป็นดังรูปที่ 4.1

เอกสารนี้เป็นเอกสารที่สงวนไว้สำหรับการใช้งานเพื่อการศึกษาเท่านั้น ไม่อนุญาตให้นำไปใช้ประโยชน์ด้านการค้า ไม่ว่าจะกรณีใดๆ ทั้งสิ้น อีกทั้งห้ามมิให้ตัดแปลงเนื้อหา และต้องอ้างอิงถึงเจ้าของเอกสารทุกครั้งที่มีการนำไปใช้

ในการหาผลการแปลงฟาสต์ฟูรีเยอร์เราจะได้ผลการแปลงในทุกตำแหน่งมีใจเพียงตำแหน่งเดียวเหมือนการหาผลการแปลงฟาสต์ฟูรีเยอร์เต็มหน่วย

4.3 การแปลงฟูรีเยอร์ผกผัน

การแปลงฟูรีเยอร์ผกผันของลำดับสัญญาณ 2 มิติกระทำได้จากสมการ 4.3.1

$$f(x,y) = \frac{1}{M} \frac{1}{N} \sum_{n=0}^{N-1} \sum_{m=0}^{M-1} F(n,m) e^{j\frac{2\pi}{M}xm} e^{j\frac{2\pi}{N}ym} \quad (4.3.1)$$

ในการประมวลผลภาพเรามักจะละพจน์ $\frac{1}{M} \frac{1}{N}$ ที่เนื่องจาก จะต้องมีการปรับข้อมูลเพื่อให้เหมาะสมกับการแสดงผลบนจอภาพในภายหลังอยู่แล้ว หลังจากที่เราละพจน์ดังกล่าวสมการที่ 4.1.1 จะกลายเป็น

$$f(x,y) = \sum_{n=0}^{N-1} \sum_{m=0}^{M-1} F(n,m) e^{j\frac{2\pi}{M}xm} e^{j\frac{2\pi}{N}ym} \quad (4.3.2)$$

สมการดังกล่าวมีรูปแบบเดียวกับสมการการหาผลการแปลงฟูรีเยอร์เต็มหน่วย 2 มิติ ต่างกันที่เพียงเครื่องหมายของเอ็กซ์โพเนนตนั้น ดังนั้นเราสามารถที่จะใช้ฟังก์ชันในการหาผลการแปลงฟูรีเยอร์เต็มหน่วย 2 มิติ มาหาการแปลงฟูรีเยอร์ผกผันได้โดยการหาเครื่องหมายเอ็กซ์โพเนนตเท่านั้น

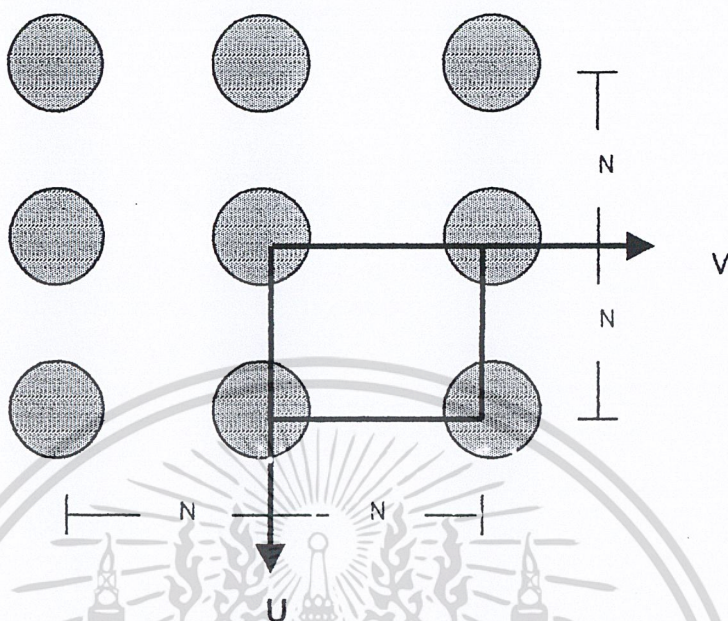
4.4 การย้ายตำแหน่งจุดศูนย์กลางของผลการแปลงฟูรีเยอร์เต็มหน่วย

จากคุณสมบัติการซ้ำคาบของผลการแปลงฟูรีเยอร์เต็มหน่วย

$$\begin{aligned} F(u-N,v-N) &= \sum_{n=0}^{N-1} \sum_{m=0}^{M-1} f(n,m) e^{-j\frac{2\pi}{N}((u-N)n+(v-N)m)} \\ &= \sum_{n=0}^{N-1} \sum_{m=0}^{M-1} f(n,m) e^{-j\frac{2\pi}{N}((nu+mv) - N(n+m))} e^{j\frac{2\pi}{N}N(n+m)} \\ &= \sum_{n=0}^{N-1} \sum_{m=0}^{M-1} f(n,m) e^{-j\frac{2\pi}{N}(un+vm)} \\ &= F(u,v) \end{aligned}$$

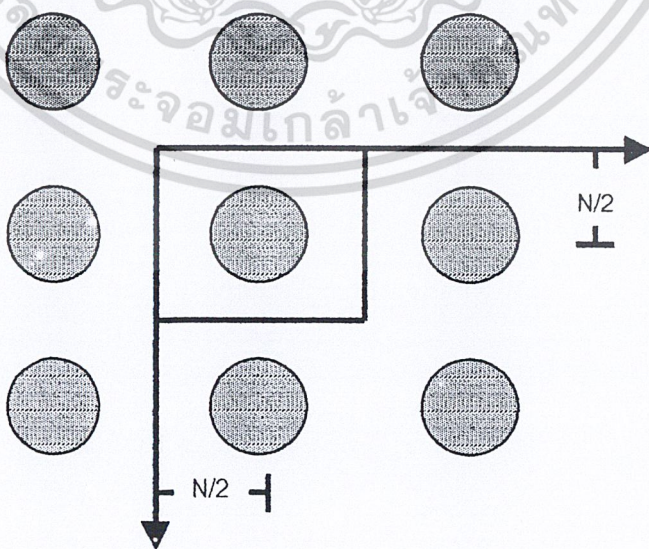
จะทำให้ได้ภาพผลการแปลงเป็นดังรูปที่ 4.1

เอกสารนี้เป็นเอกสารที่สงวนไว้สำหรับการใช้งานเพื่อการศึกษาเท่านั้น ไม่อนุญาตให้นำไปใช้ประโยชน์ด้านการค้า ไม่ว่าจะกรณีใดๆ ทั้งสิ้น อีกทั้งห้ามมิให้ตัดแปลงเนื้อหา และต้องอ้างอิงถึงเจ้าของเอกสารทุกครั้งที่มีการนำไปใช้



รูปที่ 4.1 การซ้ำคาบของผลการแปลงฟูรีเยอร์เต็มหน่วย

การแปลงฟูรีเยอร์เต็มหน่วย และการแปลงฟาสท์ฟูรีเยอร์ที่กล่าวมาข้างต้นจะให้ภาพผลการแปลงคั้งที่เห็นเป็นบริเวณสี่เหลี่ยมในรูปที่ 4.1 ซึ่งลักษณะไม่สะดวกในการวิเคราะห์เนื่องจากจุดศูนย์กลางของผลการแปลงฟูรีเยอร์เต็มหน่วยอยู่ที่บริเวณมุมซ้ายบนของภาพ การย้ายจุดศูนย์กลางคือ การทำให้จุดศูนย์กลางเคลื่อนไปอยู่ที่จุดกึ่งกลางภาพคั้งแสดงไว้ในรูปที่ 4.2



รูปที่ 4.2 แสดงการย้ายจุดกำเนิดเพื่อความสะดวกในการมอง

เอกสารนี้เป็นเอกสารที่สงวนไว้สำหรับการใช้งานเพื่อการศึกษาเท่านั้น ไม่อนุญาตให้นำไปใช้ประโยชน์ด้านการค้า ไม่ว่ากรณีใดๆ ทั้งสิ้น อีกทั้งห้ามมิให้ตัดแปลงเนื้อหา และต้องอ้างอิงถึงเจ้าของเอกสารทุกครั้งที่มีการนำไปใช้

เนื่องจาก $F(u,v)$ จะซ้ำคาบทุก ๆ N ดังนั้นหากเราต้องการให้จุดศูนย์กลางอยู่ที่จุดกึ่งกลางภาพ เราต้องเลื่อนผลการแปลงฟูรีเยอร์เต็มหน่วยทั้งในแนว u และ v แนวละ $N/2$ โดยการแทน $u = u + N/2$ และ $v = v + N/2$ ในสมการการหาผลการแปลงฟูรีเยอร์เต็มหน่วย 2 มิติ (สมการที่ 4.1.2) จะได้ว่า

$$\begin{aligned}
 F\left(u + \frac{N}{2}, v + \frac{N}{2}\right) &= \sum_{n=0}^{N-1} \sum_{m=0}^{M-1} f(n, m) e^{-j\frac{2\pi}{N}\left(\left(u + \frac{N}{2}\right)n + \left(v + \frac{N}{2}\right)m\right)} \\
 &= \sum_{n=0}^{N-1} \sum_{m=0}^{M-1} f(n, m) e^{-j\frac{2\pi}{N}\left((u+v)m + \frac{N}{2}(n+m)\right)} \\
 &= \sum_{n=0}^{N-1} \sum_{m=0}^{M-1} f(n, m) e^{-j\pi(n+m)} e^{-j\frac{2\pi}{N}(un+vm)} \\
 F\left(u + \frac{N}{2}, v + \frac{N}{2}\right) &= \sum_{n=0}^{N-1} \sum_{m=0}^{M-1} f(n, m) (-1)^{(n+m)} e^{-j\frac{2\pi}{N}(un+vm)} \quad (4.4.1)
 \end{aligned}$$

สมการ 4.3.1 เป็นการแปลงฟูรีเยอร์เต็มหน่วยซึ่งมีการย้ายจุดศูนย์กลางของผลการแปลงด้วยซึ่งเราสามารถนำการแปลงฟาสต์ฟูรีเยอร์มาใช้คำนวณเพื่อให้การคำนวณใช้เวลาสั้นลง แต่เนื่องจากการไม่สะดวกที่จะแก้ไขกระบวนการแปลงฟูรีเยอร์ ในปริภูมิพิกัดนี้จึงต้องไปใช้วิธีการเปลี่ยนสัญญาณขาเข้า $\{f(x,y)\}$ ให้กลายเป็นลำดับสัญญาณ $\{f(x,y)\}$ โดย $f(x,y) = f(x,y)(-1)^{(x+y)}$ แล้วนำไปหาผลการแปลงฟูรีเยอร์เต็มหน่วยหรือการแปลงฟาสต์ฟูรีเยอร์ดังแสดงไว้ในสมการ 4.4.2

$$F\left(u + \frac{N}{2}, v + \frac{N}{2}\right) = \sum_{n=0}^{N-1} \sum_{m=0}^{M-1} f'(n, m) e^{-j\frac{2\pi}{N}(un+vm)}, \quad f(x,y) = f(x,y)(-1)^{(x+y)} \quad (4.4.2)$$

สำหรับในคอนแปลงผกผันนั้น ผลการแปลงผกผันที่ได้จะเป็น $\{f(x,y)\}$ เราจึงต้องเปลี่ยนกลับเป็น $\{f(x,y)\}$ ดังนี้

$$\begin{aligned}
 f(x,y) &= f(x,y)(-1)^{(x+y)} \\
 f(x,y)(-1)^{(x+y)} &= f(x,y)(-1)^{(x+y)}(-1)^{(x+y)} \\
 &= f(x,y)(-1)^{2(x+y)} \\
 f(x,y)(-1)^{(x+y)} &= f(x,y)(-1) \quad (4.4.3)
 \end{aligned}$$

สมการ 4.3.3 จะใช้สำหรับเปลี่ยน $\{f(x,y)\}$ กลับเป็น $\{f(x,y)\}$ ตามเดิม

เอกสารนี้เป็นเอกสารที่สงวนไว้สำหรับการใช้งานเพื่อการศึกษาเท่านั้น ไม่อนุญาตให้นำไปใช้ประโยชน์ด้านการค้า ไม่ว่ากรณีใดๆ ทั้งสิ้น อีกทั้งห้ามมิให้ตัดแปลงเนื้อหา และต้องอ้างอิงถึงเจ้าของเอกสารทุกครั้งที่มีการนำไปใช้

บทที่ 5

การประมวลผลสัญญาณ

5.1 กระบวนการในโดเมนความถี่

พื้นฐานของการกระทำทางโดเมนความถี่คือทฤษฎีการประสาน (convolution) ให้ $g(x,y)$ เป็นภาพที่ได้จากการประสานภาพ $f(x,y)$ กับตัวจัดการตำแหน่งยืนเชิงเส้น (Linear, Position – invariant Operator) $h(x,y)$ ที่มีความสัมพันธ์ดังสมการที่ 5.1

$$g(x,y) = h(x,y) * f(x,y) \quad (5.1.1)$$

จากทฤษฎีการประสานในบทที่แล้วเราจะได้ความสัมพันธ์ในโดเมนความถี่คือ

$$G(u,v) = H(u,v)F(u,v) \quad (5.1.2)$$

เมื่อ $G(u,v)$, $H(u,v)$ และ $F(u,v)$ เป็นผลการแปลงฟูรีเยอร์ ของ $g(x,y)$, $h(x,y)$ และ $f(x,y)$ ตามลำดับ $H(u,v)$ บางทีก็เรียกว่าฟังก์ชันถ่ายโอน (Transfer Eunction) ของกระบวนการ

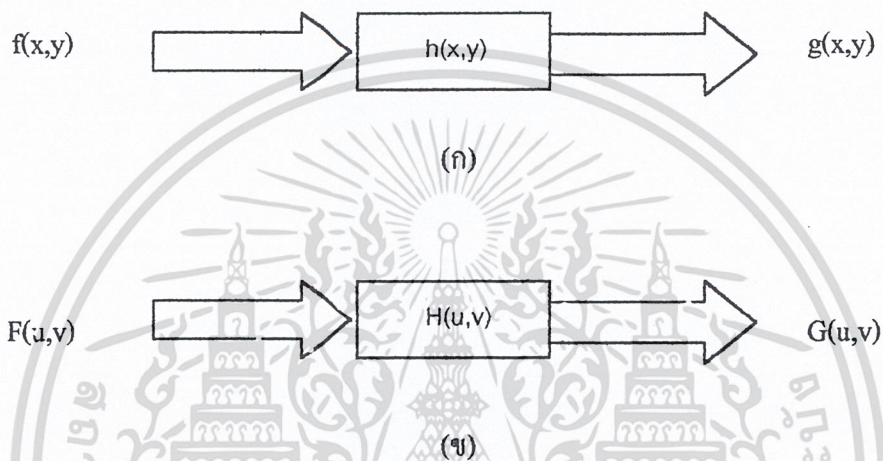
การปรับปรุงภาพสามารถกระทำได้ในรูปแบบของสมการที่ 5.1.2 โดยทั่วไปแล้วการปรับปรุงภาพ ภาพ $f(x,y)$ จะให้มาและเรารู้ที่เราต้องการ จะทำโดยการแปลงฟูรีเยอร์ $F(u,v)$ จากการนั้นนำไปคูณกับ $H(u,v)$ ที่เลือกให้เหมาะกับภาพที่ต้องการปรับปรุง แล้วทำการแปลงฟูรีเยอร์ผกผันกับ ผลการคูณ ดังนั้นภาพที่ปรับปรุงจะได้จากสมการที่ 5.1.3

$$g(x,y) = IFFT [H(u,v)F(u,v)] \quad (5.1.3)$$

การแสดงจุดเด่นบางประการของภาพ $f(x,y)$ อย่างเช่นขอบภาพใน $f(x,y)$ สามารถเน้นได้โดยการเลือกใช้ฟังก์ชัน $H(u,v)$ ที่ขยายส่วนความถี่สูงของ $F(u,v)$ ที่จะกล่าวถึงในหัวข้อ 5.2

ในรูปที่ 5.1(ก) $h(x,y)$ เป็นตัวกำหนดคุณสมบัติของระบบ ซึ่งมี ฟังก์ชันที่จะผลิต $g(x,y)$ จากภาพอินพุต $f(x,y)$ ระบบจะทำการประสาน $h(x,y)$ กับ ภาพอินพุต $f(x,y)$ แล้วได้ผลลัพธ์ที่เอาท์พุท

เป็น $g(x,y)$ จากทฤษฎีการประสานเราสามารถใช่วิธีอื่นในการที่จะได้มาซึ่งผลอันเดียวกัน โดยการทำให้โดเมนความถี่ โดยการคูณ $F(u,v)$ ด้วย $H(u,v)$ จะได้ $G(u,v)$ แล้วทำการแปลงฟูรีเยอร์ผกผันที่เอาท์พุทจะได้ภาพตามที่ต้องการ



รูปที่ 5.1 แสดงการจัดการของระบบเชิงเส้น (ก) เอาท์พุทของระบบเป็นการประสาน $h(x,y)$ กับอินพุท (ข) เอาท์พุทเป็นผลคูณของ $H(u,v)$ กับอินพุท

ถ้าเราไม่รู้ $h(x,y)$ แล้วเราป้อนฟังก์ชันอิมพัลส์หนึ่งหน่วย (unit impulses function) ให้กับระบบ เราทราบกันดีว่าผลการแปลงฟูรีเยอร์ของอิมพัลส์ฟังก์ชันเท่ากับ 1 ดังนั้นจากสมการที่ 5.1.2 ได้ $G(u,v) = H(u,v)$ ผลการแปลงฟูรีเยอร์ผกผันจะได้ $h(x,y)$ ผลนี้เป็นที่รู้จักกันดีในทฤษฎีระบบเชิงเส้น (liner system theory) ว่าเป็นระบบตำแหน่งยืนของเชิงเส้น (liner , position invariant system) ซึ่งแสดงคุณสมบัติของการตอบสนองอิมพัลส์ ถ้าผลการแปลงฟูรีเยอร์ของอิมพัลส์ถูกป้อนให้ระบบเอาท์พุทของระบบจะเป็นฟังก์ชันถ่ายโอนของระบบ $H(u,v)$ หรือกล่าวอีกนัยหนึ่งว่าป้อนอิมพัลส์โดยตรงจะได้ $h(x,y)$ ที่เอาท์พุท ซึ่ง $h(x,y)$ นี้จะเรียกว่าผลการตอบสนองอิมพัลส์ (impulses response)

ในสมการที่ 5.1.1 อธิบายการกระทำทาง สเปเชียลซึ่งใช้การมาสก์ ที่กล่าวถึงในส่วนก่อนหน้า ในความเป็นจริงแล้วเป็นการประสานเชิงเลข (discrete convolution) จากเหตุผลนี้ สเปเชียลมาสก์ ที่กล่าวถึงในส่วนก่อนหน้ามักจะเรียกว่าการประสานมาสก์ แต่อย่างไรก็ตามจุดประสงค์หลักที่จะสนับสนุนนี้ จากทฤษฎีการประสาน ต้องการว่า $H(u,v)$ กับ $h(x,y)$ ต้องมีขนาดเดียวกัน ยกตัวอย่าง

เช่น ถ้า $H(u,v)$ มีขนาด 512×512 $h(x,y)$ มีขนาด 512×512 เช่นกัน จากสมการ 5.1.1 จะให้ผลในสเปซเฟด ที่เท่ากันก็ต่อเมื่อ $h(x,y)$ มีขนาดเท่ากัน การประสานเชิงเลข กับอาเรย์ขนาดใหญ่จะมีประสิทธิภาพมากกว่า ถ้าทำในโดเมนความถี่โดยใช้ การแปลงฟาสต์ฟูริเยอร์ (Fast Fourier Transform หรือ FFT) เข้าช่วย ในตอนหลังเราสามารถพัฒนาวิธีการที่จะใช้การประสานผาสก์เล็ก ๆ ในสเปซเฟดโดเมน ที่ได้จากการประมาณค่าของ $H(u,v)$ แบบกำลังสองผิดพลาดน้อยที่สุด (least-square error) สามารถใช้กับการประมวลผลทางสเปซเฟดได้ดี

5.2 ตัวกรอง 2 มิติ (Filter)

ตัวกรองคือฟังก์ชันที่แปรผันตามความถี่สามารถแบ่งได้เป็นหลายชนิดตามผลการตอบสนองความถี่เช่น ตัวกรองผ่านความถี่ต่ำ (Lowpass Filter) ตัวกรองผ่านความถี่สูง (Highpass Filter), ตัวกรองผ่านแถบความถี่ (Bandpass Filter) และตัวกรองหยุดแถบความถี่ (Bandrestop Filter) เป็นต้น ในตอนนี้จะกล่าวถึงตัวกรองที่สำคัญเท่านั้น

5.2.1 ตัวกรองผ่านความถี่ต่ำ (Lowpass Filter)

ขอบของภาพ และการเปลี่ยนแปลงอย่างฉับพลัน (เช่น นอยส์ (Noise)) ในระดับความสว่างของภาพ มักจะประกอบด้วยองค์ประกอบความถี่สูงในโดเมนความถี่ของการแปลงฟูริเยอร์ การจะทำให้ภาพนุ่มนวลขึ้น หรือเบลอ สามารถทำได้ในโดเมนความถี่ของภาพ โดยการลดทอนองค์ประกอบความถี่สูงในโดเมนความถี่ในช่วงที่กำหนดจากสมการ 5.1.2 เราจะได้ความสัมพันธ์คือ

$$G(u,v) = H(u,v)F(u,v) \quad (5.2.1)$$

เมื่อ $F(u,v)$ เป็นผลการแปลงฟูริเยอร์ของภาพที่เราต้องการทำให้นุ่มนวลขึ้น ปัญหาคือเราจะหาฟังก์ชัน $H(u,v)$ ที่ให้ $G(u,v)$ ที่เป็นการลดทอนองค์ประกอบความถี่สูงของ $F(u,v)$ ได้อย่างไร การแปลงฟูริเยอร์ผกผันของ $G(u,v)$ จะได้ภาพ $g(x,y)$ ที่นุ่มนวลขึ้น เนื่องจากองค์ประกอบความถี่ถูกกรองออกไป ส่วนองค์ประกอบความถี่ต่ำผ่านไปโดยไม่มีการลดทอน วิธีการที่กล่าวมานี้เรียกว่าการกรองความถี่ต่ำผ่าน ฟังก์ชัน $H(u,v)$ ที่กล่าวถึง ในที่นี้เรียกว่า ฟังก์ชันถ่ายโอนของตัวกรอง (Filter Transfer Function) ตัวกรองจะเป็นฟังก์ชันที่มีผลต่อส่วนจริง และส่วนจินตภาพของผลการแปลงฟูริเยอร์ $F(u,v)$ เนื่องจากตัวกรองควรที่จะเป็นแบบไม่มีการเลื่อนเฟส (Zero - phase shift) เพราะว่าเฟสเป็นส่วนสำคัญของภาพจึงไม่ควรถูกรบกวน

(ก) ตัวกรองผ่านความถี่ต่ำอุดมคติ

ตัวกรองผ่านความถี่สูงอุดมคติ ได้นิยามฟังก์ชันถ่ายโอนความสัมพันธ์ดังนี้

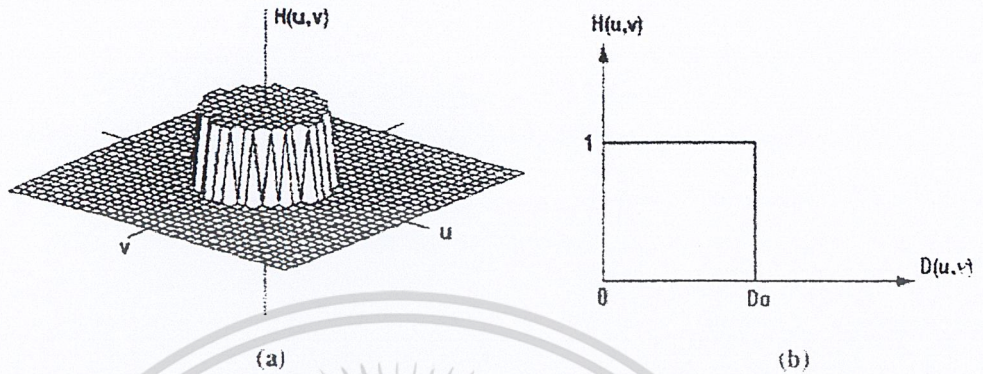
$$H(u,v) = \begin{cases} 0 & \text{if } D(u,v) > D_0 \\ 1 & \text{if } D(u,v) \leq D_0 \end{cases} \quad (5.2.2)$$

เมื่อ D_0 เป็นจำนวนจริงบวก และ $D(u,v)$ เป็นระยะของจุด (u,v) ถึง จุดกำเนิด (origin) ในแกนความถี่ซึ่งมีค่าดังแสดงความสัมพันธ์ในสมการที่ 5.2.3

$$D(u,v) = (u^2 + v^2)^{1/2} \quad (5.2.3)$$

ภาพ 3 มิติแสดงฟังก์ชันของตัวกรองผ่านความถี่สูงอุดมคติ แสดงไว้ในรูปที่ 5.1 ซึ่งอาจอธิบายได้ว่าทุกค่าความถี่ในวงกลมรัศมี D_0 ซึ่งเป็นความถี่ต่ำจะผ่านไปโดยไม่มีการลดทอน แต่ในขณะที่ทุกค่าความถี่ภายนอกวงกลมซึ่งเป็นความถี่สูงจะถูกลดทอนลงอย่างสิ้นเชิง

ตัวกรองผ่านความถี่ต่ำในที่นี้จะ เป็นแบบสมมาตรรอบจุดกำเนิด เพื่อให้ตัวกรองนั้นมีคุณสมบัติเพียงพอกับข้อกำหนดที่ต้องการ ภาพตัดขวางของตัวกรองเป็นฟังก์ชันของระยะทางจากจุดกำเนิดตามแนวรัศมีดังแสดงในรูปที่ 5.2(b) ฟังก์ชันถ่ายโอนที่สมบูรณ์ของตัวกรองสามารถสร้างโดยการหมุนภาคตัดขวางไป 360 องศารอบจุดกำเนิด ซึ่งมีจุดศูนย์กลางที่จุดกึ่งกลางระนาบความถี่ รูปทรงสี่เหลี่ยมจัตุรัสขนาด $N \times N$ ของภาพ เนื่องจากว่าจุดกำเนิดของผลการแปลงฟูริเยอร์ $F(u,v)$ มีศูนย์กลางที่จุดกึ่งกลางของสี่เหลี่ยมจัตุรัส



รูปที่ 5.2 แสดงตัวกรองผ่านความถี่สูงอุดมคติ (a) แสดงรูป 3 มิติ (b) แสดงภาพตัดขวาง

สำหรับตัวกรองผ่านความถี่สูงอุดมคติระหว่าง $H(u,v) = 1$ จะเรียกว่าความถี่คัทออฟ (cut-off frequency) เช่นความถี่คัทออฟ ของรูปที่ 5.2 (b) คือ D_0 จากภาคตัดขวางถูกนำมาหมุนรอบจุดกำเนิดที่ D_0 จะกลายเป็นขอบของวงกลม และจุดมีคัทออฟที่มีระยะห่างจากจุดกำเนิด D_0 เราพบว่าค่าความถี่คัทออฟนี้จะเป็นประโยชน์ในการกำหนดคุณสมบัติของตัวกรองต่าง ๆ และใช้เป็นพื้นฐานในการเปรียบเทียบคุณลักษณะของตัวกรองชนิดต่าง ๆ

สำหรับคัทออฟที่คมดังแสดงในรูปที่ 5.2 นี้จะไม่สามารถที่จะสังเคราะห์เป็นวงจรอิเล็กทรอนิกส์ได้ แต่เราสามารถทำการสร้าง (simulate) ด้วยคอมพิวเตอร์ได้

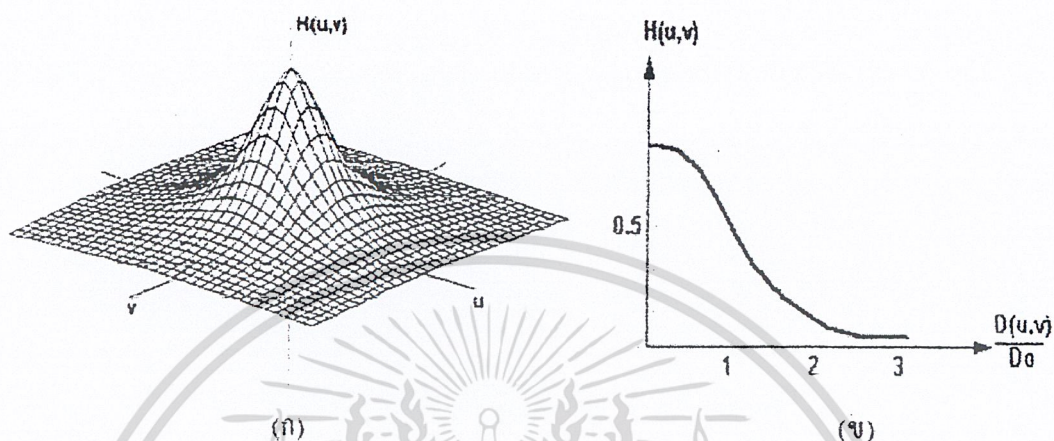
(ข) ตัวกรองผ่านความถี่ต่ำบัตเตอร์เวอร์ธ

ตัวกรองความถี่ต่ำบัตเตอร์เวอร์ธอันดับ n (order n) ที่มีความถี่คัทออฟ D_0 นิยามไว้ด้วยความสัมพันธ์ดังนี้

$$H(u,v) = \frac{1}{1 + [D(u,v)/D_0]^{2n}} \quad (5.2.4)$$

ซึ่งมีภาพ 3 มิติแสดงไว้ในรูปที่ 5.3 ตัวกรองความถี่ต่ำบัตเตอร์เวอร์ธไม่มีช่วงคัทออฟที่คมซึ่งแยกแถบผ่าน (pass band) กับแถบหยุด (stop band) ivo อย่างชัดเจน แต่จะมีช่วงเปลี่ยนสถานะ (transition band) ที่เรียงดังรูปที่ 5.3

เอกสารนี้เป็นเอกสารที่สงวนไว้สำหรับการใช้งานเพื่อการศึกษาเท่านั้น ไม่อนุญาตให้นำไปใช้ประโยชน์ด้านการค้าไม่ว่ากรณีใดๆ ทั้งสิ้น อีกทั้งห้ามมิให้ตัดแปลงเนื้อหา และต้องอ้างอิงถึงเจ้าของเอกสารทุกครั้งที่มีการนำไปใช้



รูปที่ 5.3 แสดง Butterworth Lowpass Filter
(ก) แสดงรูป 3 มิติ (ข) แสดงภาพตัดขวาง

ในสมการที่ 5.2.4 เราพบว่าที่ความถี่คutoff $D(u,v) = D_0$ ค่า $H(u,v)$ จะลดลงเหลือ 1/2 หรือ 50% จากค่าสูงสุดซึ่งโดยส่วนใหญ่เราจะใช้ $H(u,v) = 1/2$ หรือ 70.7% ของค่าสูงสุดเป็นค่า $H(u,v)$ ที่ความถี่คutoff ดังนั้นเราสามารถปรับปรุงสมการที่ 5.2.4 ได้โดยง่ายเป็น

$$H(u,v) = \frac{1}{1 + (\sqrt{2} - 1)[D(u,v) / D_0]^{2n}} \quad (5.2.5a)$$

$$H(u,v) = \frac{1}{1 + (0.414)[D(u,v) / D_0]^{2n}} \quad (5.2.5b)$$

5.2.2 ตัวกรองผ่านความถี่สูง

ภาพสามารถถูกทำให้เบลอได้ โดยการลดทอนส่วนความถี่สูงของภาพในโดเมนความถี่ หรือนำไปผ่านตัวกรองความถี่ต่ำ ส่วนของภาพที่เป็นขอบ และที่มีการเปลี่ยนแปลงอย่างฉับพลันขอบระดับสีเทา (gray level) นั้นจะประกอบด้วยองค์ประกอบความถี่สูง ดังนั้นการทำภาพให้คมชัดขึ้น

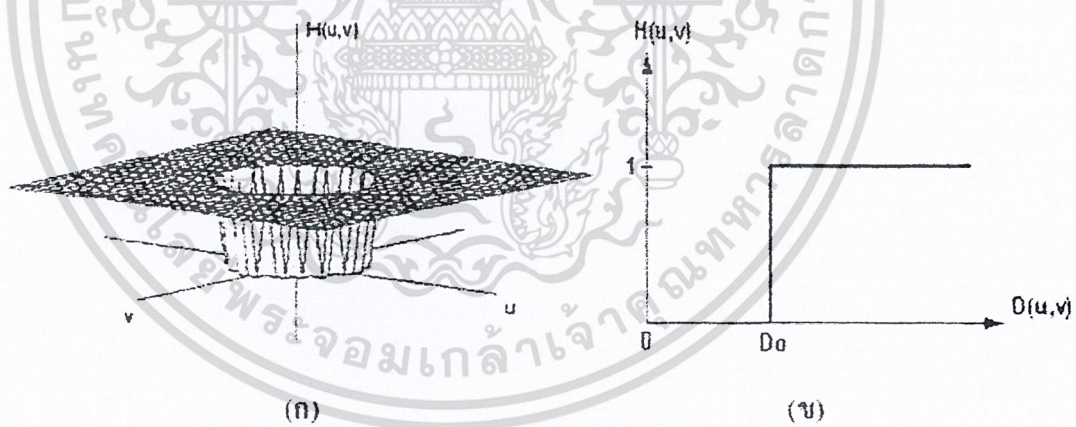
เอกสารนี้เป็นเอกสารที่สงวนไว้สำหรับการใช้งานเพื่อการศึกษาเท่านั้น ไม่อนุญาตให้นำไปใช้ประโยชน์ด้านการค้า ไม่ว่าจะกรณีใดๆ ทั้งสิ้น อีกทั้งห้ามมิให้คัดแปลงเนื้อหา และต้องอ้างอิงถึงเจ้าของเอกสารทุกครั้งที่มีการนำไปใช้

สามารถทำได้ โดยกระบวนการกรองผ่านความถี่สูง ซึ่งทำโดยลดทอนส่วนความถี่ต่ำโดยที่ไม่ลดทอนความสูง

(ก) ตัวกรองผ่านความถี่สูงอุดมคติ
ตัวกรองผ่านความถี่สูง 2 มิติอุดมคติ สามารถให้คำจำกัดความได้ดังนี้

$$H(u,v) = \begin{cases} 0 & \text{if } D(u,v) \leq D_0 \\ 1 & \text{if } D(u,v) > D_0 \end{cases} \quad (5.2.6)$$

เมื่อ D_0 คือค่าระยะคลื่นที่วัดจากจุดกำเนิดและ $D(u,v)$ มีค่าตามสมการ 5.2.3 รูป 3 มิติและภาคตัดขวางของฟังก์ชันตัวกรองแสดงไว้ในรูปที่ 4.7(ก) ซึ่งจะเห็นได้ว่าตัวกรองนี้ตรงกันข้ามกับตัวลงอย่างสิ้นเชิง ขณะเดียวกันองค์ประกอบความถี่สูงภายนอกวงกลมจะผ่านไปโดยไม่มีการลดทอนเช่นเดียวกับตัวกรองผ่านความถี่ต่ำอุดมคติ ตัวกรองนี้ก็ไม่สามารถทำให้เป็นจริงได้ทางกายภาพ

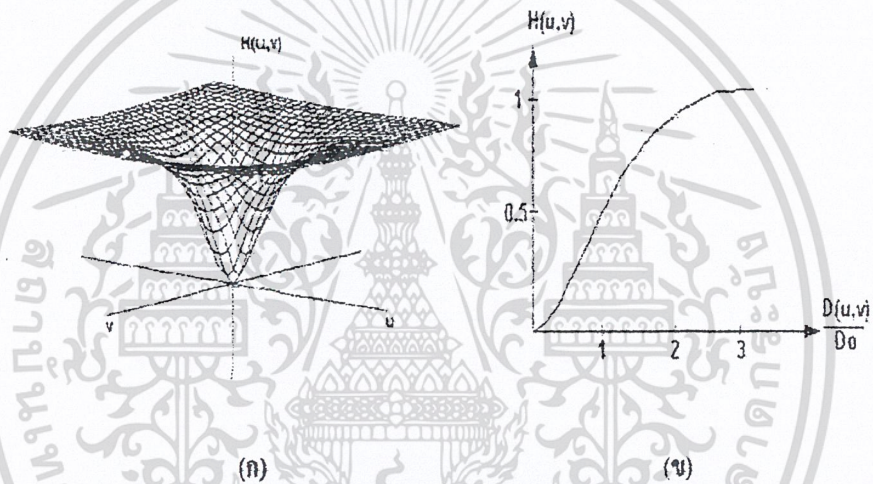


รูปที่ 5.4 แสดงตัวกรองผ่านความถี่สูงอุดมคติ
(ก) แสดงรูป 3 มิติ (ข) แสดงภาพตัดขวาง

(ข) ตัวกรองความถี่สูงผ่านบัตเตอร์เวิร์ธ

ฟังก์ชันถ่ายโอนของตัวกรองผ่านความถี่สูงแบบบัตเตอร์เวิร์ธอันดับ n และความถี่คutoff ที่ระยะ D_0 จากจุดกำเนิดสามารถแสดงด้วยความสัมพันธ์

$$H(u,v) = \frac{1}{1 + [D_0 / D(u,v)]^{2n}} \tag{5.2.7}$$



รูปที่ 5.5 แสดงตัวกรองผ่านความถี่สูงแบบบัตเตอร์เวิร์ธ
(ก) แสดงรูป 3 มิติ (ข) แสดงภาพตัดขวาง

จากสมการ 5.2.7 ที่คutoff $D(u,v) = D_0$ $H(u,v)$ จะมีค่าลดลงเหลือ 1/2 ของค่าสูงสุดเช่นเดียวกับ ตัวกรองผ่านความถี่ต่ำแบบบัตเตอร์เวิร์ธ เป็นธรรมดาที่จะให้ค่าของ $H(u,v)$ ที่ความถี่คutoff มีค่าลดลงเหลือ $1/\sqrt{2}$ ของค่าสูงสุดสมการ 5.2.7 สามารถปรับปรุงให้สอดคล้องตามต้องการอย่างง่ายดาย โดยการจัดระดับ จะได้เป็นสมการที่ 5.2.8

$$H(u,v) = \frac{1}{1 + (\sqrt{2} - 1)[D_0 / D(u,v)]^{2n}} \tag{5.2.8a}$$

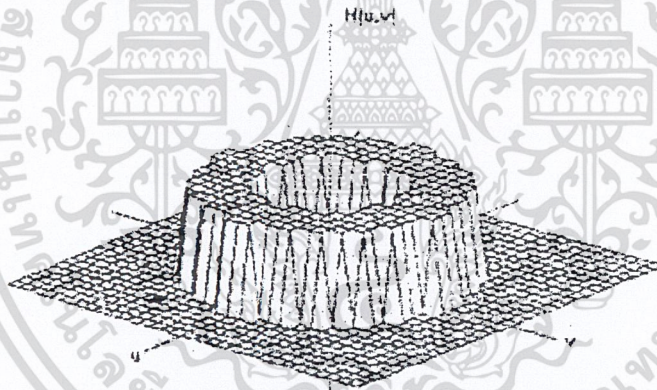
$$H(u,v) = \frac{1}{1 + (0.414)[D_0 / D(u,v)]^{2n}} \tag{5.2.8b}$$

5.2.3 ตัวกรองผ่านช่วงความถี่อุดมคติ

ตัวกรองผ่านช่วงความถี่ผ่านอุดมคติ นิยามฟังก์ชันถ่ายโอนไว้ด้วยความสัมพันธ์ดังนี้

$$H(u,v) = \begin{cases} 0 & \text{if } D(u,v) < D_1 \text{ และ } D(u,v) > D_2 \\ 1 & \text{if } D_1 \leq D(u,v) \leq D_2 \end{cases} \quad (5.2.9)$$

เมื่อ D_1 และ D_2 เป็นจำนวนจริงบวก $D_2 > D_1$ และ $D(u,v)$ เป็นระยะของจุด (u,v) ถึงจุดกำเนิดในแกนความถี่ ภาพ 3 มีคิแสดงฟังก์ชันของตัวกรองผ่านช่วงความถี่อุดมคติแสดงไว้ในรูปที่ 5.5 ซึ่งอาจอธิบายได้ว่า ทุกค่าความถี่ในวงแหวนรัศมี D_1 , D_2 จะผ่านไปโดยไม่มีการลดทอน แต่ในขณะที่ทุกค่าความถี่ภายนอกวงแหวนจะถูกลดทอนลงอย่างสิ้นเชิง



รูปที่ 5.6 แสดงตัวกรองผ่านช่วงความถี่

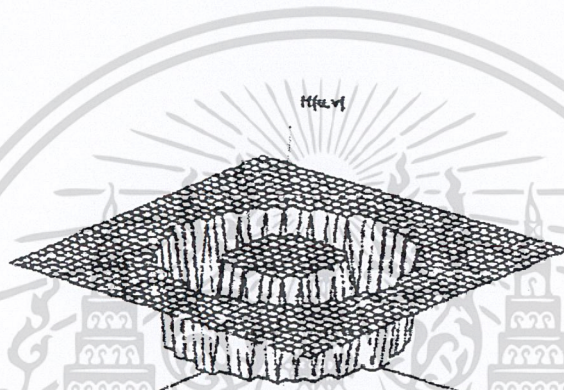
5.2.4 ตัวกรองหยุดช่วงความถี่อุดมคติ

ตัวกรองหยุดช่วงความถี่อุดมคติ นิยาม ฟังก์ชันถ่ายโอนไว้ด้วยความสัมพันธ์ดังนี้

$$H(u,v) = \begin{cases} 0 & \text{if } D_1 \leq D(u,v) \leq D_2 \\ 1 & \text{if } D(u,v) < D_1 \text{ และ } D(u,v) > D_2 \end{cases} \quad (5.2.10)$$

เอกสารนี้เป็นเอกสารที่สงวนไว้สำหรับการใช้งานเพื่อการศึกษาเท่านั้น ไม่อนุญาตให้นำไปใช้ประโยชน์ด้านการค้า ไม่ว่าจะกรณีใดๆ ทั้งสิ้น อีกทั้งห้ามมิให้ตัดแปลงเนื้อหา และต้องอ้างอิงถึงเจ้าของเอกสารทุกครั้งที่มีการนำไปใช้

เมื่อ D_1 และ D_2 เป็นจำนวนจริงบวก $D_2 > D_1$ และ $D(u,v)$ เป็นระยะของจุด (u,v) ถึงจุดกำเนิด ในแกนความถี่ภาพ 3 มิติ แสดงฟังก์ชันของตัวกรองหยุดช่วงความถี่คูลอมบ์ แสดงไว้ในรูปที่ 5.6 ซึ่งอาจอธิบายได้ว่า ทุกค่าความถี่นอกวงแหวนรัศมี D_1, D_2 จะผ่านไปโดยไม่มีกรลทอน แต่ในขณะที่ทุกค่าความถี่ภายในวงแหวนจะถูกลดลงอย่างสิ้นเชิง

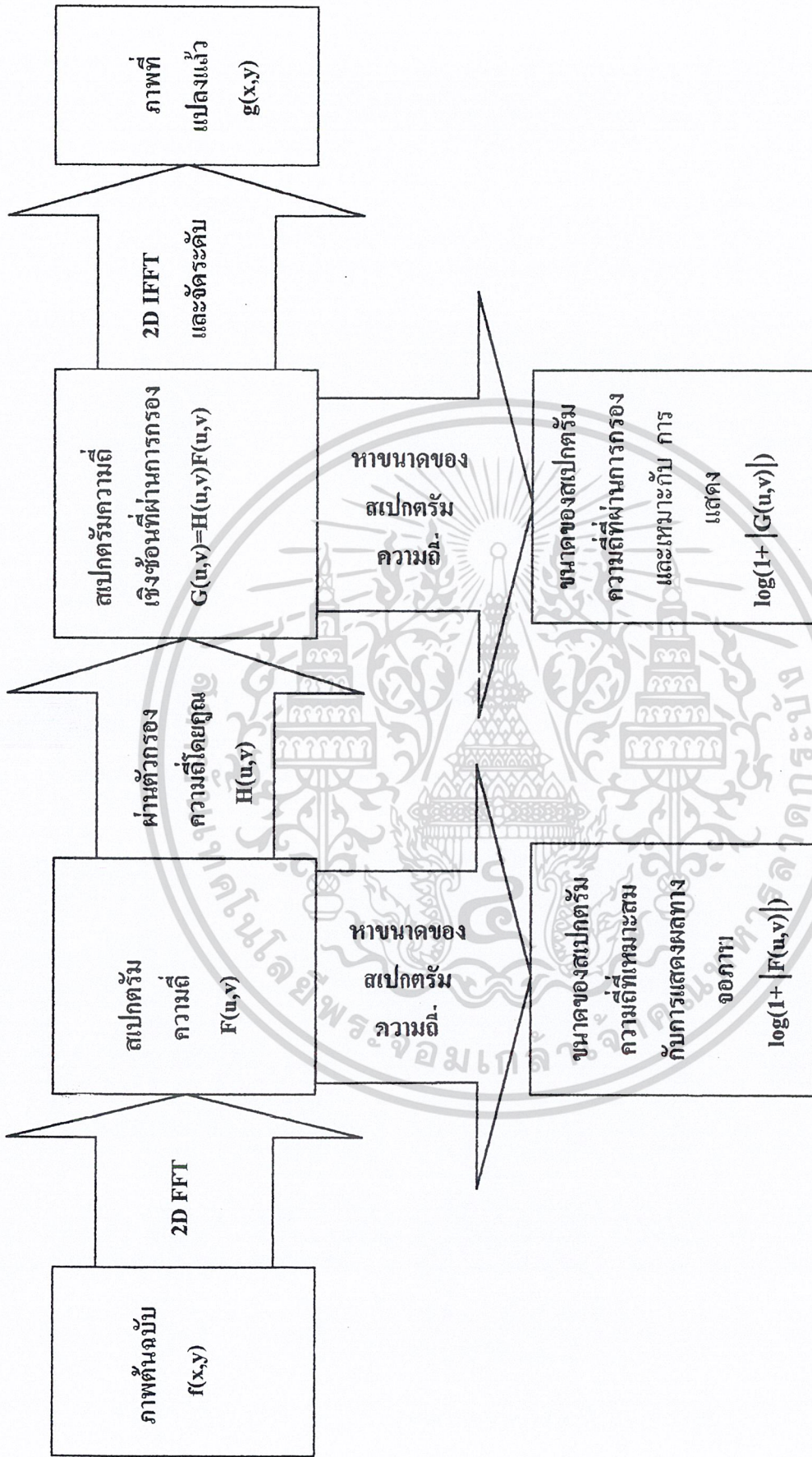


รูปที่ 5.7 แสดงตัวกรองหยุดช่วงความถี่

5.3 การกรองภาพระดับสีเทา

ในปริภูมิพิกัดนี้ใช้ กระบวนการทางโดเมนความถี่ในการทำการกรอง โดยจะทำการแปลงภาพต้นฉบับ $f(x,y)$ ซึ่งเป็นภาพระดับสีเทา 256 ระดับ ให้อยู่ในโดเมนความถี่โดยการแปลงฟูริเยอร์ (FFT) ซึ่งจะได้ $F(u,v)$ เป็นผลของการเปลี่ยนแปลง ทำการหาขนาดและจัดระดับ $F(u,v)$ ให้เหมาะสมกับการแสดงผลโดยการบีบอัดไดนามิกเรจัน นำโดเมนความถี่ของภาพ $F(u,v)$ มาทำการคูณกับฟังก์ชันถ่ายโอน $H(u,v)$ ของตัวกรองที่คำนวณค่าตามชนิดของตัวกรอง และค่าคัทออฟตามที่ผู้ใช้ต้องการ จะได้ $G(u,v) = H(u,v)F(u,v)$ โดย $G(u,v)$ เป็นผลที่ได้จากการคูณ ทำการหาขนาดและจัดระดับ $G(u,v)$ ให้เหมาะสมกับการแสดงผล จากนั้นนำ $G(u,v)$ มาแปลงอินเวอร์สฟูริเยอร์ (IFFT) จะได้ $g(x,y) = \text{IFFT} [H(u,v)F(u,v)]$ ทำการจัดระดับ $g(x,y)$ ให้มีค่าอยู่ในช่วงเดียวกับภาพต้นฉบับจะได้ภาพระดับสีเทาที่ผ่านการกรอง $g(x,y)$ กระบวนการกรองที่กล่าวมาสามารถแสดงเป็นแผนผังการทำงานได้ดังรูปที่ 5.7

เอกสารนี้เป็นเอกสารที่สงวนไว้สำหรับการใช้งานเพื่อการศึกษาเท่านั้น ไม่อนุญาตให้นำไปใช้ประโยชน์ด้านการค้า ไม่ว่าจะกรณีใดๆ ทั้งสิ้น อีกทั้งห้ามมิให้คัดแปลงเนื้อหา และต้องอ้างอิงถึงเจ้าของเอกสารทุกครั้งที่มีการนำไปใช้



รูปที่ 5.8 แสดงการทำารกรอง

เอกสารนี้เป็นเอกสารที่สงวนไว้สำหรับการใช้งานเพื่อการศึกษาเท่านั้น ไม่อนุญาตให้นำไปใช้ประโยชน์ด้านการค้า ไม่ว่าจะกรณีใดๆ ทั้งสิ้น อีกทั้งห้ามมิให้ตัดแปลงเนื้อหา และต้องอ้างอิงถึงเจ้าของเอกสารทุกครั้งที่มีการนำไปใช้

บทที่ 6

การเลือกช่วงที่เหมาะสมใน 2-D DFT DOMAIN

ปริญญานิพนธ์ฉบับนี้ บอกถึงวิธีการเพื่อการสับเปลี่ยนและเงื่อนไขต่าง ๆ ของลายน้ำกับภาพดิจิทัล ซึ่งการซ่อนจุดจะทำการซ่อนในรูปแบบของ DFT จะมีประสิทธิภาพคงทนต่อการบีบอัดข้อมูล การปรับแต่ง การหมุน โดยภาพลายน้ำจะไม่สามารถมองเห็นได้ด้วยตาเปล่า และในการ Detect ไม่จำเป็นต้องอาศัยภาพต้นแบบ

ข้อมูลดิจิทัลสามารถจำลองได้โดยง่าย ภาพลายน้ำจึงมีบทบาทที่สำคัญในการป้องกันลิขสิทธิ์ ภาพลายน้ำจะใส่ข้อมูลเกี่ยวกับเจ้าของลิขสิทธิ์และจะถูกฝังอยู่แบบถาวรในรูปดิจิทัล ต่อมาเราจะพูดถึงขอบเขตของการป้องกันภาพดิจิทัล

ลายน้ำ จะใช้การแทรกเข้าไปในภาพ (เช่น กระบวนการประมวลผลภาพ และ การบีบอัดภาพ) ซึ่งจะไม่สามารถมองเห็นได้ มันจะถูกรวมเข้าเป็นส่วนหนึ่งของภาพ โดยที่จะไม่มีการเปลี่ยนแปลงเกิดขึ้นกับภาพ

ลายน้ำจะต้องทำให้ไม่สามารถมองเห็นได้ด้วยตาเปล่า เพราะถ้าหากสามารถมองเห็นได้ก็จะสามารถนำออกไปจากภาพได้ ลายน้ำจะต้องตรวจไม่พบโดยวิธีการทั่ว ๆ ไป ไม่เช่นนั้นก็จะถูกทำลายได้โดยง่าย

กระบวนการประมวลผลภาพ ไม่เพียงแต่จะทำการแก้ไขภาพเท่านั้นแต่ยังรวมไปถึงลายน้ำด้วย ผู้ที่ต้องการละเมิดลิขสิทธิ์อาจจะพยายามใช้กระบวนการประมวลผลภาพในการตรวจหาลายน้ำได้ด้วย

วิธีการทำลายน้ำมีอยู่มากมายหลายวิธี ตัวอย่างเช่น ลายน้ำจะถูกฝังอยู่ใน Domain [1] [2] [3] ซึ่งอย่างอื่นอาจจะฝังอยู่ใน DCT [4] [5] [6] [7] [8] [9] หรือ DFT Domain [10] [11]

ขั้นตอนการฝัง - การถอดภาพลายน้ำใน DFT domain

เมื่อเรามีภาพต้นแบบ (I) ขาว-ดำ ขนาด $N \times N$ แล้วเราทำการ Fourier ภาพนั้นเราจะได้

$$I(k_1, k_2) = \sum_{n_1=0}^{N_1-1} \sum_{n_2=0}^{N_2-1} i(n_1, n_2) e^{-j2\pi n_1 k_1 / N_1 - j2\pi n_2 k_2 / N_2}$$

เอกสารนี้เป็นเอกสารที่สงวนไว้สำหรับการใช้งานเพื่อการศึกษาเท่านั้น ไม่อนุญาตให้นำไปใช้ประโยชน์ด้านการค้า ไม่ว่ากรณีใดๆ ทั้งสิ้น อีกทั้งห้ามมิให้ตัดแปลงเนื้อหา และต้องอ้างอิงถึงเจ้าของเอกสารทุกครั้งที่มีการนำไปใช้

เรากำหนดให้

$M(k_1, k_2) = |I(k_1, k_2)|$ เป็นค่า magnitude

$P(k_1, k_2)$ เป็น phase ของ Fourier transform ของ I

$W(k_1, k_2)$ เป็นภาพลายน้ำ

$M'(k_1, k_2)$ เป็น magnitude ที่เปลี่ยนแปลงแล้ว

$I'(k_1, k_2)$ เป็นภาพที่ฝังลายน้ำแล้ว

ลายน้ำที่เราจะทำการฝังลงใน DFT domain นั้น จะทำการฝังลงไปแบบวงกลมเพราะว่าเมื่อเราทำการ Fourier ภาพแล้ว ก็จะเป็นการเปลี่ยนจาก time domain เป็น frequency domain ซึ่งความถี่ต่ำจะเริ่มที่มุมทั้ง 4 ด้านแล้วเพิ่มขึ้นเรื่อยๆจนมาถึงที่ตรงกลาง โดยที่ความถี่ต่ำจะแทนส่วนของภาพที่มีการเปลี่ยนแปลงน้อย เช่น บริเวณผิวหน้าส่วนที่เป็นความถี่สูงนั้นก็แทนส่วนของภาพที่มีการเปลี่ยนแปลงมากๆ เช่น ตรงขอบของรูป



รูปที่ 6.1 แสดงรูป ORIGINAL



รูปที่ 6.2 แสดงรูปเมื่อผ่านการ Fourier แล้ว

และในการที่เราจะฝังรูปลายน้ำลงไปให้ตำแหน่งความถี่ใดนั้นเราจะต้องเลือกให้ดี เพราะถ้าเราเปลี่ยนแปลงในส่วนที่เป็นความถี่ต่ำมากไป ภาพก็จะเสีย เพราะว่าส่วนที่เป็นความถี่ต่ำนั้นจะเป็นส่วนที่แสดงส่วนประกอบ รายละเอียดของภาพ

$$w(r, \theta) = \begin{cases} 0 & \text{if } r < R_1 \text{ and } r > R_2 \\ \pm 1 & \text{if } R_1 < r < R_2 \end{cases}$$

$$\text{เมื่อ } r = \sqrt{(k_1^2 + k_2^2)}, \quad \theta = \arctan\left(\frac{k_2}{k_1}\right)$$

วงกลมจะถูกแยกเป็น S sectors และวงกลมที่มีรัศมี $r \in [R_1, R_2]$ ซึ่งกำหนดให้เป็นค่าเดียวกันคือ 1 หรือ -1 ในแต่ละ sectors ของวงกลมลายน้ำ และตัวประกอบของ magnitude ที่ทำลายน้ำแล้ว M' คือ

$$M'(k_1, k_2) = M(k_1, k_2) + a W(k_1, k_2)$$

จากสมการข้างต้นเป็นการฝังภาพลายน้ำลงไป ใน frequency domain โดยใส่ลงไปทาง Amplitude จากนั้นเราก็ทำการแปลง Fourier กลับ เราก็จะได้ภาพกลับมาโดยที่จะเป็นภาพที่ประกอบไปด้วยภาพลายน้ำและภาพจริง แต่ในส่วนของภาพลายน้ำนั้นจะไม่ปรากฏออกมาส่วนในการที่จะถอดภาพลายน้ำออกมานั้นก็สามารถทำได้โดยนำภาพมา Fourier แล้วก็นำภาพต้นแบบที่ผ่านการ Fourier แล้วมาลบออก จากวิธีการที่เราหาภาพลายน้ำนั้นดูเหมือนง่าย แต่ถ้าเป็นบุคคลอื่นนั้นจะทำได้ยาก เพราะว่าจะไม่รู้ว่าการฝังลายน้ำนั้นได้ฝังอยู่ที่ตำแหน่งใด จึงเป็นการยากที่จะหาเจอ

จากรูป แสดงถึงการฝังรูปลายน้ำที่ความถี่สูง และที่ความถี่ต่ำ โดยจะเพิ่มค่า α ให้มากขึ้น เพื่อหาว่าที่ความถี่ไหนจึงจะเหมาะสมที่จะใส่รูปลายน้ำ โดยผลที่ได้นั้นก็คือ ภาพที่ได้จากการที่เราฝังลายน้ำเข้าไปที่ความถี่ต่ำนั้นจะสามารถทนต่อการใส่ลายน้ำที่มีค่า α มากกว่าได้ดีกว่าที่จะใส่ที่ความถี่สูงๆ

DFT ของสัญญาณ 2 - D จริงจะได้ค่า conjugates การเพิ่มลายน้ำเข้าไปใน magnitude ของ DFT ของภาพ อาจจะทำให้ inverse DFT ไม่สามารถสร้างภาพจริงได้

ถ้าต้องการให้ IDFT มีค่าจริง ลายน้ำจะต้องมีค่า [10] :

ภาพที่ถูกทำลายน้ำสามารถหาได้จาก IDFT

$$i' = \text{IDFT}(I'), I' = (M', P)$$

ลายน้ำสามารถหาได้จาก spatial domain ดังนี้

$$W' = \text{IDFT}(W, P), i' = i + W'$$

กรณีที่ต้องการเพิ่มค่าความเข้มในการมองเห็นสามารถใช้ local image masking

การตรวจสอบลายน้ำ

ให้ I' คือ DFT ของภาพที่ทำลายน้ำ และ M คือ Magnitude ความสัมพันธ์ c ระหว่างค่า M' และ W จะใช้ในการตรวจสอบลายน้ำ;

$$c = \sum_{i=1}^N \sum_{j=1}^N W(k_1, k_2) M'(k_1, k_2)$$

ถ้าหากภาพที่ทำลายน้ำ I' ด้วย W' ซึ่ง $W \neq W'$ แล้วความสัมพันธ์ c จะถูกกำหนดเป็น :

$$c = \sum_{i=1}^N \sum_{j=1}^N W(k_1, k_2) M(k_1, k_2) + a W(k_1, k_2) W'(k_1, k_2)$$

ถ้าภาพ I' ถูกทำลายน้ำด้วย W ความสัมพันธ์จะเป็น

$$c = \sum_{i=1}^N \sum_{j=1}^N (W(k_1, k_2) M(k_1, k_2) + a W^2(k_1, k_2))$$

เอกสารนี้เป็นเอกสารที่สงวนไว้สำหรับการใช้งานเพื่อการศึกษาเท่านั้น ไม่อนุญาตให้นำไปใช้ประโยชน์ด้านการค้า ไม่ว่ากรณีใดๆ ทั้งสิ้น อีกทั้งห้ามมิให้ตัดแปลงเนื้อหา และต้องอ้างอิงถึงเจ้าของเอกสารทุกครั้งที่มีการนำไปใช้

สมมติให้ W, N เป็นตัวแปรอิสระสามารถสุ่มค่าได้ และ W มีค่าเฉลี่ยเป็น 0 ค่าเฉลี่ยของ c คือ

$$\mu_c = \begin{cases} \pi(R_2^2 - R_1^2)a & \text{if } w = w' \\ 0 & \text{if } w \neq w' \\ 0 & \text{if no watermark is present} \end{cases}$$

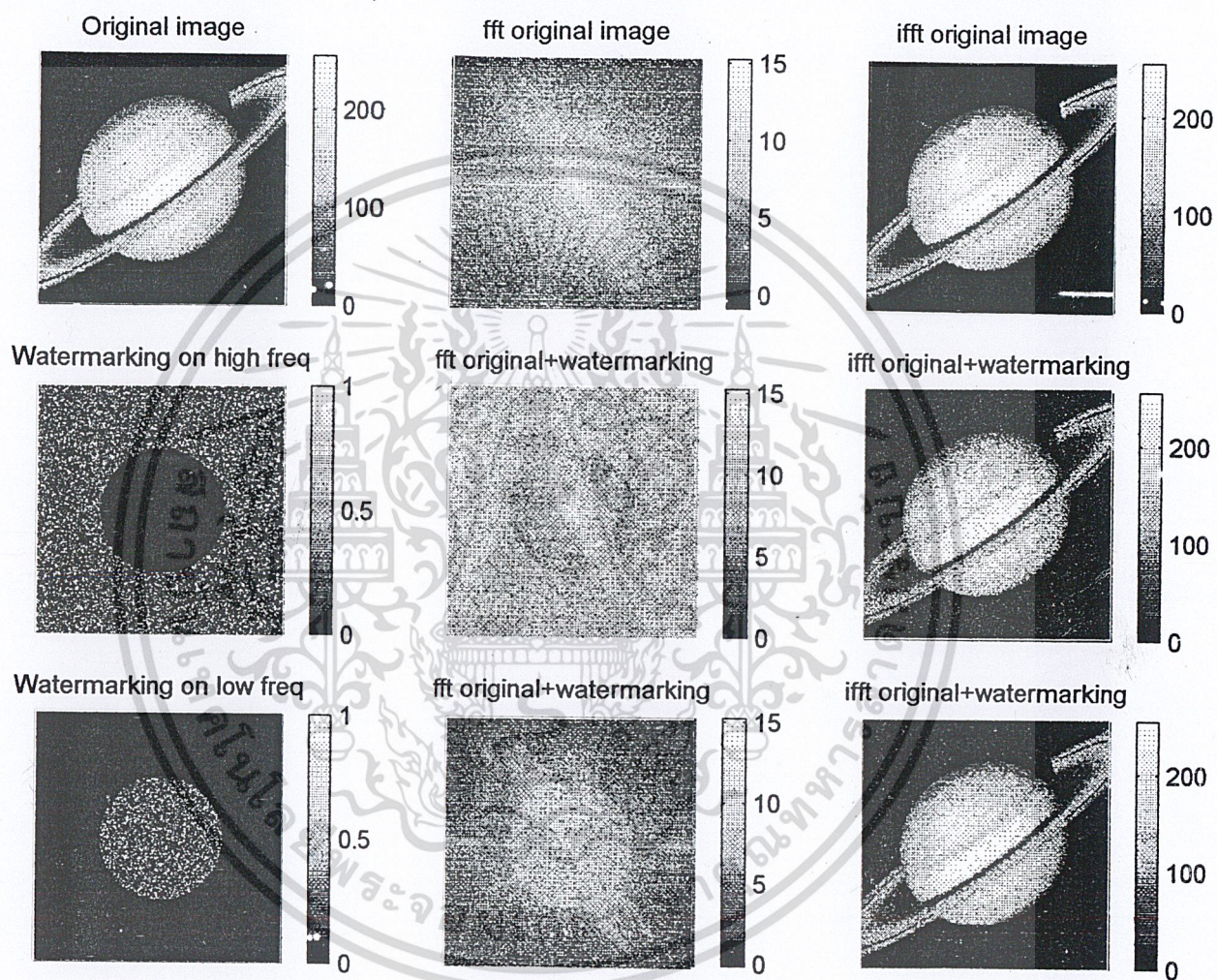
ค่าของตัวแปรที่จะกำหนดความสำคัญสามารถหาได้ตั้งสมการ $c' = c/\mu_c$ ค่าเฉลี่ยตัวอย่างของตัวกำหนดความสัมพันธ์ c มีค่าเป็น 1 สำหรับทุก ๆ ภาพที่ถูกทำลายน้ำ ค่า pdf ในทางปฏิบัติของ c' ซึ่งอยู่ในภาพลายน้ำ Lenna 512×512 ซึ่งมีลายน้ำแตกต่างกัน 1,000 ลาย การตรวจสอบจะอยู่ในรูปแบบ

$H_0: I'$ ถูกทำลายน้ำได้โดย W' ถ้า $c \geq T$

$H_1: I'$ จะไม่ถูกทำลายน้ำโดย W' ถ้า $c < T$

พิจารณาค่า T ซึ่งเป็นค่าเริ่มต้น สามารถประมาณค่าได้ 2 อย่างคือ อย่างแรก เป็นค่าเตือนความน่าจะเป็นที่จะผิดพลาดที่จะสามารถตรวจสอบลายน้ำในภาพที่ไม่ได้ทำเครื่องหมายไว้ การปฏิเสธข้อผิดพลาดของลายน้ำในภาพที่ทำเครื่องหมายไว้ซึ่งค่า pdf ในทางปฏิบัติของ c' สามารถประมาณโดยค่าเตือนความผิดพลาดและปฏิเสธสามารถคำนวณโดยใช้ฟังก์ชันค่าผิดพลาด $erf(x)$

$$P_F = 1 - \frac{1}{2} \operatorname{erf}\left(\frac{T}{\sqrt{2\sigma_c^2}}\right)$$



เอกสารนี้เป็นเอกสารที่สงวนไว้สำหรับการใช้งานเพื่อการศึกษาเท่านั้น ไม่อนุญาตให้นำไปใช้ประโยชน์ด้านการค้า
ไม่ว่ากรณีใดๆ ทั้งสิ้น อีกทั้งห้ามมิให้ตัดแปลงเนื้อหา และต้องอ้างอิงถึงเจ้าของเอกสารทุกครั้งที่มีการนำไปใช้

บทที่ 7

การทดลองใส่และถอดลายน้ำในรูปแบบของ FREQUENCY DOMAIN

เมื่อเราได้ทำการศึกษาเลือกช่วงที่เหมาะสมแล้วซึ่งสรุปได้ว่าการใส่ Watermark ควรจะใส่ที่ความถี่ต่ำมากกว่าความถี่สูง ฉะนั้นในบทนี้เราจะเริ่มทำการใส่ลายน้ำลงไปในความถี่ต่ำ

ภาพ Original ที่เราจะทำการฝัง Watermark จะมีขนาด 512×512 ดังแสดงในรูปที่ 7.1 และภาพ Watermark ที่เราจะทำการฝังลงไปในภาพ Original จะมีขนาด 128×128 ดังแสดงในรูปที่ 7.2



รูปที่ 7.1 แสดงภาพ ORIGINAL



รูปที่ 7.2 WATERMARK ORIGINAL

ในการแทรกลายน้ำในโดเมนความถี่นั้น ได้ใช้การทำ FFT (Fast Fourier Transform) แบบ 2 มิติมาใช้ในการแปลงข้อมูลให้เป็นโดเมนความถี่ อันดับแรกรูปภาพตั้งต้น (Source image) จะต้องถูกแปลงข้อมูลให้อยู่บนโดเมนความถี่

ภาพ Watermark ที่เราจะฝังลงไปนั้นจะทำการฝังในรูปแบบของวงกลมเพราะว่าเมื่อเราทำการ Fourier ภาพแล้ว ความถี่จะเริ่มที่มุมทั้ง 4 ด้าน แล้วเพิ่มขึ้นเรื่อยๆ จนมาถึงตรงกลางภาพ เมื่อเราทำการ Shift ภาพ ส่วนที่เป็นความถี่ต่ำจะมาอยู่ตรงกลางภาพแทนและจะเพิ่มขึ้นเรื่อยๆจนมาถึงที่ตรงขอบภาพ

ในส่วนของภาพ Watermark ที่เราจะนำมาทำการใส่ลงใน ข้อมูลภาพ เราได้ทำการเปลี่ยน Watermark จากเดิมที่เป็น Matrix ให้เป็น Vector ก่อน จากนั้นเรานำมาทำการสลับตำแหน่งกันทั้งหมดเพื่อที่ว่าเวลาเราจะใส่ลงไปหากว่าข้อมูลเรียงกันเป็นชุดแล้วภาพส่วนนั้นหายไป ภาพ Watermark ก็จะหายไปหมด การที่สลับที่เพื่อป้องกันตรงจุดที่ส่วนที่หายไปก็จะกระจายอยู่ทั้งภาพ Watermark ทำให้พอดูออกว่าเป็นภาพอะไร ภาพ Watermark ที่เราใช้เป็นภาพที่ที่อยู่ในรูปแบบ Binary ขาวดำเมื่อพิกเซลที่ถูกกำหนดจะมีค่าเป็น 0,1 และเราได้ทำการแทนค่า 0 ด้วย $-i$ จากนั้นเราได้ทำการฝังลายน้ำลงไป ข้อมูล ภาพ

เอกสารนี้เป็นเอกสารที่สงวนไว้สำหรับการใช้งานเพื่อการศึกษาเท่านั้น ไม่อนุญาตให้นำไปใช้ประโยชน์ด้านการค้า ไม่ว่าจะกรณีใดๆ ทั้งสิ้น อีกทั้งห้ามมิให้คัดแปลงเนื้อหา และต้องอ้างอิงถึงเจ้าของเอกสารทุกครั้งที่มีการนำไปใช้

ในส่วนของวิธีการฝังลงภาพลายน้ำลงไป โดเมนความถี่ นั้นเราได้ทำการหาค่าแห่งที่จะใส่ภาพ Watermark ลงไปโดยจะใส่ในรูปของวงแหวนและขนาดของตำแหน่งที่จะใส่จะต้องพอดีกับขนาดของลายน้ำที่เราจะใส่โดยจะพยายามให้ไปทางความถี่มากกว่าความถี่สูงโดยเลือกตำแหน่งที่จะมีค่ามากกว่า 10^{12} ขึ้นไปมาทำการใส่ภาพลายน้ำดังแสดงในรูปที่ 7.3 โดยใช้สมการ

$$M'(k_1, k_2) = M(k_1, k_2) + \alpha W(k_1, k_2)$$

โดยที่ $M(k_1, k_2)$ คือ Magnitude ของ รูปภาพ Original

$W(k_1, k_2)$ คือ ภาพ Watermark

$M'(k_1, k_2)$ คือ Magnitude ขนาดใหม่ซึ่งเกิดจากการรวมภาพ Watermark เข้าไป
ด้วย

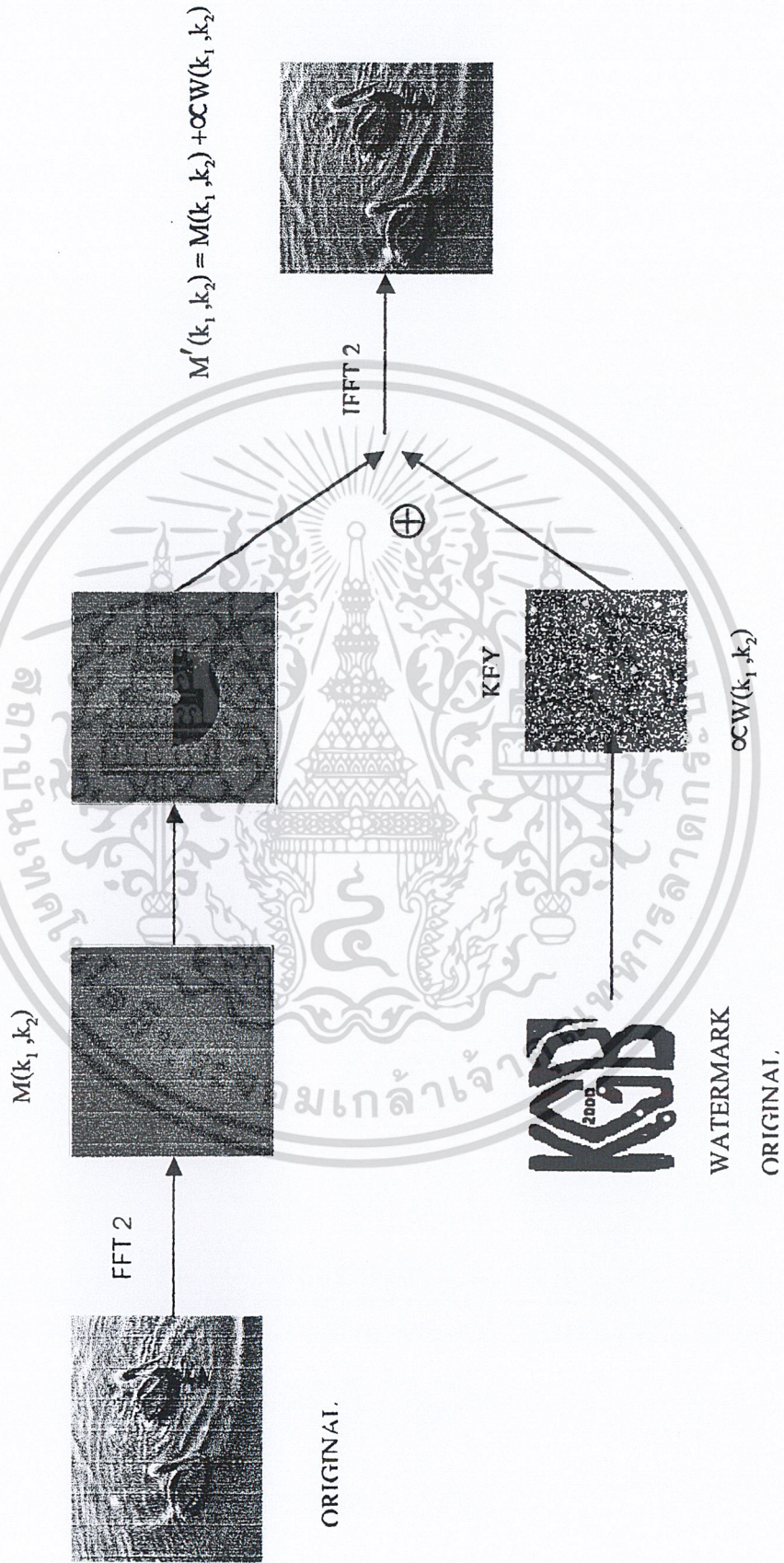
α คือ ค่าที่เราได้เพิ่มขนาดของ Watermark เข้าไป

จากนั้นเราได้นำภาพที่ได้จากการฝัง Watermark ลงไปแล้วมาทำการ Degrade ในรูปแบบต่างๆ ได้แก่ lowpass Compression Clop และ Downsize จากนั้นก็นำภาพเหล่านั้นมาทำการถอดภาพลายน้ำแล้วเปรียบเทียบกับภาพ Watermark ที่ถอดได้นั้นจะสามารถดูเป็นรูปร่างหรือไม่โดยในส่วนของวิธีการถอดนั้นเราได้ใช้สมการคือ

$$aW(k_1, k_2) = M'(k_1, k_2) - M(k_1, k_2)$$

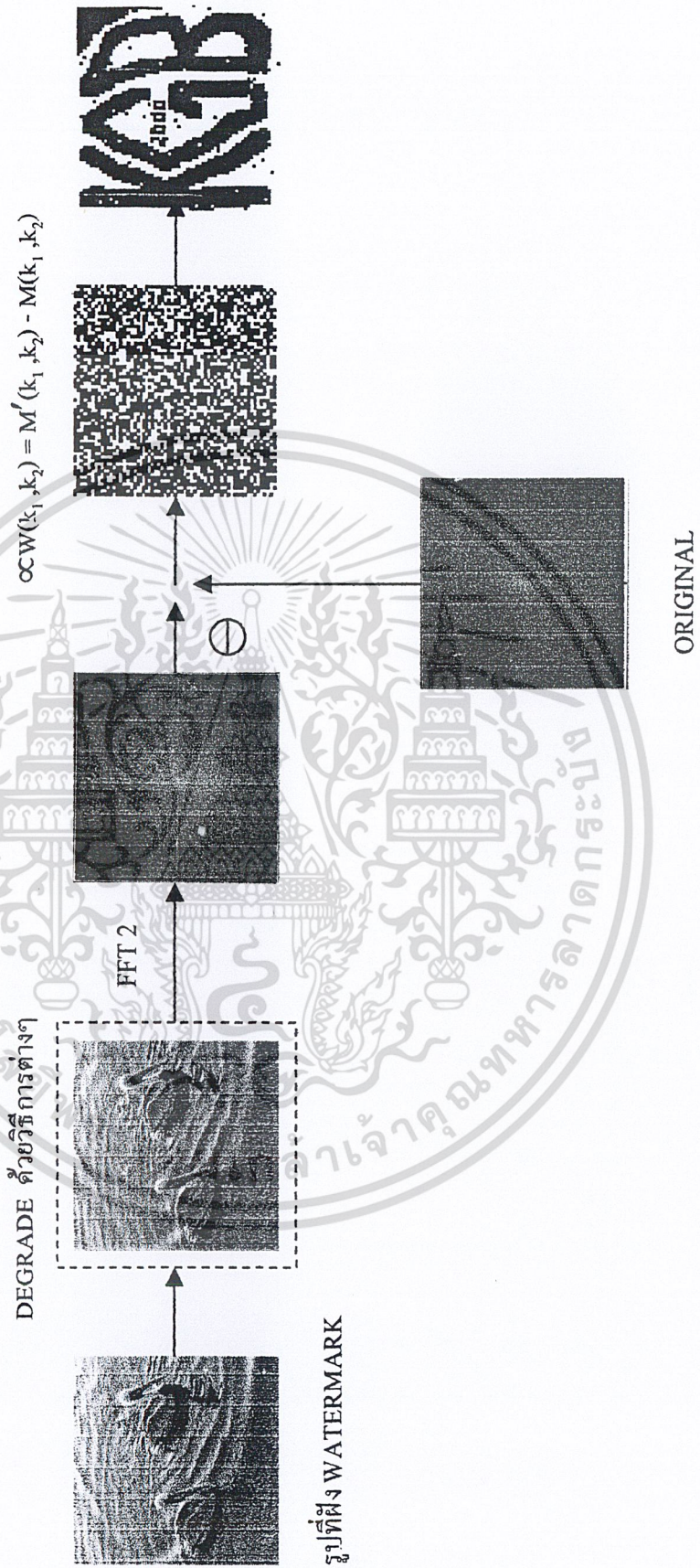
เมื่อเราได้ Watermark ที่ต้องการแล้ว เราต้องนำ Watermark ที่ใช้นั้นมาทำการเรียงกันเป็นรูปใหม่เพราะตอนใส่เราได้สลับตำแหน่ง เพราะฉะนั้นต้องนำมาเรียงใหม่แล้วเช็คค่าให้กลับเป็น 0 กับ 1 โดยถ้า Watermark ที่ได้น้อยกว่า 1 ก็จะทำให้ค่ามันเท่ากับ 0 นอกจากนั้นให้เท่ากับ 1 แล้วนำมาทำการ IFFT 2 กลับเราก็จะได้ภาพลายน้ำออกมาดังแสดงในรูปที่ 7.4

รูปที่ 7.3 แสดงการฝัง WATERMARK



เอกสารนี้เป็นเอกสารที่สงวนไว้สำหรับการใช้งานเพื่อการศึกษาเท่านั้น ไม่อนุญาตให้นำไปใช้ประโยชน์ด้านการค้า ไม่ว่าจะกรณีใดๆ ทั้งสิ้น อีกทั้งห้ามมิให้ตัดแปลงเนื้อหา และต้องอ้างอิงถึงเจ้าของเอกสารทุกครั้งที่มีการนำไปใช้

รูปที่ 7.4 แสดงการถอด WATERMARK



เอกสารนี้เป็นเอกสารที่สงวนไว้สำหรับการใช้งานเพื่อการศึกษาเท่านั้น ไม่อนุญาตให้นำไปใช้ประโยชน์ด้านการค้า ไม่ว่าจะกรณีใดๆ ทั้งสิ้น อีกทั้งห้ามมิให้ตัดแปลงเนื้อหา และต้องอ้างอิงถึงเจ้าของเอกสารทุกครั้งที่มีการนำไปใช้

ผลการทดลอง

การทดลองครั้งแรกจะใช้รูป ORIGINAL ขนาด 512×512 พิกเซลและใช้ตราสัญลักษณ์ KGB ขนาด 124×124 เป็นภาพลายน้ำที่จะฝังลงในรูป ORIGINAL ดังแสดงในรูปที่ 7.5



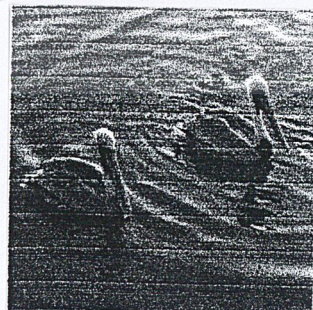
รูปที่ 7.5 แสดงรูป ORIGINAL และรูปลายน้ำ

ทำการฝังรูปลายน้ำในโดเมนความถี่ของรูป ORIGINAL และสร้างลายน้ำกลับคืนโดยใช้กุญแจลับ และใช้รูปเดิม ในการทดลองนี้ค่าพารามิเตอร์ต่างๆ ถูกกำหนดไว้ดังนี้ แอมพลิจูดแฟคเตอร์ α เท่ากับ 8500 กุญแจลับเท่ากับ 13

รูปที่ 7.6 แสดงให้เห็นถึงความแตกต่างภาพ ORIGINAL กับภาพที่ผ่านการบีบอัดข้อมูลภาพ JPEG 25% จะสังเกตเห็นได้ว่าพอนำภาพมาผ่านวิธีการบีบอัดข้อมูลภาพ ภาพจะผิดเพี้ยนไปจากเดิม

ORIGINAL PICTURE

การบีบอัดข้อมูลภาพ JPEG 25%



รูปที่ 7.6 แสดงให้เห็นถึงความแตกต่างภาพ ORIGINAL กับภาพที่ผ่านการบีบอัดข้อมูลภาพ

JPEG 25%

เอกสารนี้เป็นเอกสารที่สงวนไว้สำหรับการใช้งานเพื่อการศึกษาเท่านั้น ไม่อนุญาตให้นำไปใช้ประโยชน์ด้านการค้า ไม่ว่ากรณีใดๆ ทั้งสิ้น อีกทั้งห้ามมิให้ตัดแปลงเนื้อหา และต้องอ้างอิงถึงเจ้าของเอกสารทุกครั้งที่มีการนำไปใช้

รูปที่ 7.7 แสดงผลความแตกต่างของลายน้ำที่เกิดจากการบีบอัดภาพ JPEG ที่กระทำการใน FREQUENCY DOMAIN และ SPATIAL DOMAIN ซึ่งจะเห็นได้ว่าการกระทำการใน FREQUENCY DOMAIN จะเห็นภาพลายน้ำได้ชัดกว่าการกระทำการใน SPATIAL DOMAIN

-การกระทำการใน FREQUENCY DOMAIN



-การกระทำการใน SPATIAL DOMAIN

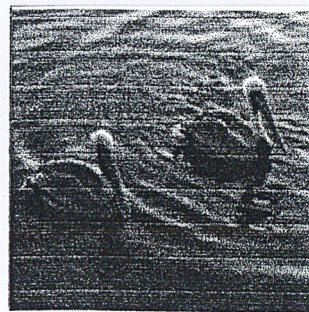


รูปที่ 7.7 แสดงผลความแตกต่างของลายน้ำที่เกิดจากการบีบอัดภาพ JPEG ที่กระทำการใน FREQUENCY DOMAIN และ SPATIAL DOMAIN

รูปที่ 7.8 แสดงให้เห็นถึงความแตกต่างภาพ ORIGINAL กับภาพที่ผ่านการทำภาพให้ BLUR จะสังเกตเห็นได้ว่าพอนำภาพมาผ่านวิธีการทำให้ BLUR ภาพจะผิดเพี้ยนไปจากเดิม

ORIGINAL PICTURE

BLUR



รูปที่ 7.9 แสดงผลความแตกต่างของลายน้ำที่เกิดจากการทำการ BLUR ที่กระทำการใน FREQUENCY DOMAIN และ SPATIAL DOMAIN ซึ่งจะเห็นได้ว่าการกระทำการใน FREQUENCY DOMAIN จะเห็นภาพลายน้ำได้ชัดกว่าการกระทำการใน SPATIAL DOMAIN

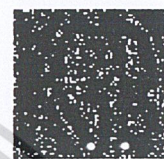
-การกระทำการใน FREQUENCY DOMAIN



MEDIUN FILTER



LOW PASS FILTER 3X3



LOW PASS FILTER 5X5

-การกระทำการใน SPATIAL DOMAIN



MEDIUN FILTER



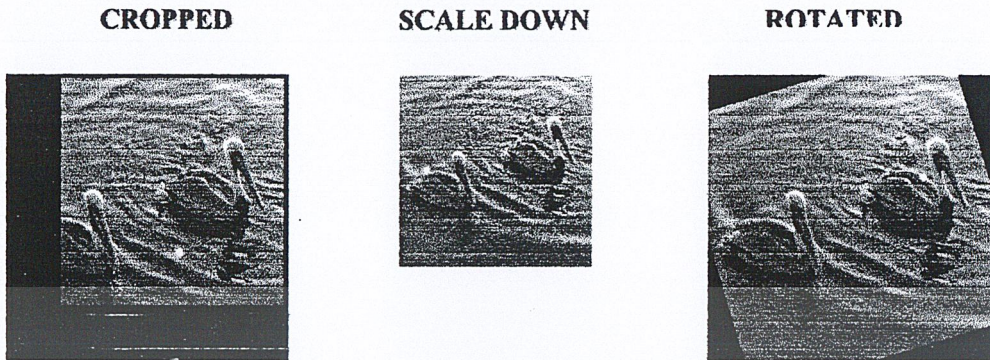
LOW PASS FILTER 3X3



LOW PASS FILTER 5X5

รูปที่ 7.9 แสดงผลความแตกต่างของลายน้ำที่เกิดจากการทำการ BLUR ที่กระทำการใน FREQUENCY DOMAIN และ SPATIAL DOMAIN

รูปที่ 7.10 แสดงให้เห็นถึงความแตกต่างภาพ ORIGINAL กับภาพที่ผ่านการ CROPPED, SCALE DOWN และ ROTATED จะสังเกตเห็นได้ว่าพอนำภาพมาผ่านวิธีการทำ CROPPED, SCALE DOWN และ ROTATED ภาพจะผิดเพี้ยนไปจากเดิม



รูปที่ 7.10 แสดงให้เห็นถึงความแตกต่างภาพ ORIGINAL กับภาพที่ผ่านการ CROPPED, SCALE DOWN และ ROTATED

รูปที่ 7.11 แสดงผลความแตกต่างของลายน้ำที่เกิดจากการทำการ CROPPED, SCALE DOWN และ ROTATED ที่กระทำการใน FREQUENCY DOMAIN และ SPATIAL DOMAIN ซึ่งจะเห็นได้ว่าการกระทำการใน FREQUENCY DOMAIN จะเห็นภาพลายน้ำได้ชัดกว่าการกระทำการใน SPATIAL DOMAIN

-การกระทำการใน FREQUENCY DOMAIN



-การกระทำการใน SPATIAL DOMAIN



รูปที่ 7.11 แสดงผลความแตกต่างของลายน้ำที่เกิดจากการทำการ CROPPED, SCALE DOWN และ ROTATED ที่กระทำการใน FREQUENCY DOMAIN และ SPATIAL DOMAIN

เอกสารนี้เป็นเอกสารที่สงวนไว้สำหรับการใช้งานเพื่อการศึกษาเท่านั้น ไม่อนุญาตให้นำไปใช้ประโยชน์ด้านการค้า ไม่ว่ากรณีใดๆ ทั้งสิ้น อีกทั้งห้ามมิให้ตัดแปลงเนื้อหา และต้องอ้างอิงถึงเจ้าของเอกสารทุกครั้งที่มีการนำไปใช้

ผลการทดลองครั้งที่ 2 เราจะเปลี่ยนรูป ORIGINAL ไม่ให้เหมือนการทดลองครั้งแรกแต่ ขนาดจะเท่าเดิมและรูปถ่ายน้ำจะใสเหมือนกับการทดลองครั้งแรกดังแสดงในรูปที่ 7.12



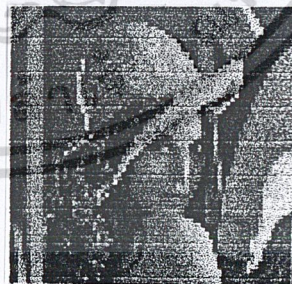
รูปที่ 7.12 แสดงรูป ORIGINAL และรูปถ่ายน้ำ

ทำการฝังรูปถ่ายน้ำในโดเมนความถี่ของรูป ORIGINAL และสร้างลายน้ำกลับคืนโดยใช้ อนุภาคและใช้รูปเดิม ในการทดลองนี้ค่าพารามิเตอร์ต่างๆ ถูกกำหนดไว้ดังนี้ แอมพลิจูดเฟคเตอร์ α เท่ากับ 8500 อนุภาคเท่ากับ 13

รูปที่ 7.13 แสดงให้เห็นถึงความแตกต่างภาพ ORIGINAL กับภาพที่ผ่านการบีบอัดข้อมูล ภาพ JPEG 25% จะสังเกตเห็นได้ว่าพอนำภาพมาผ่านวิธีการบีบอัดข้อมูล ภาพจะผิดเพี้ยนไปจากเดิม

ORIGINAL

การบีบอัดข้อมูล JPEG 25 %



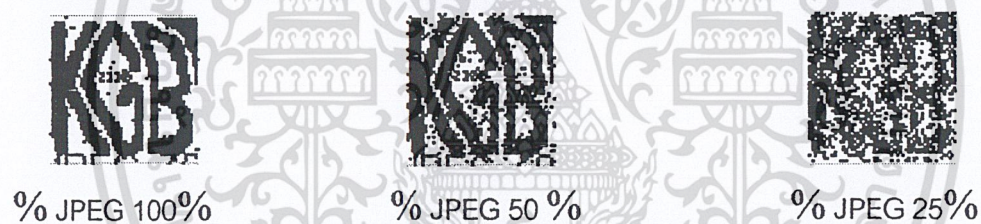
รูปที่ 7.13 แสดงให้เห็นถึงความแตกต่างภาพ ORIGINAL กับภาพที่ผ่านการบีบอัดข้อมูล ภาพ JPEG 25%

รูปที่ 7.14 แสดงผลความแตกต่างของลายน้ำที่เกิดจากการบีบอัดภาพ JPEG ที่กระทำการใน FREQUENCY DOMAIN และ SPATIAL DOMAIN ซึ่งจะเห็นได้ว่าการกระทำการใน FREQUENCY DOMAIN จะเห็นภาพลายน้ำได้ชัดกว่าการกระทำการใน SPATIAL DOMAIN

-การกระทำการใน FREQUENCY DOMAIN



-การกระทำการใน SPATIAL DOMAIN



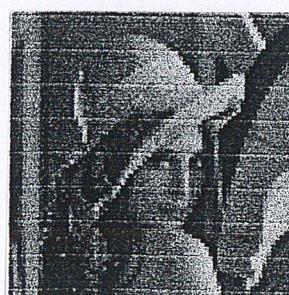
รูปที่ 7.14 แสดงผลความแตกต่างของลายน้ำที่เกิดจากการบีบอัดภาพ JPEG ที่กระทำการใน FREQUENCY DOMAIN และ SPATIAL DOMAIN

รูปที่ 7.15 แสดงให้เห็นถึงความแตกต่างภาพ ORIGINAL กับภาพที่ผ่านการทำภาพให้ BLUR จะสังเกตเห็นได้ว่าพอนำภาพมาผ่านวิธีการทำให้ BLUR ภาพจะผิดเพี้ยนไปจากเดิม

ORIGINAL



BLUR



เอกสารรูปที่ 7.15 แสดงให้เห็นถึงความแตกต่างภาพ ORIGINAL กับภาพที่ผ่านการทำภาพให้ BLUR งานการค้า ไม่ว่าจะกรณีใดๆ ทั้งสิ้น อีกทั้งห้ามมิให้คัดแปลงเนื้อหา และต้องอ้างอิงถึงเจ้าของเอกสารทุกครั้งที่มีการนำไปใช้

รูปที่ 7.16 แสดงผลความแตกต่างของลายน้ำที่เกิดจากการบีบอัดภาพ JPEG ที่กระทำการใน FREQUENCY DOMAIN และ SPATIAL DOMAIN ซึ่งจะเห็นได้ว่าการกระทำการใน FREQUENCY DOMAIN จะเห็นภาพลายน้ำได้ชัดกว่าการกระทำการใน SPATIAL DOMAIN

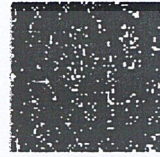
-การกระทำการใน FREQUENCY DOMAIN



MEDIUM FILTER



LOW PASS FILTER 3X3



LOW PASS FILTER 5X5

-การกระทำการใน SPATIAL DOMAIN



MEDIUM FILTER



LOW PASS FILTER 3X3



LOW PASS FILTER 5X5

รูปที่ 7.16 แสดงผลความแตกต่างของลายน้ำที่เกิดจากการบีบอัดภาพ JPEG ที่กระทำการใน FREQUENCY DOMAIN และ SPATIAL DOMAIN

รูปที่ 7.17 แสดงให้เห็นถึงความแตกต่างภาพ ORIGINAL กับภาพที่ผ่านการ CROPPED, SCALE DOWN และ ROTATED จะสังเกตเห็นได้ว่าพอนำภาพมาผ่านวิธีการทำ CROPPED, SCALE DOWN และ ROTATED ภาพจะผิดเพี้ยนไปจากเดิม

CROPPED



SCALE DOWN



ROTATED



รูปที่ 7.17 แสดงให้เห็นถึงความแตกต่างภาพ ORIGINAL กับภาพที่ผ่านการ CROPPED, SCALE DOWN และ ROTATED

เอกสารนี้เป็นเอกสารที่สงวนไว้สำหรับการใช้ในเพียงครั้งเดียว มีอนุญาตให้นำไปใช้ประโยชน์ด้านการค้า ไม่ว่าจะกรณีใดๆ ทั้งสิ้น อีกทั้งห้ามมิให้ตัดแปลงเนื้อหา และต้องอ้างอิงถึงเจ้าของเอกสารทุกครั้งที่มีการนำไปใช้

รูปที่ 7.18 แสดงผลความแตกต่างของลายน้ำที่เกิดจากการทำการ CROPPED,SCALE DOWN และ ROTATED ที่กระทำการใน FREQUENCY DOMAIN และ SPATIAL DOMAIN ซึ่งจะเห็นได้ว่าการกระทำการใน FREQUENCY DOMAIN จะเห็นภาพลายน้ำได้ชัดกว่าการกระทำการใน SPATIAL DOMAIN

-การกระทำการใน FREQUENCY DOMAIN



CROPPED



SCALE DOWN



ROTATED

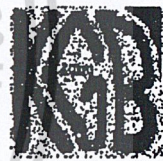
-การกระทำการใน SPATIAL DOMAIN



CROPPED



SCALE DOWN



ROTATED

รูปที่ 7.18 แสดงผลความแตกต่างของลายน้ำที่เกิดจากการทำการ CROPPED,SCALE DOWN และ ROTATED ที่กระทำการใน FREQUENCY DOMAIN และ SPATIAL DOMAIN

ตารางค่าผลการทดลองใน Frequency Domain

Lena

OC	Compression		Median	Blur		Cropped	Rotated	Scale Down	Original
	100%	50%		25%	3x3				
3000	0.994220624	0.607195183	0.272659498	0.764071937	0.426789303	0.115556610	0.142576215	0.370302967	1.00000018
8500	0.994221229	0.977132014	0.729447308	0.980673007	0.850109768	0.309547334	0.388959329	0.763709214	1.000001451
12000	0.993975069	0.990043245	0.877033544	0.837951004	0.869304644	0.399208902	0.557447593	0.8725559413	1.000001512

birds

OC	Compression		Median	Blur		Cropped	Rotated	Scale Down	Original
	100%	50%		25%	3x3				
3000	0.994220802	0.612699270	0.319456207	0.735250387	0.442633733	0.126678630	0.230289254	0.372625530	1.000000032
8500	0.994221624	0.976143414	0.747477750	0.960211898	0.838254007	0.327455328	0.502414157	0.761515986	1.000000257
12000	0.993975069	0.990043245	0.877033544	0.837951004	0.869304644	0.399208902	0.557447593	0.8725559413	1.000000512

ตารางค่าผลการทดลองใน Spatiat Domain

OC	Compression		Median	Blur		Cropped	Rotated	Scale Down	Original
	100%	50%		25%	3x3				
0.976375568	0.726542159	0.510168569	0.796695974	0.252731696	-0.004363333	0.394481443	0.796171086	0.580242832	1.000000000

บทที่ 8

สรุปและแนวทางการพัฒนา

สรุป

ภาพลายน้ำดิจิทัลของรูปภาพนั้น จำนวนของลักษณะที่แตกต่างกันของขบวนการทำลายน้ำและการทำรูปลายน้ำให้ได้ตามต้องการ จำเป็นต้องมีส่วนประกอบดังนี้

ความโปร่งใส (Invisible): ลายน้ำดิจิทัลที่ฝังลงในข้อมูลรูปภาพจะต้องไม่สามารถมองเห็นด้วยตาของมนุษย์

ความปลอดภัย (Security): ผู้ที่ไม่ได้ลิขสิทธิ์จะต้องไม่สามารถถอดรหัสหรือตรวจหาลายน้ำได้แม้ว่าจะรู้กรรมวิธีและขั้นตอนการสร้างลายน้ำก็ตาม

ความคงทน (Robustness): มีความเป็นไปได้ในการที่จะเปลี่ยนลายน้ำด้วยความตั้งใจหรือไม่ตั้งใจก็ตาม การกระทำที่ปราศจากการลดคุณภาพของภาพลายน้ำต่างๆ ถือเป็นเรื่องที่สำคัญในการลดค่าทางพาณิชย์ ในแต่ละการกระทำเช่น การฟิลเตอร์, การ Blur ภาพ, การสูญเสียจากการบีบอัดเช่นภาพจำพวก JPEG เป็นต้น

ซึ่งจากผลการทดลองและได้นำลายน้ำที่ได้ทำการถอดออกมาเปรียบเทียบกับระหว่างเทคนิคของ FREQUENCY DOMAIN กับเทคนิคของ SPATIAL DOMAIN พบว่าเทคนิคทาง FREQUENCY DOMAIN มีข้อดีกว่าดังนี้

1. มีความคงทนต่อการ BLUR ภาพมากกว่า
2. มีความคงทนต่อการบีบอัดข้อมูลภาพมากกว่า
3. มีความคงทนต่อการ CLOPPED, SCALE DOWN และ ROTATED มากกว่า

ข้อเสียของเทคนิคทาง FREQUENCY DOMAIN คือ สามารถใส่ข้อมูลลงไปได้น้อยกว่าเทคนิคทาง SPATIAL DOMAIN

แนวทางการพัฒนา

จากที่ได้ทำการศึกษาและทำการทดลองมาแล้วนั้น ทำให้ทราบว่าในส่วนที่เป็นความถี่ต่ำนั้น จะเหมาะกับการใส่ WATERMARK ลงไปมากกว่าส่วนที่เป็นความถี่สูง จึงได้ทำการพัฒนาวิธีการฝังลายน้ำลงไป โดยในส่วนที่เป็น FREQUENCY DOMAIN นั้น ก็จะถูกแสดงเป็นค่าต่างๆ กัน โดยในแต่ละค่านั้นก็จะเกิดจากเลขฐานสอง เช่น 15 ในเลขฐานสิบก็คือ 1111 ในเลขฐาน

เอกสารนี้ส่งให้เราได้อาศัยหลักการนี้ ก็โดยจะทำการเปลี่ยนแปลงที่ Bit เพราะเมื่อ Bit มีค่ามาก ๆ ก็จะค่าไม่ว่าการมีใดๆ ทั้งสิ้น อีกทั้งห้ามมิให้ตัดแปลงเนื้อหา และต้องอ้างอิงถึงเจ้าของเอกสารทุกครั้งที่มีการนำไปใช้

สามารถเปลี่ยนแปลงได้มาก เช่น 15 คือ 1111 Bit ที่เราจะทำการเปลี่ยนแปลงคือ Bit ที่ 3 คือ 1 ถ้าค่าข้อมูลเปลี่ยนเป็น 12 ก็คือ 1100 ค่า Bit ที่ 3 ที่เราต้องการก็จะยังไม่เปลี่ยนแปลง ถ้าเรายิ่งให้ค่า Bit ที่สูง ๆ ก็จะสามารถทนได้มาก ในการที่เราจะหาค่า Bit ของค่าหนึ่ง ๆ นั้นเราสามารถทำได้โดยใช้ \log_2 เป็นตัวหาค่า Bit ทั้งหมดแล้วจึงเลือก Bit ที่ต้องการมาทำการเปลี่ยนแปลง หรือ อาจเปลี่ยนไปทำการฝัง Watermark ลงใน Domain อื่นๆ เช่น Wavelet หรือ DCT Domain



เอกสารนี้เป็นเอกสารที่สงวนไว้สำหรับการใช้งานเพื่อการศึกษาเท่านั้น ไม่อนุญาตให้นำไปใช้ประโยชน์ด้านการค้า ไม่ว่ากรณีใดๆ ทั้งสิ้น อีกทั้งห้ามมิให้ตัดแปลงเนื้อหา และต้องอ้างอิงถึงเจ้าของเอกสารทุกครั้งที่มีการนำไปใช้

บรรณานุกรม

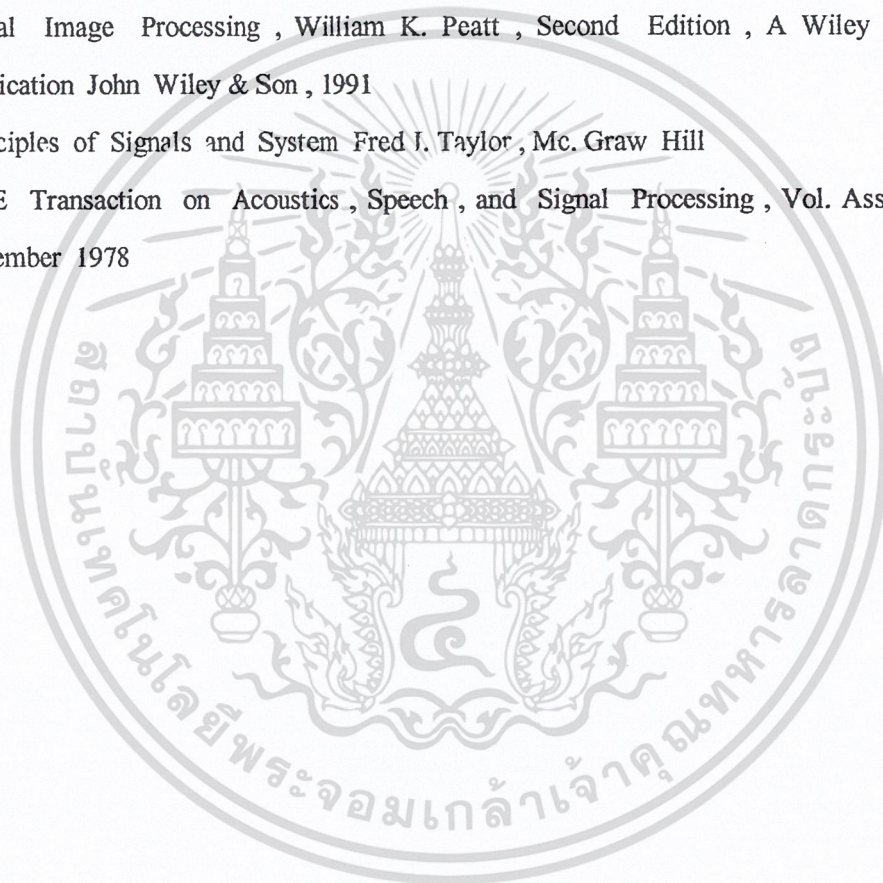
Digital Image Processing . Rafael C. Gonzales/Paul Wintz , Second Edition , Addison Wesley Publishing Company , 1987

Introduction Computer Vision Image Processing ,Adrian Low,Mc. Grawhill , 1991

Digital Image Processing , William K. Peatt , Second Edition , A Wiley – Interscience Publication John Wiley & Son , 1991

Principles of Signals and System Fred J. Taylor , Mc. Graw Hill

IEEE Transaction on Acoustics , Speech , and Signal Processing , Vol. Assp – 26 , No.6 December 1978



เอกสารนี้เป็นเอกสารที่สงวนไว้สำหรับการใช้งานเพื่อการศึกษาเท่านั้น ไม่อนุญาตให้นำไปใช้ประโยชน์ด้านการค้า
ไม่ว่ากรณีใดๆ ทั้งสิ้น อีกทั้งห้ามมิให้ตัดแปลงเนื้อหา และต้องอ้างอิงถึงเจ้าของเอกสารทุกครั้งที่มีการนำไปใช้



เอกสารนี้เป็นเอกสารที่สงวนไว้สำหรับการใช้งานเพื่อการศึกษาเท่านั้น ไม่อนุญาตให้นำไปใช้ประโยชน์ด้านการค้า
ไม่ว่ากรณีใดๆ ทั้งสิ้น อีกทั้งห้ามมิให้ตัดแปลงเนื้อหา และต้องอ้างอิงถึงเจ้าของเอกสารทุกครั้งที่มีการนำไปใช้

```
%----- Select Point for embedding -----
```

```
%----- Create water marking -----
```

```
close all ;
```

```
clear all ;
```

```
alph = input('Please insert alpha ');
```

```
wm = randn(256) ;
```

```
wm_h = wm ;
```

```
wm_l = wm ;
```

```
r = 64 ;
```

```
for x = 1:r
```

```
if x == r
```

```
    y = 1 ;
```

```
    y1 = 256 ;
```

```
else y = sqrt((r^2)-(x^2)) ;
```

```
    y = abs(y) ;
```

```
    y = round(y) ;
```

```
    y1 = 256-y ;
```

```
end
```

```
wm_h(x,1:y) = 0 ;
```

```
wm_h(x,y1:256) = 0 ;
```

```
wm_l(x,y:y1) = 0 ;
```

```
end
```

```
rr = 256 - r ;
```

```
xx = 1 ;
```

```
for x = 256:-1:rr
```



เอกสารนี้เป็นเอกสารที่สงวนไว้สำหรับการใช้งานเพื่อการศึกษาเท่านั้น ไม่อนุญาตให้นำไปใช้ประโยชน์ด้านการค้า
ไม่ว่ากรณีใดๆ ทั้งสิ้น อีกทั้งห้ามมิให้ตัดแปลงเนื้อหา และต้องอ้างอิงถึงเจ้าของเอกสารทุกครั้งที่มีการนำไปใช้

```

if xx == r
    y2 = 1 ;
    y3 = 256 ;
else y2 = sqrt((r^2)-(xx^2)) ;
    y2 = abs(y2) ;
    y2 = round(y2) ;
    y3 = 256-y2 ;
end

wm_h(x,1:y2) = 0;
wm_h(x,y3:256) = 0;
wm_l(x,y2:y3) = 0;
xx = xx+1 ;
end
wm_l(65:192,1:256) = 0;

%----- Main program -----
%----- normal fft -----

load imdemos saturn2
subplot(3,3,1) ;
imshow(saturn2) , colorbar
title('Original image') ;
ori_fft = fft2(saturn2) ;
ori_abs = abs(ori_fft) ;
ori_abs_shift = fftshift(ori_abs) ;
subplot(3,3,2)
imshow(log(abs(ori_abs_shift)),[]) , colorbar
title('fft original image') ;
ori = ifft2(ori_fft) ;

```

เอกสารนี้เป็นเอกสารที่สงวนไว้สำหรับการใช้งานเพื่อการศึกษาเท่านั้น ไม่อนุญาตให้นำไปใช้ประโยชน์ด้านการค้า
ไม่ว่ากรณีใดๆ ทั้งสิ้น อีกทั้งห้ามมิให้ตัดแปลงเนื้อหา และต้องอ้างอิงถึงเจ้าของเอกสารทุกครั้งที่มีการนำไปใช้

```

ori = uint8(ori) ;
subplot(3,3,3) ;
imshow(ori),colorbar
title('ifft original image') ;

%----- High freq embedding -----

```

```

ori_ang = angle(ori_fft) ;
ori_wm_h = ori_abs + (alph*wm_h) ;
ori_wm_h_shift = fftshift(ori_wm_h) ;
real_ori_wm_n = ori_wm_h.*cos(ori_ang) ;
im_ori_wm_h = ori_wm_h.*sin(ori_ang) ;
ori_wm_h_fft = real_ori_wm_h+(i*im_ori_wm_h) ;
ori_wm_h_ifft = ifft2(ori_wm_h_fft) ;
subplot(3,3,4) ;
imshow(fftshift(wm_h)), colorbar
title('Watermarking on high freq') ;
subplot(3,3,5) ;
imshow(log(ori_wm_h_shift),[]),colorbar
title('fft original+watermarking') ;
subplot(3,3,6) ;
imshow(uint8(ori_wm_h_ifft)),colorbar
title('ifft original+watermarking') ;

```

```

%----- Low freq embedding -----

```

```

ori_wm_l = ori_abs + (alph*wm_l) ;
ori_wm_l_shift = fftshift(ori_wm_l) ;
real_ori_wm_l = ori_wm_l.*cos(ori_ang) ;

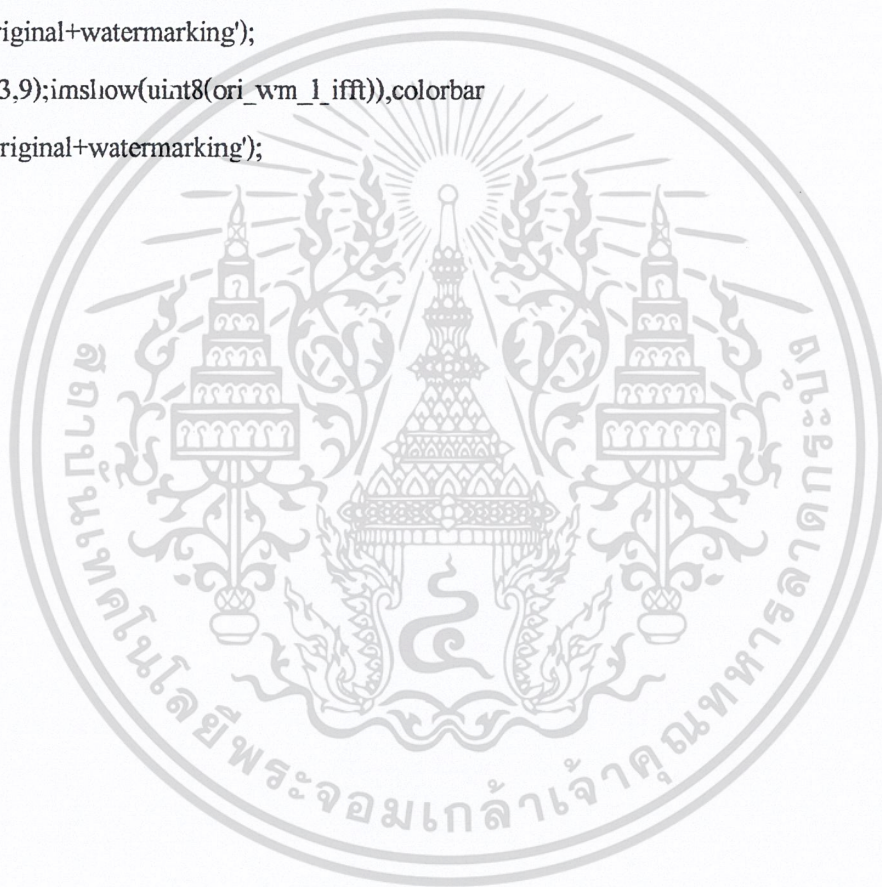
```

เอกสารนี้เป็นเอกสารที่สงวนไว้สำหรับการใช้งานเพื่อการศึกษาเท่านั้น ไม่อนุญาตให้นำไปใช้ประโยชน์ด้านการค้า
ไม่ว่ากรณีใดๆ ทั้งสิ้น อีกทั้งห้ามมิให้ตัดแปลงเนื้อหา และต้องอ้างอิงถึงเจ้าของเอกสารทุกครั้งที่มีการนำไปใช้

```

im_ori_wm_1 = ori_wm_1.*sin(ori_ang) ;
ori_wm_1_fft = real_ori_wm_1+(i*im_ori_wm_1) ;
ori_wm_1_ifft = ifft2(ori_wm_1_fft) ;
subplot(3,3,7) ;
imshow(fftshift(wm_1)),colorbar
title('Watermarking on low freq') ;
subplot(3,3,8) ;
imshow(log(ori_wm_1_shift),[]),colorbar
title('fft original+watermarking');
subplot(3,3,9);imshow(uint8(ori_wm_1_ifft)),colorbar
title('ifft original+watermarking');
clear all ;

```



เอกสารนี้เป็นเอกสารที่สงวนไว้สำหรับการใช้งานเพื่อการศึกษาเท่านั้น ไม่อนุญาตให้นำไปใช้ประโยชน์ด้านการค้า
ไม่ว่ากรณีใดๆ ทั้งสิ้น อีกทั้งห้ามมิให้ตัดแปลงเนื้อหา และต้องอ้างอิงถึงเจ้าของเอกสารทุกครั้งที่มีการนำไปใช้

```
% -----Project 2 embedding_2 -----
```

```
if n >= 1  
    n = n-1;  
    num_wm = num_wm + 1;  
    ori_abs(x,c) = ori_abs(x,c) + alph*wm_ran(num_wm);  
    %ori_1(x,c) = 0;  
    ori_fft_1(x,c) = 0 ;  
  
ax(b) = x;  
ac(b) = c;  
b = b+1;  
end
```



เอกสารนี้เป็นเอกสารที่สงวนไว้สำหรับการใช้งานเพื่อการศึกษาเท่านั้น ไม่อนุญาตให้นำไปใช้ประโยชน์ด้านการค้า
ไม่ว่ากรณีใดๆ ทั้งสิ้น อีกทั้งห้ามมิให้ตัดแปลงเนื้อหา และต้องอ้างอิงถึงเจ้าของเอกสารทุกครั้งที่มีการนำไปใช้

```
%----- Project 2 Embedding -----
```

```
clear all ;
```

```
close all ;
```

```
alph = input('Please insert alpha :') ;
```

```
%-----Load Original-----
```

```
ori = imread('birds','bmp') ;
```

```
ori = ori(:,101:612) ;
```

```
imwrite(ori,gray(256),'original.jpg','quality',100) ;
```

```
[ori_r,ori_c] = size(ori) ;
```

```
ori_double = double(ori) ;
```

```
ori_fft_1 = fft2(ori) ;
```

```
ori_fft = fft2(ori) ;
```

```
ori_abs = abs(fft2(ori)) ;
```

```
ori_abs_1 = abs(fft2(ori)) ;
```

```
%----- Load Watermark -----
```

```
wm = imread('kbg','bmp') ;
```

```
wm = imresize(wm,[128 128],'bilinear') ;
```

```
wm = double(wm) ;
```

```
[wm_r,wm_c] = size(wm) ;
```

เอกสารนี้เป็นเอกสารที่สงวนไว้สำหรับการใช้งานเพื่อการศึกษาเท่านั้น ไม่อนุญาตให้นำไปใช้ประโยชน์ด้านการค้า
ไม่ว่ากรณีใดๆ ทั้งสิ้น อีกทั้งห้ามมิให้ตัดแปลงเนื้อหา และต้องอ้างอิงถึงเจ้าของเอกสารทุกครั้งที่มีการนำไปใช้

```

%----- random watermark -----

wmarkv = wm(1,:);
for a = 2:wm_r, wmarkv = [wmarkv wm(a,:)] ; end ;
rand('state',13) ;
indp = randperm(wm_r*wm_c) ;
for a = 1:length(indp)
    wm_ran(a) = wmarkv(indp(a)) ;
    if wm_ran(a) == 0
        wm_ran(a) = -1 ;
    end
end
end

%----- embedding -----

b = 1 ;
n = wm_c*wm_r ;
num_wm = 0 ;
r1 = 20 ;
r2 = 116 ;
bit_cut = 12 ;

for x = 1:r2
    if r1 > x
        y1 = sqrt((r1^2)-(x^2)) ;
        y1 = round(y1) ;
        y4 = ori_c - y1 ;
    else y1 = 1 ;
        y4 = ori_c ;
    end
end

```

เอกสารนี้เป็นเอกสารที่สงวนไว้สำหรับการใช้งานเพื่อการศึกษาเท่านั้น ไม่อนุญาตให้นำไปใช้ประโยชน์ด้านการค้า
ไม่ว่ากรณีใดๆ ทั้งสิ้น อีกทั้งห้ามมิให้ตัดแปลงเนื้อหา และต้องอ้างอิงถึงเจ้าของเอกสารทุกครั้งที่มีการนำไปใช้

```

if r2 == x
    y2 = 1 ;
    y3 = ori_c ;
else y2 = sqrt((r2^2)-(x^2)) ;
    y2 = round(y2) ;
    y3 = ori_c-y2 ;
end

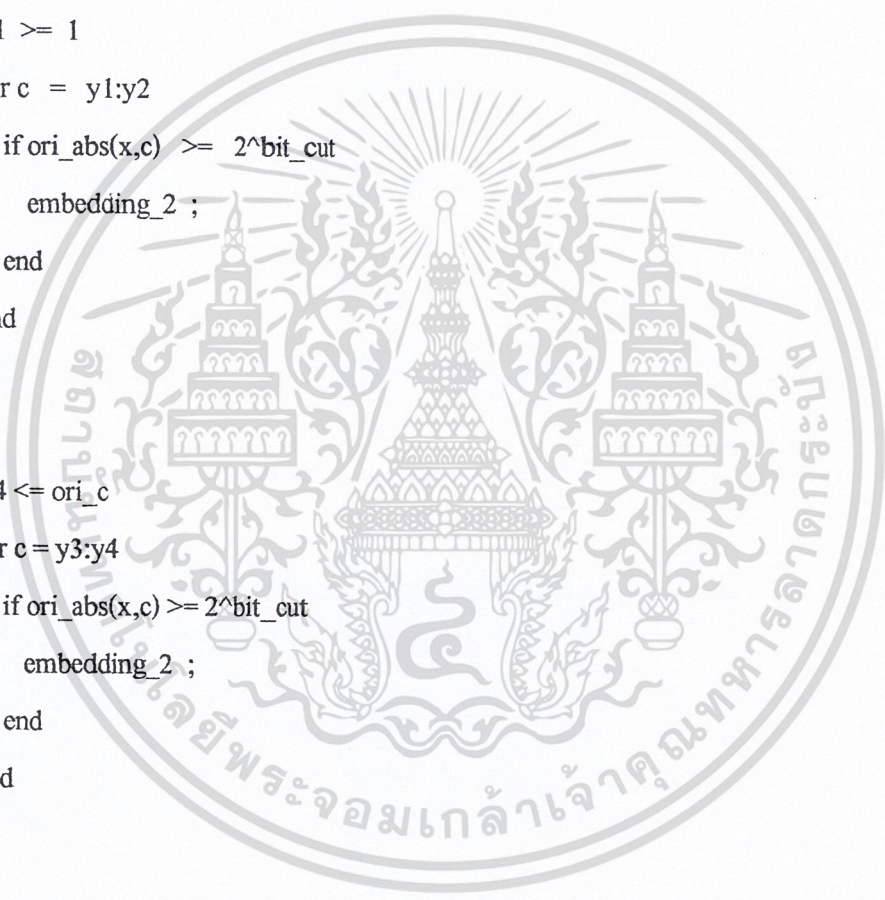
if y1 >= 1
    for c = y1:y2
        if ori_abs(x,c) >= 2^bit_cut
            embedding_2 ;
        end
    end
end

if y4 <= ori_c
    for c = y3:y4
        if ori_abs(x,c) >= 2^bit_cut
            embedding_2 ;
        end
    end
end

end

rr2 = ori_c - r2 ;
xx = 1 ;
for x = ori_c : -1 : rr2
    if r1 > xx

```



เอกสารนี้เป็นเอกสารที่สงวนไว้สำหรับการใช้งานเพื่อการศึกษาเท่านั้น ไม่อนุญาตให้นำไปใช้ประโยชน์ด้านการค้า
ไม่ว่ากรณีใดๆ ทั้งสิ้น อีกทั้งห้ามมิให้ตัดแปลงเนื้อหา และต้องอ้างอิงถึงเจ้าของเอกสารทุกครั้งที่มีการนำไปใช้

```

y1 = sqrt((r1^2)-(xx^2)) ;
y1 = round(y1) ;
y4 = ori_c - y1 ;
else y1 = 1 ;
    y4 = ori_c ;
end

if r2 == xx
    y2 = 1 ;
    y3 = ori_c ;
else y2 = sqrt((r2^2)-(xx^2)) ;
    y2 = round(y2) ;
    y3 = ori_c - y2 ;
end

if y1 >= 1
    for c = y1:y2
        if ori_abs(x,c) >= 2^bit_cut
            embedding_2 ;
        end
    end
end

end

if y4 <= ori_c
    for c = y3:y4
        if ori_abs(x,c) >= 2^bit_cut
            embedding_2 ;
        end
    end
end
end

```



เอกสารนี้เป็นเอกสารที่สงวนไว้สำหรับการใช้งานเพื่อการศึกษาเท่านั้น ไม่อนุญาตให้นำไปใช้ประโยชน์ด้านการค้า
ไม่ว่ากรณีใดๆ ทั้งสิ้น อีกทั้งห้ามมิให้ตัดแปลงเนื้อหา และต้องอ้างอิงถึงเจ้าของเอกสารทุกครั้งที่มีการนำไปใช้

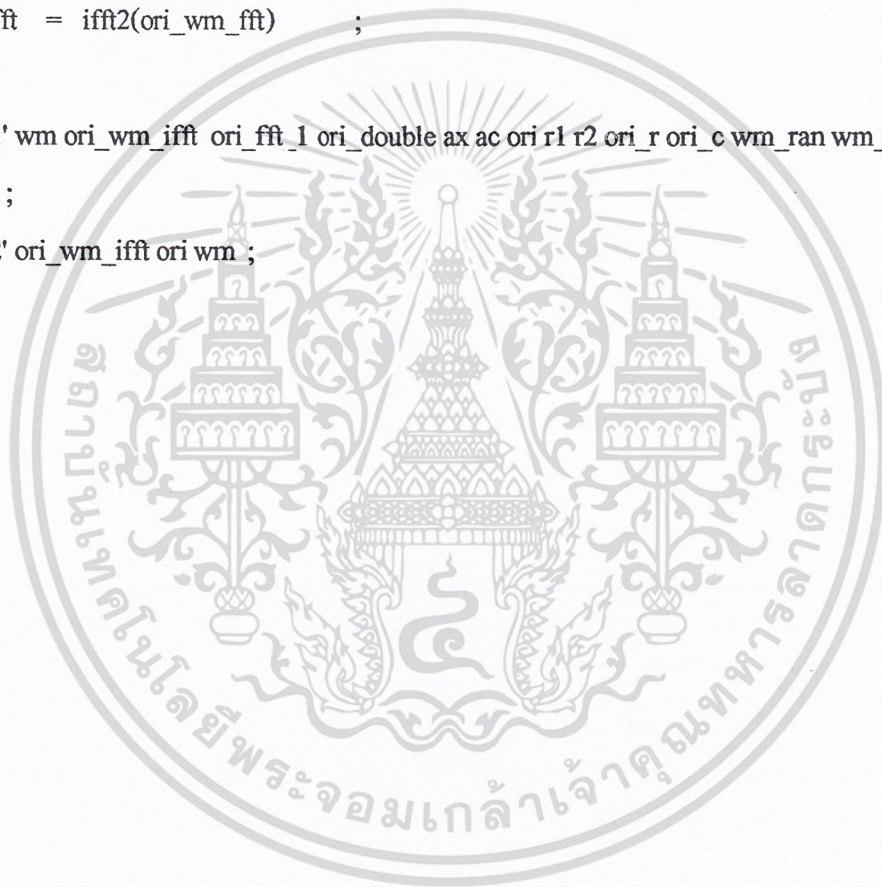
```

end
xx = xx+1 ;
end

ori_ang = angle(ori_fft) ;
real_ori_wm = ori_abs.*cos(ori_ang) ;
im_ori_wm = ori_abs.*sin(ori_ang) ;
ori_wm_fft = real_ori_wm+( im_ori_wm) ;
ori_wm_ifft = ifft2(ori_wm_fft) ;

save 'data1' wm ori_wm_ifft ori_fft_1 ori_double ax ac ori_r1 r2 ori_r ori_c wm_ran wm_c wm_r
ori_abs_1 ;
save 'data2' ori_wm_ifft ori_wm ;

```



เอกสารนี้เป็นเอกสารที่สงวนไว้สำหรับการใช้งานเพื่อการศึกษาเท่านั้น ไม่อนุญาตให้นำไปใช้ประโยชน์ด้านการค้า
ไม่ว่ากรณีใดๆ ทั้งสิ้น อีกทั้งห้ามมิให้ดัดแปลงเนื้อหา และต้องอ้างอิงถึงเจ้าของเอกสารทุกครั้งที่มีการนำไปใช้

```
%----- Project 2 Extraction -----
```

```
clear all ;
```

```
load data1 ;
```

```
load a ;
```

```
ori_wm_ifft = imresize(ori_wm_ifft,[ori_r ori_c],'bilinear');
```

```
num = 13 ;
```

```
for tiddle = 1:num, % จำนวนทั้งหมดของภาพที่ได้ผ่าน degrade
```

```
name = ['ho' num2str(tiddle)];
```

```
load(name) ; % load ภาพที่ผ่าน degrade
```

```
h = double(h) ;
```

```
ori_wm_ifft_fft = fft2(h) ;
```

```
ori_wm_fft(:,tiddle) = ori_wm_ifft_fft ;
```

```
ori_wm_ifft_fft_abs = round(abs(ori_wm_ifft_fft)) ;
```

```
wm_cre = zeros(size(wm_ran)) ;
```

```
n = wm_c*wm_r ;
```

```
num_wm = 0 ;
```

```
% ----- extraction -----
```

```
for mn = 1:n
```

```
if n >= 1
```

```
n = n-1;
```

```
num_wm = num_wm + 1;
```

เอกสารนี้เป็นเอกสารที่สงวนไว้สำหรับการใช้งานเพื่อการศึกษาเท่านั้น ไม่อนุญาตให้นำไปใช้ประโยชน์ด้านการค้า
ไม่ว่ากรณีใดๆ ทั้งสิ้น อีกทั้งห้ามมิให้ตัดแปลงเนื้อหา และต้องอ้างอิงถึงเจ้าของเอกสารทุกครั้งที่มีการนำไปใช้

```

    wm_cre(num_wm) = ori_wm_ifft_fft_abs(ax(nn),ac(nn)) - ori_abs_1(ax(nn),ac(nn));
end
end

%----- inverse watermark -----

rand('state',13) ;
inidd = randperm(wm_r*wm_c) ;
wmarkvr = zeros(size(wm_cre)) ;
for a = 1:length(inidd)
    wmarkvr(inidd(a)) = wm_cre(a) ;
    if wmarkvr(inidd(a)) < 1
        wmarkvr(inidd(a)) = 0 ;
    else
        wmarkvr(inidd(a)) = 1 ;
    end
end
for a = 1:wm_r, wmark(a, :,tiddle) = wmarkvr((a-1)*wm_c+1:a*wm_c) ; end ;
wmark(:, :,tiddle) = wmark(:, :,);
end

figure
imshow(log(abs(fftshift(ori_fft_1))),[]),
title('FFT original+watermarking') ;
figure
imshow((ori),[]);title(' Original image');
figure
imshow(uint8(ori_wm_ifft),[]),
title('ifft original+watermarking') ;

```

เอกสารนี้เป็นเอกสารที่สงวนไว้สำหรับการใช้งานเพื่อการศึกษาเท่านั้น ไม่อนุญาตให้นำไปใช้ประโยชน์ด้านการค้า
ไม่ว่ากรณีใดๆ ทั้งสิ้น อีกทั้งห้ามมิให้ตัดแปลงเนื้อหา และต้องอ้างอิงถึงเจ้าของเอกสารทุกครั้งที่มีการนำไปใช้

```

figure
imshow(uint8(h1),'notruesize');title('Median Filter') ;
figure
imshow(uint8(h2),'notruesize');title('Lowpass Filter 3 x 3') ;
figure
imshow(uint8(h3),'notruesize');title('Lowpass Filter 5 x 5') ;
figure
subplot(4,2,1) ; imshow(ori,'notruesize');title('Original Picture') ;
subplot(4,2,2) ; imshow(wmark(:, :, 13),'notruesize');title('original Watermarking') ;
subplot(4,2,3) ; imshow(uint8(h1),'notruesize');title('Median Filter') ;
subplot(4,2,4) ; imshow(wmark(:, :, 1),'notruesize') ;
subplot(4,2,5) ; imshow(uint8(h2),'notruesize');title('Lowpass Filter 3 x 3') ;
subplot(4,2,6) ; imshow(wmark(:, :, 2),'notruesize') ;
subplot(4,2,7) ; imshow(uint8(h3),'notruesize');title('Lowpass Filter 5 x 5') ;
subplot(4,2,8) ; imshow(wmark(:, :, 3),'notruesize') ;

figure
imshow(uint8(h5),'notruesize') ; title('% JPEG 75%') ;
figure
imshow(uint8(h6),'notruesize') ; title('% JPEG 50%') ;
figure
imshow(uint8(h7),'notruesize') ; title('% JPEG 25%') ;
figure
subplot(4,2,1) ; imshow(uint8(h13),'notruesize');title('JPEG 100%') ;
subplot(4,2,2) ; imshow(wmark(:, :, 13),'notruesize');title('original Watermarking') ;
subplot(4,2,3) ; imshow(uint8(h5),'notruesize');title('% JPEG 75%') ;
subplot(4,2,4) ; imshow(wmark(:, :, 5),'notruesize') ;
subplot(4,2,5) ; imshow(uint8(h6),'notruesize');title('% JPEG 50%') ;

```

```
subplot(4,2,6) ; imshow(wmark(:,:,6),'notruesize') ;  
subplot(4,2,7) ; imshow(uint8(h7),'notruesize');title('% JPEG 25%') ;  
subplot(4,2,8) ; imshow(wmark(:,:,7),'notruesize') ;
```

figure

```
imshow(uint8(h8),'notruesize') ;
```

figure

```
imshow(uint8(h9),'notruesize') ;
```

figure

```
imshow(uint8(h10),'notruesize') ;
```

figure

```
subplot(4,2,1) ; imshow(ori,'notruesize');title('Original Picture') ;  
subplot(4,2,2) ; imshow(wmark(:,:,13),'notruesize');title('original Watermarking') ;  
subplot(4,2,3) ; imshow(uint8(h8),'notruesize') ;  
subplot(4,2,4) ; imshow(wmark(:,:,8),'notruesize') ;  
subplot(4,2,5) ; imshow(uint8(h9),'notruesize') ;  
subplot(4,2,6) ; imshow(wmark(:,:,9),'notruesize') ;  
subplot(4,2,7) ; imshow(uint8(h10),'notruesize') ;  
subplot(4,2,8) ; imshow(wmark(:,:,10),'notruesize') ;
```

figure

```
imshow(uint8(h11),'notruesize');title('Scaled down') ;
```

figure

```
imshow(uint8(h12),'notruesize');title('% Rotated') ;
```

figure

```
subplot(3,2,1) ; imshow(ori,'notruesize');title('Original Picture') ;  
subplot(3,2,2) ; imshow(wmark(:,:,13),'notruesize');title('original Watermarking') ;  
subplot(3,2,3) ; imshow(uint8(h11),'notruesize');title('% Scaled down') ;
```

```

subplot(3,2,4) ; imshow(wmark(:,:,11),'notruesize') ;
subplot(3,2,5) ; imshow(uint8(h12),'notruesize');title('% Rotated') ;
subplot(3,2,6) ; imshow(wmark(:,:,12),'notruesize') ;

fprintf(' Correlation of Original = %6.9f\n' ,corr2(ori_double,ori_wm_iff)) ;

fprintf(' Correlation of Median Filter = %6.9f\n' , corr2(wm,wmark(:,:,1))) ;
fprintf(' Correlation of Lowpass Filter 3 x 3 = %6.9f\n' , corr2(wm,wmark(:,:,2))) ;
fprintf(' Correlation of Lowpass Filter 5 x 5 = %6.9f\n' , corr2(wm,wmark(:,:,3))) ;
fprintf(' Correlation of JPEG 100 = %6.9f\n' , corr2(wm,wmark(:,:,4)) ) ;
fprintf(' Correlation of JPEG 75 = %6.9f\n' , corr2(wm,wmark(:,:,5)) ) ;
fprintf(' Correlation of JPEG 50 = %6.9f\n' , corr2(wm,wmark(:,:,6)) ) ;
fprintf(' Correlation of JPEG 25 = %6.9f\n' , corr2(wm,wmark(:,:,7)) ) ;
fprintf(' Correlation of clopped = %6.9f\n' , corr2(wm,wmark(:,:,8)) ) ;
fprintf(' Correlation of clopped = %6.9f\n' , corr2(wm,wmark(:,:,9)) ) ;
fprintf(' Correlation of clopped = %6.9f\n' , corr2(wm,wmark(:,:,10)) ) ;
fprintf(' Correlation of Scaled down = %6.9f\n' , corr2(wm,wmark(:,:,11))) ;
fprintf(' Correlation of Rotated = %6.9f\n' , corr2(wm,wmark(:,:,12)) ) ;

clear all ;

```

```
%----- Project 2 Process -----
```

```
load data2 ;
```

```
% ----- Filter -----
```

```
filtr_3 = ones(3,3)/9 ;
```

```
ori_wm_fil3 = filter2(filtr_3,ori_wm_ifft) ; % Lowpass Filter 3 x 3
```

```
filtr_5 = ones(5,5)/25 ;
```

```
ori_wm_fil5 = filter2(filtr_5,ori_wm_ifft) ; % Lowpass Filter 5 x 5
```

```
ori_wm_ifft_abs = abs(ori_wm_ifft) ;
```

```
ori_wm_ifft_med = medfilt2(ori_wm_ifft_abs) ; % Median Filter
```

```
ori_wm_med = ori_wm_ifft_med.*cos(angle(ori_wm_ifft)) + (ori_wm_ifft_med.*sin  
(angle(ori_wm_ifft))) ;
```

```
%----- Compression -----
```

```
map = double(gray(256)) ;
```

```
ori_wm_ifft = uint8(ori_wm_ifft) ;
```

```
imwrite(ori_wm_ifft,map,'ori_wm_ifft100.jpg','quality',100) ; % JPEG 100%
```

```
ori_wm_100 = rgb2gray(imread('ori_wm_ifft100','jpg')) ;
```

```
imwrite(ori_wm_ifft,map,'ori_wm_ifft75.jpg','quality',75) ; % JPEG 75%
```

```
ori_wm_75 = rgb2gray(imread('ori_wm_ifft75','jpg')) ;
```

```
imwrite(ori_wm_ifft,map,'ori_wm_ifft50.jpg','quality',50) ; % JPEG 50%
```

```
ori_wm_50 = rgb2gray(imread('ori_wm_ifft50','jpg')) ;
```

```
imwrite(ori_wm_ifft,map,'ori_wm_ifft25.jpg','quality',25) ; % JPEG 25%
```

```
ori_wm_25 = rgb2gray(imread('ori_wm_ifft25','jpg')) ;
```

เอกสารนี้เป็นเอกสารที่สงวนไว้สำหรับการใช้งานเพื่อการศึกษาเท่านั้น ไม่อนุญาตให้นำไปใช้ประโยชน์ด้านการค้า
ไม่ว่ากรณีใดๆ ทั้งสิ้น อีกทั้งห้ามมิให้ตัดแปลงเนื้อหา และต้องอ้างอิงถึงเจ้าของเอกสารทุกครั้งที่มีการนำไปใช้

```
%----- Cropped -----
```

```
hostrc1 = zeros(size(ori_wm_iff));  
hostrc1(10:ori_c-100,100:ori_c-10) = ori_wm_iff(10:ori_c-100,100:ori_c-10) ;  
ori_wm_c1 = hostrc1 ;  
hostrc2 = zeros(size(ori_wm_iff)) ;  
hostrc2(130:ori_c,:) = ori_wm_iff(130:ori_c,:) ;  
ori_wm_c2 = hostrc2 ;  
hostrc3 = zeros(size(ori_wm_iff)) ;  
hostrc3(:,130:ori_c) = ori_wm_iff(:,130:ori_c) ;  
ori_wm_c3 = hostrc3 ;
```

```
%----- Scaled down -----
```

```
hostrs = imresize(ori_wm_iff,[356 356],'bilinear') ;  
ori_wm_re = imresize(hostrs,[512 512],'bilinear') ;
```

```
%----- Rotated -----
```

```
hostrr = imrotate(ori_wm_iff,-17,'bilinear','crop') ; % 17  
ori_wm_ro = imrotate(hostrr,17,'bilinear','crop') ;
```

```
h1 = ori_wm_med ;  
h2 = ori_wm_fil3 ;  
h3 = ori_wm_fil5 ;  
h4 = ori_wm_100 ;  
h5 = ori_wm_75 ;  
h6 = ori_wm_50 ;  
h7 = ori_wm_25 ;
```

เอกสารนี้เป็นเอกสารที่สงวนไว้สำหรับการใช้งานเพื่อการศึกษาเท่านั้น ไม่อนุญาตให้นำไปใช้ประโยชน์ด้านการค้า
ไม่ว่ากรณีใดๆ ทั้งสิ้น อีกทั้งห้ามมิให้ตัดแปลงเนื้อหา และต้องอ้างอิงถึงเจ้าของเอกสารทุกครั้งที่มีการนำไปใช้

```
h8 = ori_wm_c1 ;
h9 = ori_wm_c2 ;
h10 = ori_wm_c3 ;
h11 = ori_wm_re ;
h12 = ori_wm_ro ;
h13 = ori_wm_ifft ;
```

```
figure(1) ; clf;imshow(h1,[0 255],'truecolor') ; title('Unprocessed') ;
figure(2) ; clf;imshow(h2,[0 255],'truecolor') ; title('Lowpassed') ;
figure(3) ; clf;imshow(h3,[0 255],'truecolor') ; title('Median') ;
figure(4) ; clf;imshow(h4,[0 255]) ; title('Scaled down') ;
figure(5) ; clf;imshow(h5,[0 255],'truecolor') ; title('Scaled (R)') ;
figure(6) ; clf;imshow(h6,[0 255],'truecolor') ; title('JPEG100') ;
figure(7) ; clf;imshow(h7,[0 255],'truecolor') ; title('JPEG75') ;
figure(8) ; clf;imshow(h8,[0 255],'truecolor') ; title('JPEG50') ;
figure(9) ; clf;imshow(h9,[0 255],'truecolor') ; title('JPEG25') ;
figure(10) ; clf;imshow(h10,[0 255],'truecolor') ; title('Cropped') ;
figure(11) ; clf;imshow(h11,[0 255],'truecolor') ; title('Rotated') ;
figure(12) ; clf;imshow(h12,[0 255],'truecolor') ; title('Rotation Corrected') ;
figure(13) ; clf;imshow(ori_wm_ifft,[0 255],'truecolor') ; title('Rotation Corrected') ;
```

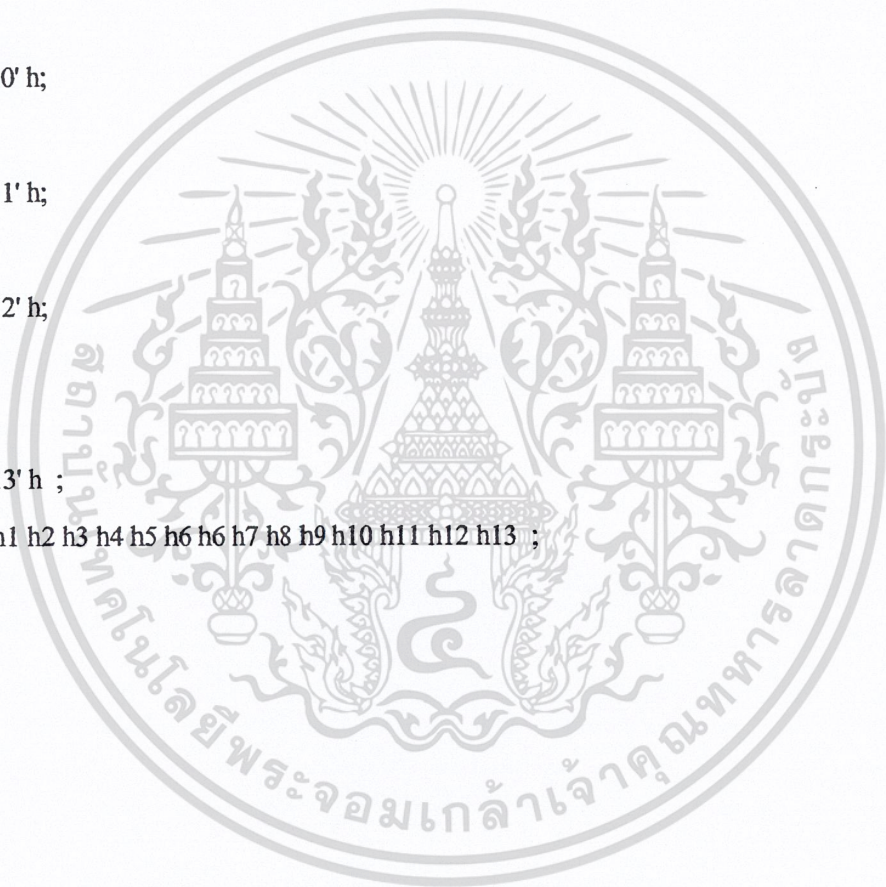
```
h=h1 ;
save 'ho1' h ;
h=h2 ;
save 'ho2' h ;
h=h3 ;
save 'ho3' h ;
h=h4 ;
save 'ho4' h ;
h=h5 ;
```

```
save 'ho5' h ;
```

เอกสารนี้เป็นเอกสารที่สงวนไว้สำหรับการใช้งานเพื่อการศึกษาเท่านั้น ไม่อนุญาตให้นำไปใช้ประโยชน์ด้านการค้า
ไม่ว่ากรณีใดๆ ทั้งสิ้น อีกทั้งห้ามมิให้ตัดแปลงเนื้อหา และต้องอ้างอิงถึงเจ้าของเอกสารทุกครั้งที่มีการนำไปใช้

```
h=h6 ;
save 'ho6' h ;
h=h7 ;
save 'ho7' h ;
h=h8 ;
save 'ho8' h ;
h=h9 ;
save 'ho9' h ;
h= h10 ;
save 'ho10' h ;
h= h11 ;
save 'ho11' h ;
h= h12 ;
save 'ho12' h ;
h=h13 ;

save 'ho13' h ;
save 'a' h1 h2 h3 h4 h5 h6 h7 h8 h9 h10 h11 h12 h13 ;
```



เอกสารนี้เป็นเอกสารที่สงวนไว้สำหรับการใช้งานเพื่อการศึกษาเท่านั้น ไม่อนุญาตให้นำไปใช้ประโยชน์ด้านการค้า
ไม่ว่ากรณีใดๆ ทั้งสิ้น อีกทั้งห้ามมิให้ตัดแปลงเนื้อหา และต้องอ้างอิงถึงเจ้าของเอกสารทุกครั้งที่มีการนำไปใช้